

**YILDIZ TEKNİK ÜNİVERSİTESİ
FEN BİLİMLERİ ENSTİTÜSÜ**

**MERKEZİ SOĞUTMA SİSTEMLERİNİN
İYİLEŞTİRİLMESİNİN TERMOEKONOMİK ANALİZİ**

Makine Müh. Gaye KANAL

**FBE Makine Mühendisliği Anabilim Dalı Isı Proses Programında
Hazırlanan**

YÜKSEK LİSANS TEZİ

Tez Danışmanı : Yrd. Doç. Dr. Handan ÇUBUK (YTÜ)

İSTANBUL, 2010

İÇİNDEKİLER

	Sayfa
SİMGE LİSTESİ	iv
KISALTMA LİSTESİ.....	v
ŞEKİL LİSTESİ.....	vi
ÇİZELGE LİSTESİ	viii
ÖNSÖZ	ix
ÖZET	x
ABSTRACT	xi
1. GİRİŞ	1
1.1 Konuyla İlgili Yapılmış Araştırmalar	1
2. GÜNEŞ ENERJİLİ SOĞUTMA SİSTEMLERİ.....	7
2.1 Elektrikli Sistemler	8
2.2 Isıl Sistemler.....	9
2.2.1 Isıl-mekanik sistemler	9
2.2.1.1 Güneş enerjili Rankine çevrimli-buhar sıkıştırırmalı soğutma sistemi.....	9
2.2.2 Isıl dönüşümlü sistemler	11
2.2.2.1 Absorbsiyonlu soğutma sisteminin tanıtılması.....	12
2.2.2.2 Adsorpsiyonlu soğutma sisteminin tanıtılması.....	14
2.2.2.3 Kurutmalı soğutma sistemlerinin tanıtılması	16
3. ABSORBSİYONLU SOĞUTMA SİSTEMİ	19
3.1.1 Tek kademeli absorbsiyonlu soğutma sistemleri.....	23
3.1.2 Çift kademeli absorbsiyonlu soğutma sistemi.....	25
4. PROJELENDİRME ÇALIŞMASI	32
5. GÜNEŞ KOLLEKTÖRLERİ.....	43
5.1 Yoğunlaştırıcı tip güneş kollektörleri ısıl analizleri	47
5.2 Absorbsiyonlu Soğutma Sistemi ve Parabolik Oluk Tip Güneş Kollektörlerinin Beraber Uygulanması.....	53
5.3 Soğutma Kulesi Seçimi.....	54
5.4 Sistemin Enerji Dengesi.....	56
6. ISI GERİ KAZANIM	57

6.1	Klima Santrallerinde Kullanılan Havadan Havaya Isı geri Kazanım Ekipmanları	57
6.1.1	Plakalı Eşanjörler	57
6.1.2	Sistemde Isı geri Kazanımın Uygulanması	60
7.	EKONOMİK ANALİZ	73
7.1	Yatırımın Net Bugünkü Değer Yöntemiyle Analizi	73
7.2	Yatırımın İç Karlılık Oranı Yöntemiyle Analizi	74
7.2.1	Sistemin İlk Yatırım Maliyetleri	74
8.	SONUÇLAR	80
	KAYNAKLAR	82
	EKLER	86
	ÖZGEÇMİŞ	103

SİMGE LİSTESİ

<i>ASS</i>	Absorbsiyonlu Soğutma Sistemi
<i>POGK</i>	Parabolik Oluklu Güneş Kollektörü
<i>PV</i>	Fotovoltaik Pil
<i>STK</i>	Soğutma Tesir Katsayısı
<i>PK</i>	Performans Katsayısı
Q_B	Buharlaştırıcıdan emilen ısı (W)
W_k	Çevrime verilen sıkıştırma işi (W)
Q_J	Çevrime verilen ısı (W)
<i>COP</i>	Isıl performans katsayısı
C_p	Akışkan özgül ısısı (kJ/kgK)
<i>K</i>	Gelme Açısı Düzeltme Faktörü
P_y	Yansıtıcı Yüzey Işın Yansıtma Verimi
Γ	Kesişim Faktörü
T_c	Cam Boru Işın Geçirgenliği
α_b	Emici Boru Işın Yutuculuk Değeri
$op \eta$	Optik verim
<i>F</i>	Kollektör verim faktörü
U_o	Kollektör etkin ısı kayıp katsayısı (W/mK)
U_L	Toplam ısı kayıp katsayısı (W/mK)
Q_{IA}	İş akışkanına aktarılan net ısı (W)
ke	Etkin iletim katsayısı (W/mK)
g	Yerçekimi ivmesi (m/s^2)
β	Hacimsel genleşme katsayısı
ν	Havanın ortalama sıcaklıktaki kinematik viskozitesi (m^2/s)
γ	Cam boru ile emici yüzey arasındaki mesafe (mm)
V_r	Rüzgar hızı (m/s)
ν_a	Havanın ortalama sıcaklıktaki kinematik viskozitesi (m^2/s)
$hr,c-a$	Cam örtü ile dış hava arasındaki ışınlım eşdeğer taşınım katsayısı (W/mK)
ϵ_c	Cam örtünün ısı yayıcılığı

KISALTMA LİSTESİ

UNEP	Birleşmiş Milletler Çevre Programı
HVAC	Isıtma Klima Havalandırma Sistemi
TRYSYS	The Transient Energy System Simulation Tool
VDI	Alman Mühendisler Birliği Standartları
KT	Kuru Termometre
YT	Yaş Termometre

ŞEKİL LİSTESİ

Şekil 2.1. Güneş enerjisiyle soğutma tekniklerinin sınıflandırması (Özkoç, 2004).....	8
Şekil 2.2. Güneş enerjili Rankine çevrimli-buhar sıkıştırımlı soğutma sistemi (Yiğit, 1984) ..	9
Şekil 2.3. Absorbsiyonlu soğutma sistemi	12
Şekil 2.4. Adsorpsiyonlu soğutma sistemi (Henning,2004).....	15
Şekil 2.5. Kurutmalı soğutma sistemi (Höfker, Eicker, Lomas ve Eppel, 2001)	17
Şekil 3.1. Buhar sıkıştırımlı ve ASS'nin yapısal karşılaştırılması.....	19
Şekil 3.2. Tersinir ASS'i performans katsayısı analizi ile ilgili model	20
Şekil 3.3. Endüstriyel LiBr iş akışkanlı tek kademeli absorbsiyonlu soğutma sisteminin bağlantı şeması.....	24
Şekil 3.4. Endüstriyel LiBr-H ₂ O iş akışkanlı çift kademeli (jeneratörlü) absorbsiyonlu soğutma sistemi.....	26
Şekil 3.6. Tek Kademeli ve çift Kademeli Sistemlerin Performans Sayılarının Karşılaştırılması (Yılmazoğlu, 2006).....	28
Şekil 3.7. Seri akışlı endirekt ateşlemeli çift kademeli ASS'nin bağlantı şeması.....	29
Şekil 3.8. Paralel akışlı çift kademeli ASS bağlantı şeması.....	30
Şekil 3.9. Ters Paralel akışlı çift kademeli ASS bağlantı şeması	31
Şekil 4.1. Binaların genel görünümü	33
Şekil 4.2. Toplam soğutma yükünün saatlik değişimi	36
Şekil 4.3. Yeni durumda kullanılan absorbsiyonlu çevrimin şematik gösterimi.....	38
Şekil 5.1. POGK'ların genel görünümü.....	44
Şekil 5.2.Parabolik oluk tip güneş kollektörünün temel geometrik ölçüleri.....	45
Şekil 5.3.Parabolik oluk tip güneş kollektörü ışın-ısı akış şeması	46
Şekil 5.4. Direkt ışınım verim ilişkisi (Yılmazoğlu, 2006).....	51
Şekil 5.5. Çevre sıcaklığı verim ilişkisi (Yılmazoğlu, 2006).....	52
Şekil 5.6. Emici boru çapı verim ilişkisi (Yılmazoğlu, 2006).....	52
Şekil 5.7. Direkt ışınım ve iş akışkanına aktarılan enerji arasındaki ilişki	53
Şekil 5.8. Soğutma sezonu boyunca havanın yaş termometre sıcaklığı değişimi	55
Şekil 5.9. Soğutma sezonu boyunca havanın kuru termometre sıcaklığı değişimi	55
Şekil 5.10. Güneş enerjisi ile soğutma yükünün karşılanabilme oranı	56
Şekil 6.1. Plakalı ısı eşanjörünün yapısı.....	58
Şekil 6.2. Enerji geri kazanım ile yapılan enerji tasarrufunun ekipmanlara göre aylık değişimi72	
Şekil 7.1. Isı geri kazanım işletme maliyeti karşılaştırma grafiği	76

Şekil 7.2. Soğutma grubu işletme maliyeti karşılaştırma grafiği	77
Şekil 7.3. Geri ödeme süresinin grafikte gösterilmesi	79

ÇİZELGE LİSTESİ

Çizelge 2.1. Soğutma sıcaklıkları ve kullanım alanları (Büyükalaca ve Yılmaz, 2003)	7
Çizelge 2.2. Isıl dönüşümlü güneş enerjili soğutma sistemleri karşılaştırması (Ermış ve Kılıçaslan,1995).....	11
Çizelge 2.3. Absorbsiyonlu soğutma sistemlerinin karşılaştırılması.....	14
Çizelge 4.1. Soğutma grubunun seçildiği zamandaki mahallerin toplam soğutma yükleri.....	35
Çizelge 4.2. ASS'nin termodinamik değerleri	39
Çizelge 6.1. Egzost fanı elektrik tüketimi çizelgesi.....	61
Çizelge 6.2. RAHU-HT-NF-1 Isı geri kazanım hesap tablosu.....	62
Çizelge 6.3. RAHU-HT-NF-2 Isı geri kazanım hesap tablosu.....	63
Çizelge 6.3. RAHU-HT-ROOF-1 Isı geri kazanım hesap tablosu	64
Çizelge 6.4. RAHU-HT-ROOF-2 Isı geri kazanım hesap tablosu	65
Çizelge 6.5. RAHU-TT-ROOF-1 Isı geri kazanım hesap tablosu.....	66
Çizelge 6.6. RAHU-TT-ROOF-2 Isı geri kazanım hesap tablosu.....	67
Çizelge 6.7. RAHU-TT-MF-1 Isı geri kazanım hesap tablosu	68
Çizelge 6.8. RAHU-TT-MF-2 Isı geri kazanım hesap tablosu	69
Çizelge 6.8. RAHU-TT-MF-3 Isı geri kazanım hesap tablosu	70
Çizelge 6.9. RAHU-TT-MF-4 Isı geri kazanım hesap tablosu	71
Çizelge 7.1. Mevcut durum ilk yatırım maliyetleri	75
Çizelge 7.2. Yeni durum ilk yatırım maliyetleri.....	76
Çizelge 7.3. Yatırımın net bugünkü değer yöntemi tablosu ile maliyet analizi	78

ÖNSÖZ

Yapmış olduğum bu tez, güneş enerjisi destekli Absorbsiyonlu soğutma sistemi ve ısı geri kazanım konusunu içermektedir.

Çalışmam süresince bana yardımcı olan Sn. Yrd. Doç. Dr. Derya B. Özkan'a, benden desteklerini hiçbir zaman esirgemeyen aileme ve TÜBİTAK'a teşekkürü bir borç bilirim.

ÖZET

Katar’da bulunan ve beş adet binadan oluşan otelin uygulamasında enerjinin doğru ve etkin kullanımı üzerine yapılmış bir çalışmadır. İklim şartları göz önüne alındığında kullanılmakta olan iki adet soğutma grubundan biri için absorpsiyonlu soğutma grubu kullanılması öngörülmüştür. Gereken buhar debisinin parabolik oluklu güneş kollektörüyle sağlanması düşünülmüştür.

Soğutma yükü fan coil sistemi ile karşılanan otelin taze hava gereksinimini sağlayan taze hava santralleri ile bulunmaktadır. Bu santraller için gereken havanın ön soğutulması egzost havası ile yapılması öngörülmüş ve bunun için ısı geri kazanımlı santraller kullanılmıştır.

Bahsedilen sistemler için saatlik hesap yapılmış ve işletme maliyetleri saatlik hesaplanmıştır. Sistemin geri ödeme süresi grafik yöntem ile hesaplanmıştır.

Anahtar Kelimeler: Absorpsiyonlu soğutma, güneş enerjisi, ısı geri kazanım, maliyet analizi.

ABSTRACT

This study, investigation of using energy efficiently on a five building project in Qatar. Climate conditions in Qatar is appropriate to use absorption cooling system instead of classical system. For absorption cooling system steam flow has been provided by parabolic solar collectors.

For energy efficiency, recovery air handling units have been used instead of using exhaust fans and air handling units for fan coils. With these recovery units outside air precooled by exhaust.

For these two systems calculations and operational costs have been done hourly. Finally the payback period was calculated with grafic method.

Keywords: Absorption cooling, solar energy, heat recovery, cost analysis.

1. GİRİŞ

Yaz aylarında bina içi konfor şartlarının iyileştirilmesine yönelik talep; temel olarak binalarda kullanılan elektrikli araçların sayısının artışı, yeni yapılan binalarda kullanılan cam oranlarının yüksek olması ve dış hava sıcaklıklarındaki yükselmeler nedeniyle gün geçtikçe artmaktadır ve bu konuda yapılan projeksiyonlar soğutma sistemlerine yönelik talebin gelecek yıllarda da gittikçe artacağını göstermektedir. Avrupa’da, binalarda soğutma teknolojilerinin kullanıldığı alan 1980 yılında 30 milyon m² iken 2000 yılında bu değer 150 milyon m²’ye yükselmiştir ve buna bağlı olarak yaz aylarındaki pik yükler artmıştır.

Soğutma amaçlı enerji tüketiminin yoğun olduğu zamanlar ve güneş ışınımının fazla olduğu zamanların birbirleriyle çakışması, güneş enerjisinin soğutma sistemlerinde kullanımını ön plana çıkarmıştır. Güneş enerjisinin soğutma sistemlerinde kullanımında hedeflenen, soğutma amaçlı tüketilen konvansiyonel enerji miktarının, konvansiyonel enerji kullanımına bağlı CO₂ emisyonlarının ve elektrik şebekelerinde yazın oluşan pik yüklerin azaltılmasına katkı sağlanmasıdır.

Tesisatta ihtiyaç duyulan enerji dış hava miktarının artmasıyla doğru orantılı olarak değişir. Bu durumda ısı geri kazanım gerekli enerji miktarının azaltılmasında rol oynar. Isı geri kazanım VDI 207 Te göre şöyle tanımlanmaktadır: Bir bina veya prosesi terk eden hava kütlesinin entalpisinin tekrar kullanılmasıdır.

1.1 Konuyla İlgili Yapılmış Araştırmalar

Literatürde ASS ve POGK ile ilgili teorik ve deneysel olarak yapılmış birçok çalışma yapılmıştır. Bu çalışmaların amacı doğrultusunda sistematik biçimde incelenmiş, bunlardan bazıları özet olarak aşağıda verilmiştir.

Althouse (1942), çalışmasında absorpsiyonlu sistemlerin tarihsel gelişimini derlemiştir. İlk kez Faraday tarafından 1824 yılında amonyağı sıvılaştırma çalışmalarında geliştirilen soğurma prensibi, daha sonra soğutma çevrimi olarak kullanılmaya başlandı. Faraday amonyağı sıvılaştırmak için AgCl’ü soğurucu akışkan olarak kullandı. 1850 yılında ilk absorpsiyonlu soğutma cihazının patentini Ferdinand Carre almıştır. Cihaz akışkan çifti olarak amonyak-su çiftini kullanmıştır.

Tleimat ve Howe (1978), çalışmalarında güneş enerjisiyle desteklenmiş ısı pompasının yaz soğutması ve kış ısıtması için nasıl kullanılacağını açıklamışlar ve bu sistemin ilk yatırım ve

işletme masraflarına göre klasik ısıtma sistemleriyle karşılaştırmasını yapmışlardır.

Ziegler ve Alefeld (1987), H₂O-LiBr ve NH₃-H₂O soğutucu-soğurucu akışkan çiftlerinin kullanıldığı tek ve çok kademeli absorpsiyonlu ısı sistemlerinin performans parametrelerini teorik olarak incelemişler ve karşılaştırmışlardır. Ziegler ve Alefeld çalışmalarındaki kademeli absorpsiyonlu ısı sistemlerinde birinci çevrimdeki absorberden çekilen ısı enerjisiyle ikinci çevrimdeki jeneratörün beslenmesi durumu çift kademeli absorpsiyonlu soğutma sistemine benzemektedir. Ancak çift kademeli absorpsiyonlu soğutma sisteminde, yüksek sıcaklık jeneratörü ve düşük sıcaklık jeneratöründen çıkan soğutucu, buharlaştırıcıda soğutma için kullanılırken, Ziegler ve Alefeld'in çalışmasında ikinci kademedeki buharlaştırıcı, birinci kademedeki yoğuşturucuyu çalıştırmaktadır.

Kouremenos, Rogdakakis ve Antonopoulos (1994), bir gaz türbini ve absorpsiyonlu soğutma sisteminin beraberce kullanıldığı bir kojenerasyon santrali önermişlerdir. Bu santralde gaz türbininden atılan ısı, absorpsiyonlu soğutma sisteminin jeneratörüne verilmektedir.

Hilali (1995), Harran'da bir konut için absorber, kondenser, evaporator, generator ve ısı değiştirici boyutları hesaplanmış ve kullanılacak düzlem yüzeyli kollektör adedi bulunmuştur.

Eissa (1997), güneş enerjili absorpsiyonlu soğutma grubunda soğutucu akışkan olarak hidrokarbon karışımı kullanımını incelemiş, entalpi-konsantrasyon ve sıcaklık konsantrasyon grafiklerini çizerek sistemin kullanılabilirliğini göstermiştir.

Aydın (1998), çalışmasında yazın soğutma, kışın ısıtma yapabilecek, güneş enerjisiyle desteklenmiş, LiBr-H₂O akışkan çiftinin kullanıldığı bir iklimlendirme sisteminin, Adana, Ankara, İzmir iklimleri için bilgisayar simülasyonlarını yapmıştır. Çalışmada çeşitli işletme parametreleri de göz önüne alınarak işletme parametrelerinin sistemin performansı ve birim yük için gerekli toplayıcı alanı üzerine yaptığı etkiler araştırılmıştır.

Gordon ve Kim Choon (1998), güneş enerjili soğutma sisteminde COP'yi 1'in üzerine çıkarmaya çalışmışlardır. Bunun için güneş enerjisini mikrotürbin ile elektrik elde edip bunu soğutma grubuna iletmişlerdir. Uyguladıkları sistemin küçük soğutma yükleri için uygun olduğu sonucuna varmışlardır.

Elsafty ve Al-Daini (2000), Mısır'da bulunan 5 katlı bir öğrenci hastanesi için tek ve çift etkili absorpsiyonlu soğutma sistemlerini ekonomik olarak karşılaştırmışlardır. Analiz sonucunda Çift Etkili Absorpsiyonlu Soğutma Sisteminin ekonomik olarak uygun olduğunu göstermişlerdir.

Reddy ve Ramkiran (2002), yaptıkları çalışmalarında atık ısı ile çalışan buhar jeneratöründe ikinci yasa analizini yapmışlar ve boyutsuz parametrelerle, entropi üretim sayısını ilişkilendirerek sistemi optimize etmeye çalışmışlardır.

Kalogirou ve arkadaşları (2002), Kıbrıs'ta güneş Enerjisi Destekli Absorbsiyonlu soğutma için TRYNSYS'de "optimum" analizi yapmışlar ve 84,240 MJ soğutma yükünü karşılarken 41,263 MJ sıcak su ihtiyacı karşılanmıştır.

Li ve Sumathy (2002), güneş Enerjisi Destekli Absorbsiyonlu soğutma için kullanılan termal depolama tankı üzerine çalışmışlar ve tankın çeşitli değişkenlerini üzerinde hesaplar yaparak minimum kollektör adediyle soğutmayı sağlamışlardır.

Joudi ve Abdul-Ghafour (2003), Irak'ta bulunan bir güneş evine TRYNSYS'de güneş enerjisi destekli absorbsiyonlu sistemi simülasyonu yapıp sonuçları değerlendirmişlerdir. Buna göre bu sistem için bir sıcak su depolama tankına ihtiyaç duyulduğunu ortaya koymuşlardır.

Foley (2004), absorbsiyonlu sistemlerin dünü ve gelecekteki konumu hakkında bir makale hazırlamıştır. Makalesinde son yıllarda absorbsiyonlu sistemlerin kullanım alanının genişlediğini belirtmiş ve yeni kullanım alanı olarak, gaz türbinlerinde kompresörden sonra konularak ara soğutma ile sistemin performansının artırılması hedeflenmiştir. Ayrıca mikro türbinlerle ve yakıt hücreleriyle de kullanımının olduğunu belirtmiştir. Sonuç olarak absorbsiyonlu sistemlerin kojenerasyon sisteminde kullanılmasının avantajlarını belirtmiştir.

Khan ve Rasul (2004), binalarda enerji sakınımı hakkında yaptıkları çalışmalarında kojenerasyon sistemlerini ve termal enerji depolama ile desteklenmiş kojenerasyon sistemlerini incelemişlerdir. Çalışmalarında özellikle ekonomik yönden konuyu ele almışlardır. Enerji tasarrufunu %16-20 civarında hesaplamışlardır. Depolama sonucu pik yükteki azalma ise %13 civarında bulunmuştur. Çalışmada çift kademeli absorbsiyonlu sistem ele alınmıştır.

Duff arkadaşları (2004), California'da bulunan ticari bir binaya reflektörlü güneş kollektörü ve iki adet absorbsiyonlu soğutma grubu kullanarak iki yıllık analiz yapmışlardır.

Liu ve Wang (2004), yeni bir LiBr-H₂O absorbsiyonlu soğutma grubu dizayn ederek, güneş enerjisi ve gaz destekli performans tahminler yapmış ve aynı zamanda kışın ısıtma amacıyla sistemi kullanmışlardır.

Sözen ve arkadaşları (2004), Türkiye'deki 17 il üzerinde meteorolojik veriler kullanılarak

absorbsiyonlu soğutmanın uygunluğu üzerinde araştırma yapmışlar ve Türkiye'nin güneş enerjili evsel ısıtma ve soğutmada büyük bir potansiyeli olduğunu göstermişlerdir.

Ezine ve arkadaşları (2005), çalışmalarında çift kademeli absorpsiyonlu soğutma sisteminin termodinamik simülasyonunu ve optimizasyonunu yapmışlardır. En çok tersinmezliklerin jeneratör ve absorber kısımlarında oluştuğunu ifade etmişler ve buralarda oluşan tersinmezlikleri azaltarak optimizasyonu gerçekleştirmişlerdir.

Şencan ve Yakut (2005), çalışmalarında tek kademeli ASS'nin ekserji analizini yapmış ve PK'nın ve ekserji veriminin jeneratör sıcaklığının artırılmasıyla nasıl değiştiğini incelemiştir. Sonuç olarak, jeneratör sıcaklığındaki artış PK'sını artırırken ekserji verimini azaltmıştır. Ayrıca jeneratör ve absorberdeki kaybedilen ekserjinin diğer elemanlardakinden fazla olmasının nedenini çözeltilerin karışma ve ayrılma işlemlerine bağlamıştır.

Tozer ve Sayed (2005), çalışmalarında LiBr çözeltilerinin derişim ve sıcaklık aralığını genişleterek özelliklerin değişimini incelemiştir.

Monlahasan (2005), İstanbul'da bir lokanta için kritik (Mayıs – Eylül) aylar için ısı kazançları, güneş ısınım değerleri ve kollektöre saatlik m^2 'ye gelen faydalı enerji ve faydalanma oranları hesaplanarak optimum kollektör alanı bulunmuştur. güneş enerjisinin yardımcı enerji olarak kullanıldığı absorpsiyonlu soğutma sisteminde, bulunan optimum kollektör alanına bağlı olarak amortisman süresi hesaplanmıştır.

Kim ve Ferreria (2006), çalışmalarında LiBr çözeltileri için Gibbs denklemlerini çıkarmışlardır. % 0-70 derişim aralığında ve 0-210°C sıcaklıkları arasında LiBr çözeltilerinin entalpi ve entropi değerlerinin hesaplanmasını sağlayacak formülleri üretmişlerdir.

Tetik (2006), yaptığı çalışmada bir villa için ısı kazancı hesabi yaparak, gereken soğutma yükünün karşılanması için absorpsiyonlu soğutma grubu seçilmiş ve kollektör miktarı hesaplanmıştır.

Ahmedullah (2006), Graphical User Interface (GUI) software kullanarak güneş enerjisi ve absorpsiyonlu soğutma grubu için simülasyon yaparak optimal kollektör alanını ve soğutma grubunu belirlemiştir.

Çelik (2007), absorpsiyonlu soğutma sistemlerini tanıtılmış ve klasik buhar sıkıştırımlı sistemle kıyaslanmıştır. Gebze Yüksek Teknoloji Enstitüsü'nde kurulmakta olan güneş enerjisi destekli absorpsiyonlu soğutma sistemi incelenmiş ve sistemin buhar sıkıştırımlı

soğutma sistemine göre karşılaştırılması yapılmıştır.

Henning (2007), klasik soğutma sistemi ile absorpsiyonlu sistemleri karşılaştırmış, absorpsiyonlu sistemin son teknolojilerinden bahsetmiş ve gelecekte Avrupa'daki Pazar payı üzerine tahminlerde bulunmuştur.

Qu (2008), aynı anda ısıtma ve soğutma gereksinimi olan bir binada parabolik kollektör ve absorpsiyonlu soğutma grubunun birlikte kullanımının modellenmesi yapılmıştır.

Clausse ve arkadaşları (2008), Paris'te bulunan bir bina için güneş enerjisi destekli adsorpsiyonlu sistemi incelemişlerdir. Sonuçta kara geçilebileceğini göstermişlerdir.

Balghouthi ve arkadaşları (2008), 150m²'lik bir bina için Tunus hava şartlarında TRNSYS ve EES ile saatlik hava sıcaklıkları kullanılarak simülasyon yapılmıştır. simülasyon sonucuna göre uygun absorpsiyonlu soğutma grubu ve güneş kollektörü adedi belirlenmiştir.

Pongtornkulpanicha ve arkadaşları (2008), 2005 yılında kurulmuş olan güneş enerjili soğutma grubunun verilerini saatlik olarak kaydederek sonuçları değerlendirmişlerdir. Buna göre ortalama üç yıl içinde soğutma kapasitesinin %81'ini güneş enerjisiyle %19'unu ise LPG kullanarak karşılamışlardır.

Gomri (2009), çalışmasında tek etkili, çift etkili ve üç etkili absorpsiyonlu sistemlerin karşılaştırmasını yapmış ve çift etkili sistem ve üç etkili sistemin kullanılmasının verimli olduğu sonucuna varmıştır.

Marc ve arkadaşları (2009), çalışmalarında tropikal bir iklime sahip olan Reunion Adası için güneş destekli absorpsiyonlu sistemin herhangi bir yedek sistem kullanmadan okul soğutması için dizaynı ve kontrol sistemi üzerine çalışmışlardır.

Tsoutsos ve arkadaşları (2009), Yunanistan'da bir hastane için güneş destekli absorpsiyonlu soğutma sistemi üzerine TRYNSYS ile analiz yapmış ve bunun sonuçlarını değerlendirmişlerdir.

Eicker ve Pietruschka (2009), Avrupa için güneş enerjisi destekli soğutma grubunun ekonomikliğini incelemişler ve maliyetin iki katın üzerinde olduğu sonucunu ortaya koymuşlardır.

Zhai ve Wang (2009), yeşil enerji kullanılan bir binaya güneş enerjisi destekli adsorpsiyonlu sistemi uygulaması üzerine çalışmışlar ve matematiksel modelleme sonucunda kollektör sayısını artırarak gereken soğutma gücünün tamamını karşılayabileceklerini fakat kollektör

sayısının artması depo hacmini artıracığından optimum adedi belirlemişlerdir.

Agyenim ve arkadaşları (2010), çalışmalarında kurdukları deney setinde Cardiff Üniversitesi'nde güneş enerjisi destekli soğutma sistemini yaz ve sonbahar boyunca ölçüm yapmış ve absorpsiyonlu sistemlerin soğuk depolama ile evlerde uygulanmasının uygun olduğu sonucuna varmışlardır.

Ben Ezzine ve arkadaşları (2010), çalışmalarında yeni akışkan çiftlerinden R124/DMAC kullanarak klasik LiBr ya da NH₃ kullanılan güneş enerjisi destekli absorpsiyonlu soğutma sistemine alternatif bir sistem tasarlamış ve COP'sinin klasik sistemle yakın olduğunu göstermişler.

2. GÜNEŞ ENERJİLİ SOĞUTMA SİSTEMLERİ

Binalarda soğutma ihtiyacının karşılanması amacıyla kullanılan sistemler temel olarak, odalarda kullanılan küçük kapasiteli sistemler (<12 kW) ve merkezi sistemler (>12 kW) olarak iki grupta incelenmektedir (Sabatelli vd., 2005). Avrupa’da, kapasitesi 12 kW’dan büyük olan iklimlendirme sistemi sayısı son 20 yılda 5 katına çıkmıştır. İklimlendirme amaçlı enerji tüketiminin yoğun olduğu zamanlar ve güneş ışınımının fazla olduğu zamanların birbirleriyle çakışması, güneş enerjisinin soğutma sistemlerinde kullanımını ön plana çıkarmıştır.

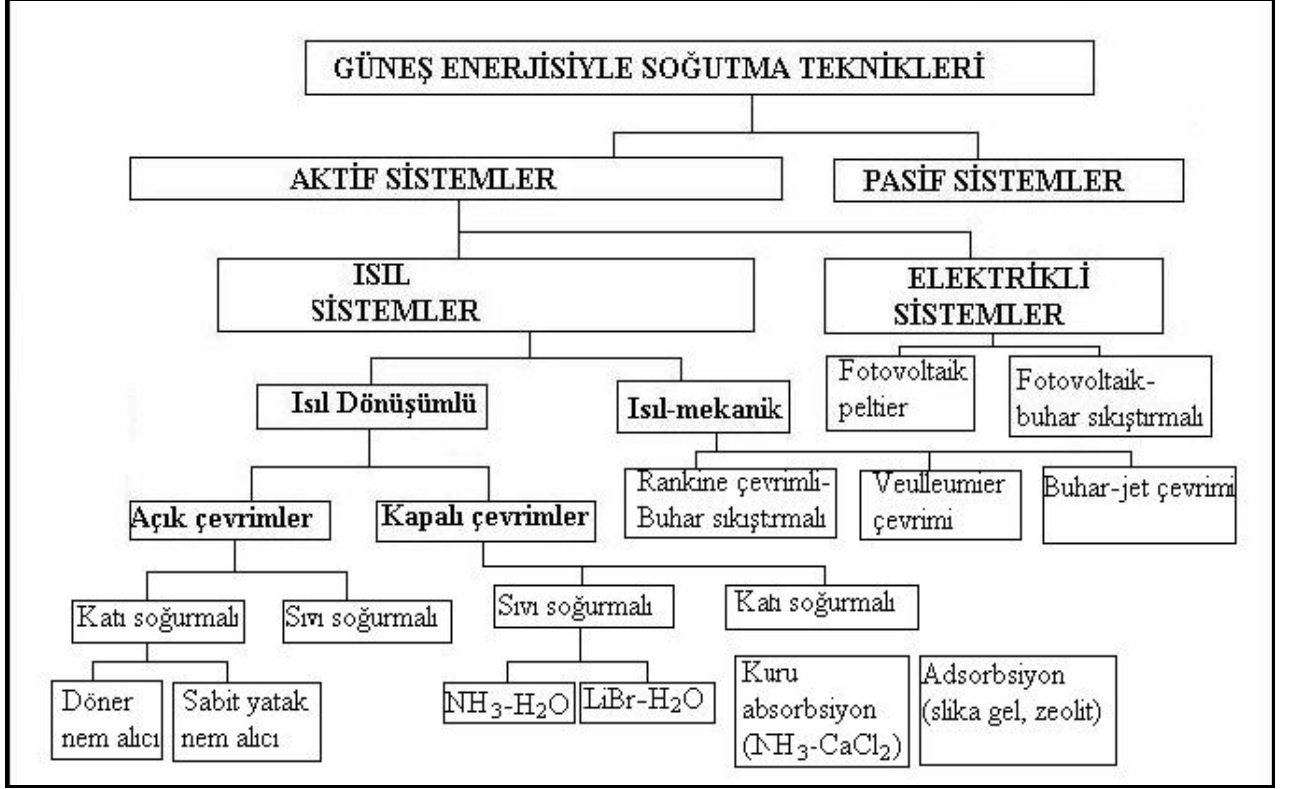
Güneş enerjisi kullanılan soğutma/iklimlendirme sistemlerinde; soğutma prosesinin türüne, kullanılan aracı maddenin fazına, çevrimin açık-kapalı oluşuna göre farklı teknolojiler kullanılmaktadır (Özkol, 2004). Güneş enerjili soğutma sistemleri; elde edilmek istenen soğutmanın sıcaklığı, kullanılan soğutma tekniği, kullanılan güneş enerjisi toplama sistemi olmak üzere üç farklı prensibe göre gruplandırılabilir (Büyükalaca ve Yılmaz, 2003). Güneş enerjisi ile elde edilen soğutma sıcaklıkları ve bu sıcaklıklara bağlı uygulama alanları Çizelge 2.1’de gösterilmektedir.

Çizelge 2.1. Soğutma sıcaklıkları ve kullanım alanları (Büyükalaca ve Yılmaz, 2003)

Soğutma sıcaklıkları	Uygulama alanları
$T > 4 \text{ }^{\circ}\text{C}$	Özellikle iklimlendirme uygulamaları Bazı gıdaların depolanmasında
$-10 \text{ }^{\circ}\text{C} < T < 4 \text{ }^{\circ}\text{C}$	Genel amaçlı soğutma Süt balık gibi gıdaların kısa süreli depolanması
$-20 \text{ }^{\circ}\text{C} < T < 20 \text{ }^{\circ}\text{C}$	Düşük sıcaklık uygulamaları Gıdaların uzun süre dondurularak depolanması

Güneş enerjisi kullanımıyla farklı soğutma sıcaklıkları elde edilebilmesine rağmen, bu konuda yapılan araştırmalar özellikle -10°C ve $+5^{\circ}\text{C}$ aralığındaki uygulamalar için yoğunlaştırılmıştır. (Büyükalaca ve Yılmaz, 2003)

Güneş enerjisi ile soğutma tekniklerinin; soğutma prosesinin türüne, kullanılan aracı maddenin fazına, çevrimin açık-kapalı oluşuna göre sınıflandırılmaları Şekil 2.1.'de gösterilmektedir. (Özko, 2004)



Şekil 2.1. Güneş enerjisiyle soğutma tekniklerinin sınıflandırması (Özko, 2004)

Şekil 2.1.'de de gösterildiği gibi güneş enerjili soğutma sistemleri genel anlamda pasif ve aktif sistemler olarak iki bölümde incelenmektedir. Pasif sistemler binanın mimarisine ve dizaynına bağlı olarak işlerlik kazanırken, aktif sistemler kapsamında farklı teknolojiler geliştirilmiştir. Aktif sistemler elektrikli sistemler ve ısı sistemleri olarak iki ana grupta incelenmektedir.

2.1 Elektrikli Sistemler

Elektrikli soğutma sistemlerinde; PV kullanılarak güneş enerjisinden üretilen doğru akım bir invertör yardımıyla alternatif akıma dönüştürülerek, bu yolla üretilen elektrik bir soğutma sistemini (klasik buhar sıkıştırmalı veya Peltier) çalıştırmak üzere kullanılmaktadır (Özko, 2004). Ancak kullanılan fotovoltaik hücrelerin maliyetlerinin yüksek olması ($\approx 750 \text{ €/m}^2$), ve verimlerinin de diğer sistemlere kıyasla çok yüksek olmaması bugün için bu sistemlerin ticari

olarak kullanımını sınırlandırmaktadır. Isıl güneşli soğutma teknolojileri maliyet açısından değerlendirildiğinde, PV elektrikli soğutma teknolojilerine kıyasla daha uygulanabilir konumdadır (Kesten ve Tereci, 2005).

2.2 Isıl Sistemler

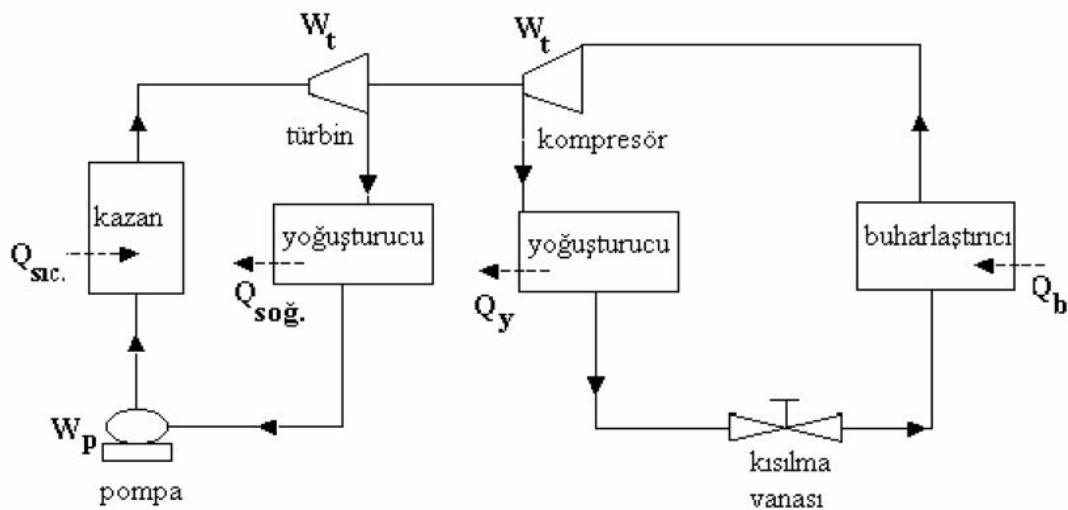
Isıl sistemler, genel olarak ısı- mekanik sistemler ve ısı dönüşümlü sistemler olarak iki grupta değerlendirilmektedir.

2.2.1 Isıl-mekanik sistemler

Isıl-mekanik sistemlerde güneş enerjisi yardımıyla elde edilen ısı enerji bir güç çevrimine (örneğin Rankine) aktarılmakta, güç çevriminin çıktısı ise klasik buhar sıkıştırımlı soğutma çevrimini çalıştırmaktadır (Büyükalaca ve Yılmaz, 2003).

2.2.1.1 Güneş enerjili Rankine çevrimli-buhar sıkıştırımlı soğutma sistemi

Güneş enerjisiyle çalışan Rankine çevrimli-buhar sıkıştırımlı soğutma sistemi; bir kuvvet çevrimi ile sıkıştırımlı soğutma çevriminin birlikte kullanıldığı bir çevrimdir. Güneş enerjisi kolektörlerinden sağlanan enerjinin bir Rankine çevrimini ve bu çevrimden elde edilen mil işinin de klasik buhar sıkıştırımlı soğutma çevriminin kompresörünü çalıştırması mümkündür (Kesten ve Tereci, 2005). Güneş enerjisiyle çalışan Rankine çevrimli- buhar sıkıştırımlı soğutma sistemi Şekil 2.2.'de gösterilmektedir.



Şekil 2.2. Güneş enerjili Rankine çevrimli-buhar sıkıştırımlı soğutma sistemi (Yiğit, 1984)

Güneş kolektörleriyle elde edilen sıcak su, güç çevrimi kazanı için gerekli olan ısıyı, ısı deđiřtiriciler vasıtasıyla kazana verir. Güç çevriminde dolařan akıřkana sabit basınç altında verilen ısı ($Q_{sıc.}$) ile akıřkan kızgın buhar olarak kazandan çıkar ve türbine gider. Şekil 2.2.'de gösterilen sistemde kuvvet çevriminden elde edilen güç, sıkıřtırmalı çevrimde kompresör gücü olarak kullanılmaktadır.

Buhar sıkıřtırmalı çevriminde bulunan kompresör, güç çevrimindeki türbinden elde edilen W_t işini kullanarak, kızgın olarak kompresöre giren akıřkanı yođuřturucu basıncına kadar sıkıřtırır. Sođutucu akıřkan yođuřturucuda, dıřarıya sabit basınçta (Q_y) ısısı atarak yođuřur. Yođuřturucudan çıkan akıřkan bir kısılma vanasından geçerek kısılır. Basıncı azalan akıřkan, buharlařtırıcıda çok düşük bir sıcaklıkta buharlařabilir. Akıřkan, buharlařtırıcıda sođutulmak istenen ortamdan ısı çekerek (Q_b) buhar haline gelir (Öztürk ve Kılıç, 1998).

Güneş enerjisiyle çalıřan Rankine çevriminde çalıřma akıřkanı olarak yüksek sıcaklıklar için suyun yanında, daha düşük sıcaklıklar için R113 ve toluene gibi başka akıřkanlar da kullanılmaktadır. Su dıřında farklı bir akıřkan kullanan Rankine sistemleri ticari olarak mevcut olup “Organik Rankine Çevrimi” olarak adlandırılmaktadır (Büyükalaca ve Yılmaz, 2003).

Kullanılan Kimyasallar ve Özellikleri

Rankine çevrimi/ Buhar sıkıřtırmalı sođutma çevriminde her iki çevrim için de aynı akıřkanın kullanılması mümkün olsa da, bu durum her iki çevrimin gereksinimlerinin yüksek verimle tam olarak karřılanması güç olacađı için pek tercih edilmez (Yiđit, 1984). Buhar sıkıřtırmalı çevrimde farklı sođutucu akıřkanlar kullanılmaktadır. Önceleri amonyak, kükürtdioksit, karbondioksit kullanılırken, son zamanlarda ticari ismi Freon, Genetron, Arcton olan halojenli hidrokarbonlar kullanılmaktadır (Öztürk ve Kılıç,1998). Halojene edilmiř hidrokarbonların (halokarbonlar) birçođunda flor bulunmaktadır ve bunlara fluokarbon sođutkanlar denilmektedir ve R-12 (CCl_2F_2 veya CFC-12) ve R-22 ($CHClF_2$ veya HCFC-22) en çok kullanılan fluokarbonlardır. Yakın zamana kadar geniř ölçüde kullanımları bulunan halokarbon türü sođutkanlardan kloro-floro-karbon (CFC) ve hidro-kloro-floro-karbon (HCFC) grubunda bulunanların, çevresel etkileri nedeniyle kullanımları sınırlandırılmıřtır.

Çevresel etkilerin azaltılabilmesi amacıyla; 100 kadar ülke 1987 yılında Kanada'nın Montreal kentinde (UNEP 1987) “sođutucu akıřkanların üretim ve kullanımı, ozon tabakasının korunması, sera etkisinin azaltılması gibi konuların kontrol altına alınabilmesi amacıyla ilk defa toplanarak Montreal Protokolü'nü hazırlayıp imzalamıřlardır (Özkoł, 2004).

2.2.2 Isıl dönüşümlü sistemler

Isının doğrudan bir soğutma çevrimini çalıştırmak üzere ısı dönüşümlü sistemler genel olarak; absorpsiyonlu, adsorpsiyonlu ve kurutmalı soğutma sistemleri olarak üç ana grupta değerlendirilmektedir. Ancak kullanılan soğurucunun fazına (sıvı, katı) veya kullanılan çevrimin açık-kapalı olmasına göre değişik uygulamalar mevcuttur (Büyükalaca ve Yılmaz, 2003). Kapalı çevrimli sistemlerde soğuk su üretimi ile proses yürütülürken, açık çevrimli sistemlerde doğrudan binaya gönderilen ve binadan alınan hava işlem görmektedir. Buna karşılık, iki çevrim sisteminde de hem katı hem sıvı sorbetler kullanılabilir.

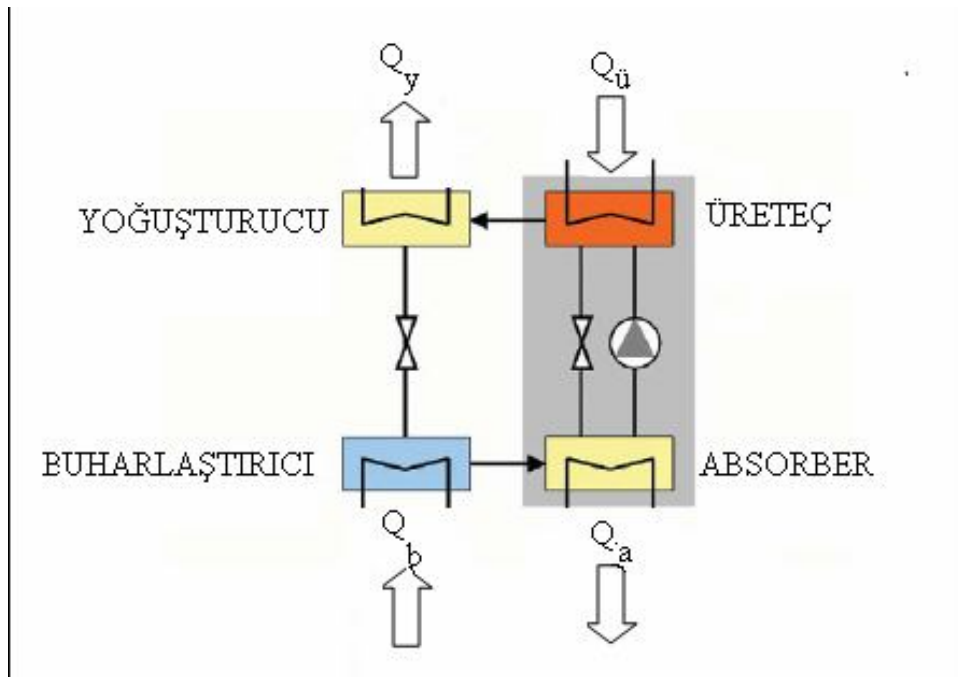
Isıl dönüşümlü güneşli soğutma sistemleri olan, absorpsiyonlu soğutma sistemleri, adsorpsiyonlu soğutma sistemleri ve kurutmalı (desisif) soğutma sistemlerinin çalışma şartları ve kapasiteleri hakkında ayrıntılı bilgi karşılaştırmalı olarak Çizelge 2.2’de gösterilmiştir (Ermiş ve Kılıçaslan, 1995).

Çizelge 2.2. Isıl dönüşümlü güneş enerjili soğutma sistemleri karşılaştırması (Ermiş ve Kılıçaslan,1995).

Proses	Absorpsiyon	Adsorpsiyon	Kurutmalı Soğutma
Hava koşullandırma türü	Soğutulmuş su	Soğutulmuş su	Koşullandırılmış hava soğutulmuş ve nemsizleştirilmiş)
Çalışma gücü Aralığı	35 kW ‘dan 2MW’a (soğutma kapasitesi)	70 kW’dan 350 kW’a (soğutma kapasitesi)	3000 m ³ /h’den 50000 m ³ /h’e (hava debisi)
Kullanılan kollektör tipi	Vakum tüplü kollektörler Parabolik kollektörler	Vakum tüplü kollektörler Düz plaka tipi kollektörler	Düz plaka tipi kollektörler Hava tipi kollektör
Tipik çalışma Sıcaklığı	80-110 °C	60-90 °C	45-95 °C

2.2.2.1 Absorbsiyonlu soğutma sisteminin tanıtılması

Absorbsiyonlu soğutma sistemleri genel olarak buhar-sıkıştırılmalı soğutma sistemine benzemektedir. Ancak, Bölüm 2.2.1.1.'de de söz edildiği gibi buhar sıkıştırılmalı çevrimlerde soğutucuyu basınçlandırılması amacıyla elektrikle çalışan kompresör kullanılmaktadır. Buhar sıkıştırılmalı soğutma çevrimlerinde yer alan elektrikle çalışan kompresörün yerine, absorbsiyonlu soğutma sistemlerinde soğutucunun basıncının geliştirilen ısıl proseslerle artırılması sağlanmaktadır. absorbsiyonlu soğutma sistemi Şekil 2.3.'ta gösterilmiştir.



Şekil 2.3. Absorbsiyonlu soğutma sistemi

Şekil 2.3.'ta gösterilen sistemde, buharlaştırıcıda soğutulmak istenen ortamdan Q_b ısısının çekilmesiyle soğutucu madde buharlaşır. Buharlaştırıcıdan gelen soğutucu madde buharı, ayırıcıdan gelen soğuk-fakir çözelti tarafından absorberde soğurur. Soğutucu maddenin soğurulması sayesinde oluşan soğutucu açısından zengin çözelti, düşük soğutucu basıncından yüksek basınca pompalanarak üreteçte gider. Üretilen ısıyla buharlaşan soğutucu buharı yoğuşturucuya ulaşarak burada sıvılaşır. Basıncı, kısılma vanasından geçerken azaltılan soğutucu akışkan buharlaştırıcıya geri döner. absorpsiyonlu soğutma sistemi için gerekli ısı sağlayıcı olarak, güneş enerjisi kullanılabildiği gibi atık ısı da kullanılabilir.

Kullanılan Soğutucu-Absorber Kombinasyonlarının Özellikleri

Absorbsiyonlu soğutma sistemlerinde kullanılacak tüm soğutucu-absorber kombinasyonlarında aranan en önemli özellik kimyasal çözünürlüğün yüksek olmasıdır (Kuzgun, 1997). Ancak iş akışkanı çiftlerinin seçiminde, bu maddelerin kimyasal, fiziksel özellikleri ve sistemin kullanım amacı göz önüne alınan parametrelerdir. Soğutucu ve soğurucuların zehirli olma olasılığı, uzun süre kimyasal dengede olma ve malzemeye uyumu, kolay bulunabilirlikleri ve fiyatları da akışkan seçiminde dikkate alınmaktadır. Az miktarda akışkanla yüksek soğutma gücü elde edilebilmesi için yüksek buharlaşma ısısı olan soğutucular tercih edilmektedir (Ermiş ve Kılıçaslan, 1995). Absorbsiyonlu soğutma sistemlerinde farklı soğutucu/soğurucu çiftleri kullanılmaktadır; amonyak/su, su/LiBr, amonyak/NaSCN v.b. Ancak çalışmalar özellikle LiBr/su ve amonyak/su sistemleri üzerinde yoğunlaşmıştır (Yamankaradeniz vd., 2002).

Absorbsiyonlu soğutma sistemleri, ticari olarak birçok firma tarafından üretilmektedir ancak birçoğu yüksek soğutma kapasitesine sahiptir. Güneş enerjisi destekli çalışabilen, bazı absorbsiyonlu soğutma sistemlerinin üretici firmaları, üretici firmaların ürettiği en küçük kapasiteleri, çalışma şartları ve STK değerleri Çizelge 2.3.'ta gösterilmiştir (Henning, 2004).

Amonyak/su akışkan çiftiyle çalışan absorbsiyonlu soğutma sistemleri, genellikle soğutma amaçlı olarak yüksek kapasitelerde ve 0°C'nin altında soğuk üretecek şekilde yüksek üreteç sıcaklıklarında ($\approx 90^{\circ}\text{C}$) üretilmelerine karşılık; bu sistemlerde güneş enerjisi kullanımı imkanını arttıracak şekilde, daha düşük üreteç sıcaklıkları ve $\approx 5^{\circ}\text{C}$ 'lik buharlaştırıcı sıcaklığı koşullarında çalıştırılacak sistemler için birçok pilot proje yapılmaktadır (Henning, 2004).

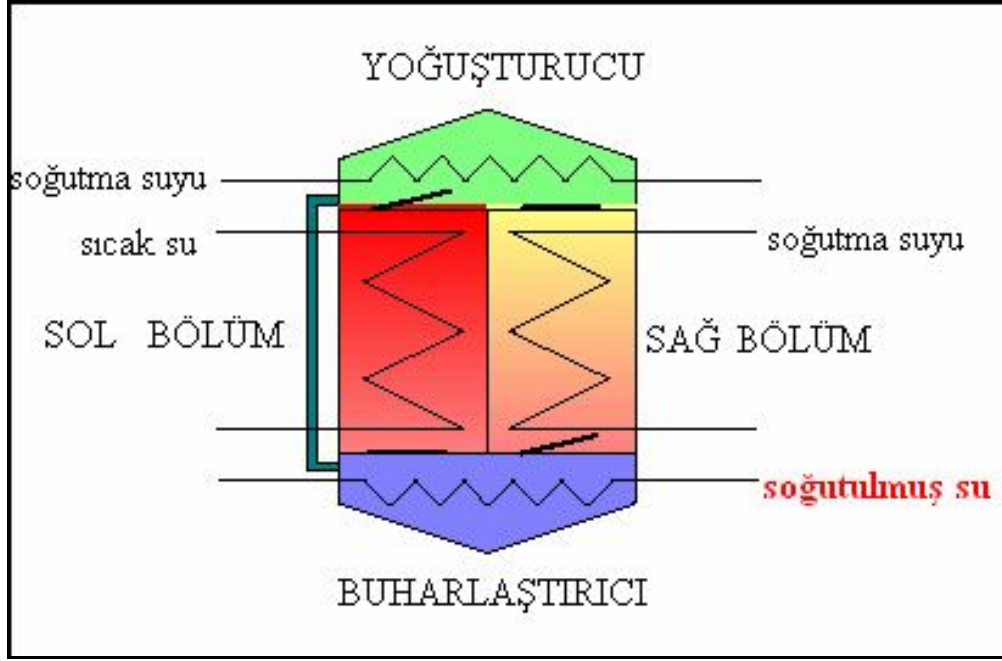
Çizelge 2.3. Absorbsiyonlu soğutma sistemlerinin karşılaştırılması (Henning, 2004)

Üretici Firma	Kapasite	Çalışma Aralığı	STK
Broad Air	20 kW LiBr/su	veri yok	veri yok
Colibri / Stork	100 kW NH ₃ / H ₂ O	90 °C	0,64
Coolingtec	70 kW R-134a/organik	70-145 °C	0,55
EAW	15 kW LiBr/su	75-95 °C	veri yok
Sanyo	105 kW LiBr/su	85-95 °C	0,7
Trane	380 kW LiBr/su	130 °C	0,63
Yazaki	35 kW LiBr/su	80-100 °C	0,7

2.2.2.2 Adsorpsiyonlu soğutma sisteminin tanıtılması

Absorbsiyonlu sistemlerde, soğutucu akışkanın bir sıvı tarafından tutulmasına karşılık; adsorbsiyonlu sistemlerde soğutucu gözenekli yapıya sahip katı adsorber tarafından tutulmaktadır.

Adsorpsiyonlu soğutma sistemleri temel olarak, adsorber, yoğuşturucu ve evaporatörden oluşmaktadır. Adsorpsiyonlu soğutma sistemlerinin son yıllarda buz üretimi ve iklimlendirme amaçlı kullanımları mevcuttur (Henning,2004). Adsorpsiyonlu soğutma sisteminin şematik gösterimi, Şekil 2.4.'de verilmiştir.



Şekil 2.4. Adsorpsiyonlu soğutma sistemi (Henning,2004)

Adsorpsiyonlu soğutma sisteminde adsorbent; soğutucunun adsorplanması ve soğutucunun ayrılması amacıyla dönüşümlü olarak ısıtılır ve soğutulur (Henning,2004). Şekil 2.4.'de gösterilen adsorpsiyonlu soğutma sisteminde, soğutma işlemi esnasında adsorbentin ısıtılması ve soğutulmasıyla, sistemde kullanılan soğutucu akışkanın adsorplanması ve desorplanması sağlanır. Adsorbent yatağının ısınmasıyla (sol bölüm), adsorbentin sıcaklığı ve adsorbent yatağındaki soğutucunun basıncı artar. Adsorbentin sıcaklığı desorpsiyon sıcaklığına ulaştığında soğutucu buharlaşır. Soğutucu buharı yoğuşturucuda soğutma suyuna ısı vererek yoğuşur. Buharlaştırıcıda soğutucu düşük basınçta yararlı soğutma etkisini sağlayarak buharlaşır ve diğer adsorber (sağ bölüm) tarafından adsorplanır. Adsorpsiyon sırasında sıvı molekülleri, katı adsorberin duvarlarında tutulurken kimyasal bir reaksiyon gerçekleşmez ancak moleküller katı malzeme duvarlarında sabitlenirken enerji kaybederler; açığa çıkan ısı soğutma suyuna aktarılır (Henning,2004).

Sistemde sağ bölme ve sol bölmenin görevleri (adsorpsiyon, desorpsiyon) dönüşümlü olarak değişmektedir ve bu periyodik süreç yaklaşık olarak 7 dakika sürmektedir.

Kullanılan Kimyasallar ve Özellikleri

Adsorpsiyonlu soğutma sistemlerinde farklı adsorbent ve soğutucu akışkan çiftlerinin kullanımları mümkündür. Soğutma uygulamalarında kullanılan adsorbentin çevre sıcaklığında ve düşük basınçlarda yüksek adsorpsiyon kapasitesine, yüksek sıcaklık ve basınçlarda ise

düşük adsorplama kapasitesine sahip olması istenir. Adsorbentin seçiminde önemli olan faktörler şu şekilde özetlenebilir; soğutma etkisini arttırmak için yüksek adsorpsiyon ve desorpsiyon kapasitesi, çevrim süresini kısaltmak için iyi ısı iletkenlik, düşük spesifik ısı kapasitesi, soğutucuyla kimyasal olarak uygunluk, kolay bulunabilirlik ve uygun maliyet.

Adsorbentle birlikte kullanılan, soğutucu akışkanın seçiminde önemli olan parametreler ise; yüksek gizli ısı, kolay adsorplanabilme, yüksek ısı iletkenlik, düşük viskozite, düşük spesifik ısı, zehirli yanıcı- korozyif olmaması ve çalışılan sıcaklık aralığında kimyasal stabilite olarak özetlenebilir (Sumathy vd., 2003).

Adsorpsiyonlu soğutma sistemlerinde kullanımları ön plana çıkmış farklı adsorbent/soğutucu çiftleri mevcuttur; su/slikajel, su/zeolit, amonyak/aktif karbon, metanol/aktif karbon (Henning, 2004). Suyun soğutucu olarak kullanıldığı sistemlerde sağlanan soğutma 0°C'nin üzerinde iken, soğutucu olarak metanol kullanılan sistemlerde daha düşük sıcaklıklar elde edilebilmektedir (Büyükalaca ve Yılmaz, 2003). Farklı soğutucu/adsorbent çiftleriyle yapılan araştırmalar ve deneysel çalışmalar olmasına rağmen, sadece su/slikajel çiftiyle çalışan adsorpsiyonlu soğutma sistemleri ticari olarak üretilmektedir. Güneş enerjisi destekli çalışan ve iklimlendirme amaçlı kullanılan adsorpsiyonlu soğutma sistemlerine örnek olarak kapasiteleri, çalışma şartları ve üretici firmaları Çizelge 2.4.'ta gösterilmiştir.

Çizelge 2.4. Adsorpsiyonlu soğutma sistemleri (Henning, 2004)

Üretici Firma	Kapasite	Çalışma Sıcaklığı	STK
Mycom	70 kW Su/Silikajel	60-90 °C	0,61
Nishiyudo	105 kW Su/Silikajel	55-95 °C	0,61

2.2.2.3 Kurutmalı soğutma sistemlerinin tanıtılması

Kurutmalı soğutma sistemleri prensip olarak diğer sistemlerden, soğutulmuş su (sıvı akışkan) yerine şartlandırılmış hava üretilmesi nedeniyle ayrılmaktadır. Bu yüzden bu sistemler yüksek taze hava gereksinimini karşılayabilmektedir. Kurutmalı soğutma prensip olarak evaporatif soğutma sistemlerine benzemekle beraber, evaporatif soğutma potansiyeli havanın nemsizleştirilmesiyle arttırılmıştır (Henning vd., 1998). Bu sistem kullanılarak iklimlendirilecek ortama gönderilecek dış havanın nemlendirilmesiyle elde edilen soğutma,

Kullanılan kurutucu maddeler ve özellikleri

Kurutmalı (desisif) soğutma sistemlerinde dış havanın nemi, nemli hava içindeki su buharının kısmi basıncı nem alan madde içindekinden daha fazla olduğu için, sorbent olarak adlandırılan sıvı yada katı nem alıcı maddeye nem geçişi olmasıyla azaltılmaktadır. Nem alıcı cihaz olarak, katı maddeli döner nem alıcılar ve sıvı maddeli dolgu kuleler kullanılmaktadır (Yılmaz ve Büyükalaca, 2000).

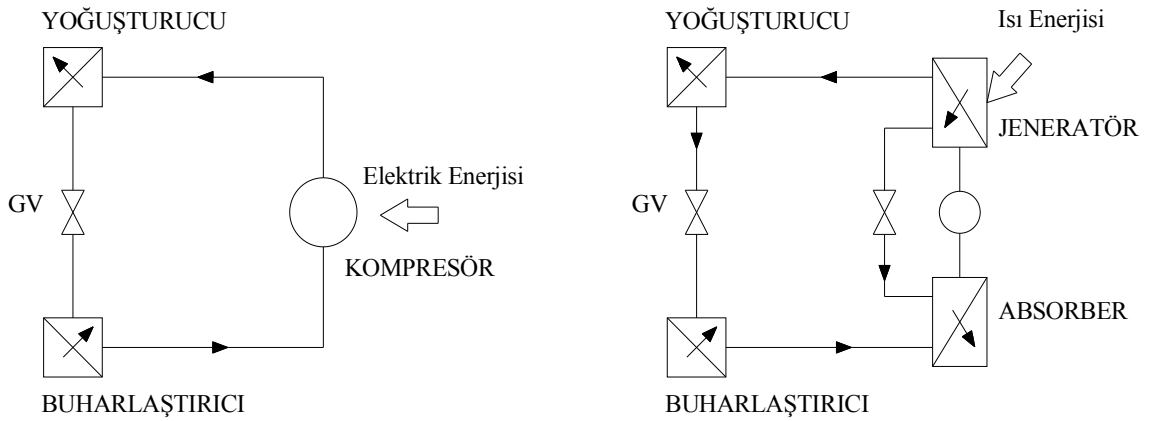
Katı nem alıcı sistemler, genellikle taşıyıcı bir madde ve bu madde üzerindeki alıcı maddeden oluşmaktadır ve katı taşıyıcı madde olarak genellikle alüminyum folyo, plastik folyo ve selüloz kağıdı; nem alıcı madde olarak da suda çözünen higroskopik tuzlar (LiBr, CaCl₂, MgCl₂ v.b.), slikajel, moleküler elekler ve higroskopik metal oksitler (Al₂O₃ v.b.), Slikajel ve LiCl-kağıdı. Sıvı nem alıcı sistemler de havanın neminin alınması amacıyla kullanılmaya başlanmıştır; CaCl₂ ve LiCl suda çözünen tuzları en çok kullanılan sıvı nem alıcılardır (Yılmaz ve Büyükalaca, 2000).

Nem alıcı maddenin rejenere edilmesi, maddenin ısıtılmasıyla sağlanır. Rejenere için gerekli ısı enerjisinin sıcaklığı genellikle 45-95 °C arasındadır ve bu enerji düzlem veya havalı güneş kollektörleri kullanılarak sağlanmaktadır (Yılmaz ve Büyükalaca, 2000).

3. ABSORBSİYONLU SOĞUTMA SİSTEMİ

Absorbsiyonlu soğutma sistemleri, soğutucu ve soğurucu akışkan olarak adlandırılan, iki farklı akışkan karışımından oluşan iş akışkanlı, kompresörün yerini; jeneratör, absorber ve çözelti pompasının aldığı ve kimyasal ayırma işlevinin ise doğrudan jeneratöre beslenen ısı enerjisi tarafından yerine getirildiği bir soğutma sistemidir (Şekil 3.1).

Jeneratörde kullanılan ısıtıcı akışkan düşük basınç ve sıcaklıkta ve düşük ekserjilidir. Bu özelliğinden dolayı ASS'leri, atık ısı, güneş enerjisi, jeotermal enerji, biyokütle gibi kaynaklardan elde edilen buhar ile çalıştırılabilir. Jeneratör sayısı arttıkça (iki kademeli, üç kademeli), jeneratöre beslenen buharın kalitesi de artmak zorundadır. Bu nedenle ASS'inde, jeneratöre beslenecek buhar sıcaklığı ve basıncı önemlidir. Buhar sıkıştırılmalı soğutma çevrimlerinin sistem yapısı Şekil 3.1'de gösterilmiştir. Buhar sıkıştırılmalı soğutma çevrimlerine elektrik enerjisi girdisi olurken, ASS'ne ısı enerjisi beslenmektedir.

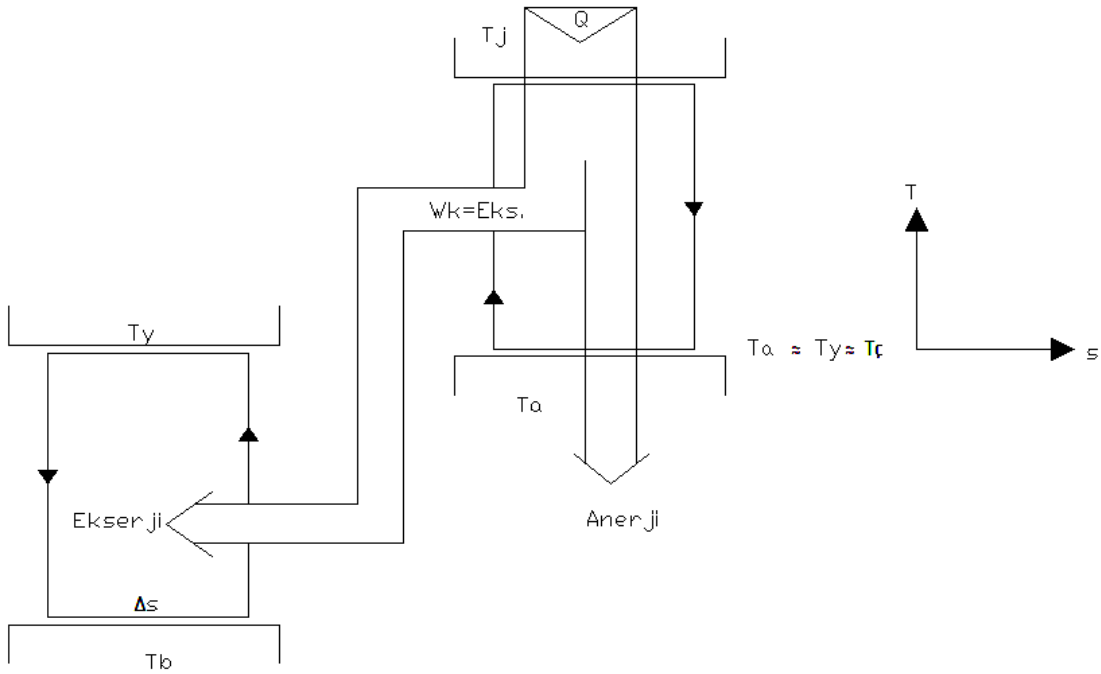


Şekil 3.1. Buhar sıkıştırılmalı ve ASS'nin yapısal karşılaştırılması

ASS'leri yüksek ekserjili enerji kaynakları tasarrufu, çevre kirliliğinin azaltılması ve atık ısı ve yenilenebilir enerji kullanımı nedeniyle, gittikçe ısınan dünyamızın gelecekteki en uygun soğutma sistemini oluşturması beklenmektedir. Türkiye'de toplam enerjinin yarısına yakını konutlarda sıcak su, hacim ısıtması ve soğutması için kullanılmaktadır. Ülkemizde de absorpsiyonlu sistemlerin yaygınlaşmasıyla ve absorpsiyonlu sistemlerin güneş enerjisiyle veya atık ısı ile çalışması sağlandığında fosil yakıt tüketiminde önemli ölçüde tasarruf sağlanacaktır. Soğutma uygulamalarında bu sistemin kullanılmasının en büyük avantajı güneş radyasyonunun arttığı zamanlarda eş zamanlı olarak soğutma ihtiyacının da artmasıdır . Bu

nedenle ASS’i yazın soğutmada kışın ise ısı pompası işleviyle ısıtmada kullanılabilir. Böylelikle sistemin kullanım yük faktörü artacağından amortisman giderleri azalır ve uygulamanın ekonomikliğı artar.

Güneş uygulamalarının en büyük dezavantajları ise güneş radyasyonunun kesikli ve dağınık olması ve ilk yatırım masraflarının yüksek olmasıdır. Absorbsiyonlu soğutma sisteminin performans katsayısının analizinde, jeneratör absorber arasında çalışan tersinir ısıl-güç çevrimi (sağ dönüşlü) ekserjisi ile sol dönüşlü soğutma çevriminin sıkıştırma işlevinin gerçekleştirildiğı varsayılır (Şekil 3.2). Burada soğutma çevrimi için gerekli olan sıkıştırma işi, ısıl-güç çevrimi ekserjisine eşit olan W_k ile sağlanır.



Şekil 3.2. Tersinir ASS’i performans katsayısı analizi ile ilgili model

Performans katsayısı (PK), soğutma çevriminde buharlaştırıcıdan emilen ısının (Q_B), çevrime verilen sıkıştırma işine (W_k) oranı olarak tanımlanır.

$$PK_{SÇ} = \frac{Q_B}{W_k} = \frac{T_B \Delta s}{(T_y - T_B) \Delta s} = \frac{T_B}{(T_A - T_B)} \quad (3.1)$$

Isıl-güç çevriminde ise, ısıl performans sayısı çevrime verilen ısının (Q_j), çevrimden alınan işe (ekserji) oranıdır. Isıl güç çevrimi için PK aşağıdaki gibi yazılabilir.

$$PK_{IG\dot{C}} = \frac{Q_J}{W_k} = \frac{T_J \Delta_s}{(T_J - T_A) \Delta_s} = \frac{T_J}{(T_J - T_A)} \quad (3.2)$$

Isıl güç çevriminde üretilen iş (ekserji), soğutma çevriminde kullanılan sıkıştırma işine eşit olduğundan, çevrimsel alanlar dolayısıyla her iki performans katsayısı birbirlerine eşit olacaktır. Böylece, $PK_{S\dot{C}} = PK_{IG\dot{C}}$ yazılabilir.

ASS'nin performans katsayısı PK_{ASS} ;

$$PK_{ASS} = \frac{Q_B}{Q_J + W_P} \quad (3.3)$$

olarak tanımlanmaktadır. Çözelti pompası işi W_p jeneratöre verilen ısıya kıyasla ihmal edilecek boyutta küçük olduğundan PK aşağıdaki biçimde yazılabilir.

$$PK_{ASS} = \frac{Q_B}{Q_J} \quad (3.4)$$

$$\text{Eş. 3.3'te } Q_B = W_K \frac{T_B}{(T_A - T_B)} \quad \text{ve (Eş. 3.2)'de, } Q_J = W_K \frac{T_J}{(T_J - T_A)}$$

(Eş. 3.4)'e yazılırsa, tersinir ASS çevrimi performans katsayısı için aşağıdaki eşitlik elde edilir.

$$PK_{ASS} = \frac{T_B(T_J - T_A)}{T_J(T_A - T_B)} \quad (3.5)$$

Eş. 3.5'de ASS'lerinin performans katsayılarının artırılmasıyla ilgili başlıca mühendislik yaklaşımlarını ortaya koyması bakımından önemlidir. PK 'nın artırılabilmesi için; T_B ,

$(T_J - T_A)$ 'nın artırılması, T_J ve $(T_A - T_B)$ 'nin düşürülmesi gerekmektedir. Bu bağlamdaki mühendislik yaklaşımları her parametre tek bir konuma indirilerek gerekli yaklaşımlar belirlenmiştir.

Pay ve payda T_B ile bölünürse, T_B tek konumlu hale getirilir ve aşağıdaki eşitlik bulunur.

$$PK_{ASS} = \frac{(T_J - T_A)}{T_J \left(\frac{T_A}{T_B} - 1 \right)} \quad (3.6)$$

bulunur. T_B 'nin artması paydayı küçülteceğinden performans sayısını arttıracaktır. ASS sistemlerinde performans artırımındaki başlıca birinci yaklaşım buharlaştırıcının sıcaklığının

olabildiğince yükseltilmesidir.

Pay ve payda T_J 'ye bölünerek, aşağıda görüldüğü gibi T_J tek konumlu hale getirilir.

$$PK = \frac{T_B(1 - \frac{T_A}{T_J})}{(T_A - T_B)} \quad (3.7)$$

Eş. 3.7' de T_J 'nin artırılması, payı büyüteceğinden performans katsayısını artmasına neden olur. ASS sistemlerinde performans artırımındaki başlıca ikinci yaklaşım jeneratörde daha yüksek sıcaklıkta ve ekserjide ısı kullanılmasıdır. Bu sistemlerde enerji verimliliğini arttırmanın başlıca yolu jeneratör ısı ekserjisinin olabildiğince arttırılmasıdır. Her bir jeneratör ancak belli boyutta ekserjiyi içsel sıkıştırma işi olarak sisteme sunabilir. Bu nedenle çok daha yüksek sıcaklık ve ekserjilerde (sıkıştırma potansiyelli) jeneratör ısı kullanılması durumunda bu ekserjinin tek jeneratörde işlenebilir hale getirilmesi olanaksızdır. Bu nedenle jeneratör sayısını arttırmak gereklidir. Literatürde jeneratör sayısına ASS'leri tek kademeli (tek jeneratörlü), çift kademeli, üç kademeli vb. biçimde isimlendirilir.

Eş. 3.7'de pay ve payda T_A ile bölünürse aşağıdaki bağıntı elde edilir. Her iki tarafı T_A ile bölersek,

$$PK = \frac{T_B(\frac{T_J}{T_A} - 1)}{T_J(1 - \frac{T_B}{T_A})} \quad (3.8)$$

Eş. 3.8'da T_A azaltılırsa pay artıp payda azalacağından performans katsayısı etkin biçimde artacaktır. ASS sistemlerinde performans artırımındaki başlıca üçüncü yaklaşım absorber sıcaklığının olabildiğince düşürülerek jeneratör ekserjisinin artırılmasıdır.

ASS'leri enerji-işletme ekonomisi ve sistem yapısı yönünden belli buharlaştırıcı ıcaklığı T_B , absorber sıcaklığı T_A , yoğuşturucu sıcaklığı T_Y ve jeneratör sıcaklıkları ($T_{J1}, T_{J2}..T_{Jn}$) esas alınarak tasarımlanır ve optimum sistem performans katsayısı belirlenir. Sistem yapısını ve performans katsayısını belirleyen bu sıcaklıkların tüm işletme süresince olabildiğince tasarım değerlerinde tutulması ve sistem işletmesi ve bakım-onarımının bu amaca yönelik gerçekleştirilmesi gerekir. Pratik yönden bunun anlamı, tüm akışkanların sıcaklıklarının olabildiğince varış ünitesi için ön görülen birimin sıcaklığında girmelerinin sağlanmasıdır. Bu işlevler, sistem enerji dengesini sağlayan üniteler arası ısı değiştirgeçleri, kısma, aktarma v.b. ara birimler yardımıyla sağlanır. Sistem davranışındaki olumsuz gelişmeler sistem

rehabilitasyonu ve optimizasyonu çalışmalarıyla giderilebilir. Bu çalışmaların gerçekleşmesinde matematiksel modeller etken bir biçimde kullanılabilir.

Jeneratör sıcaklığının artırılması demek sisteme daha yüksek ekserjili ısı beslenmesi demektir. Isı kaynağı olarak güneş enerjisi kullanılması durumunda, gerekli ısı yoğunlaştırıcıları uygulamasıyla jeneratöre beslenen güneş enerjisinin ekserjisi istenilen boyutta artırılabilir. Bu bağlamda güneş takipli parabolik oluk tipi kolektörler tercih edilmektedir.

Bu çalışmada ASS'i iş akışkanı olarak LiBr-H₂O çifti kullanılmaktadır. Burada H₂O soğutucu akışkan LiBr ise soğurucu akışkan işlevi görmektedir. Alçak basınç yüksek basınç geçiş bölgesinde LiBr su buharını yüklenerek (absorpsiyon) fakir eriyik sıvı biçiminde (iki fazlı akış) eriyik pompası üzerinden jeneratöre taşır. Soğutucu akışkan su buharı jeneratörden kızgın buhar olarak ayrılarak yoğunlaştırıcı üzerinden doymuş su biçiminde genişleme vanasına ulaşır. Yüksek basınçtan alçak basınca geçiş bölgesinde ise tek fazlı akış söz konusudur.

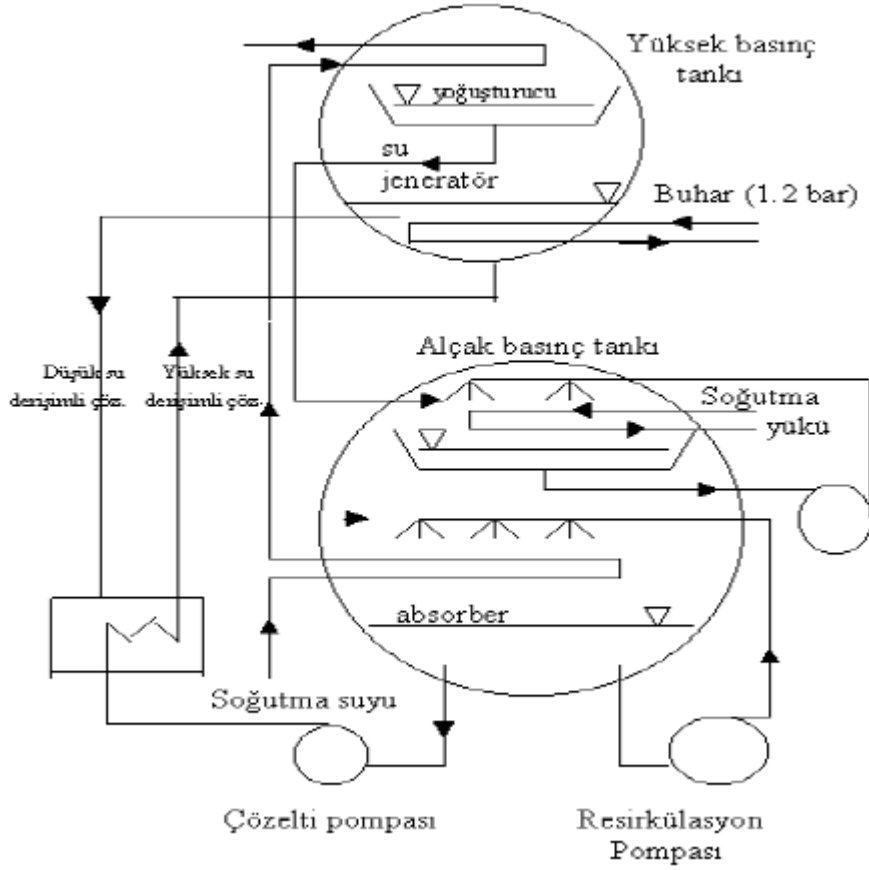
3.1.1 Tek kademeli absorpsiyonlu soğutma sistemleri

Tek kademeli ASS tek jeneratörlü anlamına gelmektedir. Bu sistemlerde düşük ekserjili ısı kullanıldığından bu işsel ayrıştırma ve sıkıştırma işi tek bir jeneratörle gerçekleştirilmektedir. Düşük ekserjili olan bu sistemlerin performans katsayısı da düşüktür. absorpsiyonlu soğutma sistemleri buhar sıkıştırıcı sistemlere genel olarak benzemekle birlikte bu sistemlerde sadece kompresörün yerini jeneratör, absorber ve çözelti pompası almıştır (Bölüm 3.1). Şekil 3.3'de tek kademeli LiBr- H₂O iş akışkanlı endüstriyel bir absorpsiyonlu soğutma sisteminin sistem yapısı gösterilmiştir. Çözelti zenginlik veya fakirlik bağlamında LiBr esas alınmıştır. Absorberden alınan fakir çözelti, çözelti pompasıyla ısı değiştirgeci (ön ısıtıcı) üzerinden jeneratöre gönderilir. Bu çözelti jeneratörde dışarıdan verilen buharla (Şekil 3.3) kısmen buharlaştırılarak zenginleşir. Ayrılan su buharı jeneratör sıcaklığında kızgın buhar olarak jeneratörü terk eder. Buharlaşma sonucu oluşan zengin sıvı çözelti jeneratörden ayrılarak kısma vanası ve ön ısıtıcı üzerinden absorbere girer.

Jeneratörü, jeneratör sıcaklığında terk eden kızgın buhar, yoğunlaştırıcıda yoğunlaştırıcı sıcaklığına tekabül eden yoğunlaşma basıncında yoğunlaşır. Burada doymuş suya dönüşen soğutucu akışkan (su) genişleme vanasında sabit entalpide genişletilerek kısmen buharlaşmış biçimde buharlaştırıcıya girer.

Yoğunlaştırıcı sıcaklığına tekabül eden doyma basıncı sistemin yüksek basınç bölümünü,

buharlaştırıcı sıcaklığına tekabül eden buharlaşma basıncı ise sistemin düşük basınçlı bölümünü oluşturur (Şekil 3.3).



Şekil 3.3. Endüstriyel LiBr iş akışkanlı tek kademeli absorpsiyonlu soğutma sisteminin bağlantı şeması

Jeneratör ve yoğusturucu sistemin yüksek basınç bölümünü, buharlaştırıcı ve absorber ise sistemin alçak basınçlı bölümünü oluşturmaktadır. Çözelti pompası alçak basınç bölümünden yüksek basınç bölümüne geçişi, genişleme valfi ve kısma vanaları ise sistemin yüksek basınçtan alçak basınca uygun biçimde geçmesini sağlayan basınçsal geçiş organlarıdır.

Genleşme valfi üzerinden buharlaştırıcıya püskürtülen yüksek basınçlı doymuş su buharlaştırıcıda buharlaşır. Buharlaşma için gerekli buharlaşma ısı, buharlaştırıcı içine yerleştirilen ısı değiştirgeci içinden geçen ve soğutulması istenilen sudan alınır ve bu suyun soğutulması sağlanır (soğutma yükü, Şekil 3.3). ASS'lerinde soğutucu akışkan olarak su kullanıldığından, buharlaştırıcı içinde suyun donmasının önlenmesi için buharlaştırıcı sıcaklığının olabildiğince 5°C'nin altına düşürülmemelidir.

Buharlaştırıcıdan doymuş buhar olarak çıkan soğutucu akışkan (su), absorbere gider ve absorberde yoğunlaşır. Doymuş buhar doymuş su arasındaki çok büyük özgül hacim azalması absorberde vakum oluşturur. Oluşturulan bu vakum sayesinde soğutucu akışkanın absorbere akması ve absorberde LiBr tarafından emilerek çözelti sıvı oluşumu sağlanır. Bu ise buhar sıkıştırılmalı soğutma sistemlerinin aksine alçak basınçtan yüksek basınçta geçişte kompresör yerine pompa kullanımını olanaklı kılar.

Jeneratör buharlaştırma ısı yükünü azaltmak ve böylece sistemin verimini arttırmak amacıyla, tek kademeli LiBr-H₂O iş akışkanlı absorpsiyonlu soğutma sisteminde absorber ile jeneratör arasına ısı geri kazanım amaçlı ısı değiştirgeci yerleştirilir.

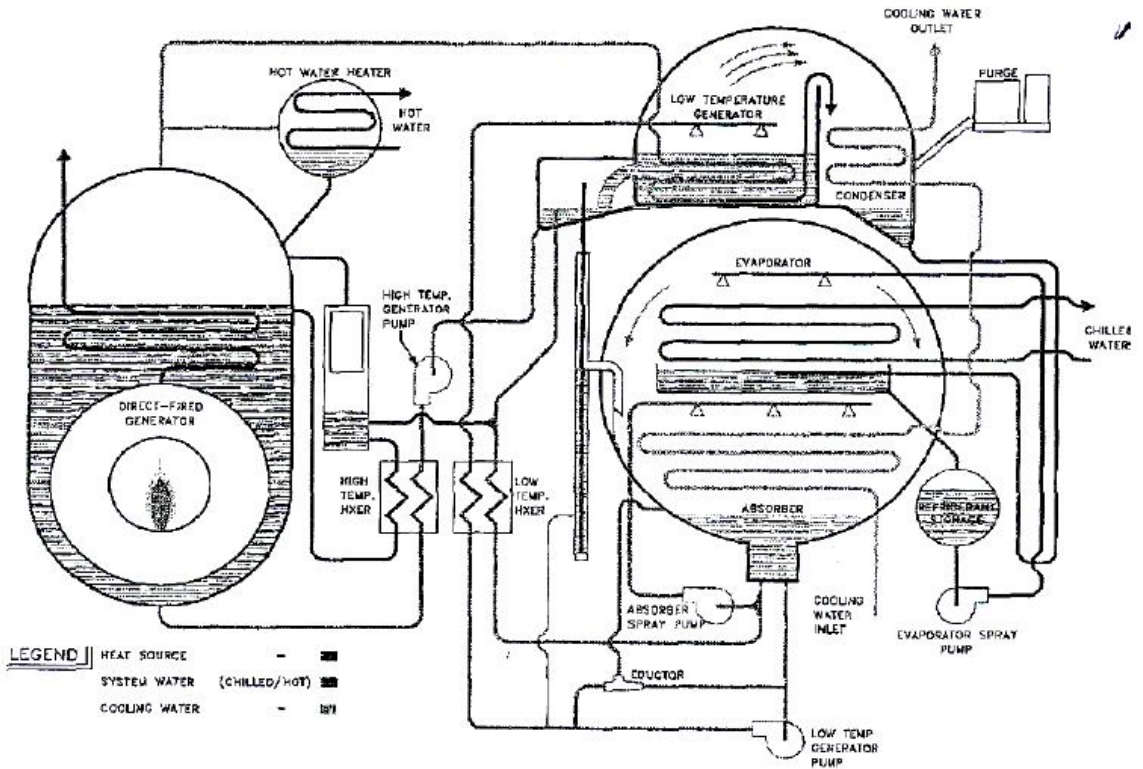
Sistemdeki suyun buharlaşması ve çevrimin tamamlanabilmesi amacıyla jeneratöre verilmesi gereken yüksek sıcaklıktaki ısı belli sıcaklıktaki sıcak bir akışkanla (kızgın su, buhar, yanma gazı) jeneratörden verilir ve absorber ve yoğunlaştırıcıdan çekilmesi gereken ısı ise doğrudan soğutma suyu ile alınır. absorpsiyonlu soğutma çevrimlerinde kullanılan eriyiğin sistem çalışma sıcaklıklarında kararlı olarak (kristalleşme olmadan) çalışması gerekir. Bu nedenle belirlenecek olan jeneratör ve absorber sıcaklıkları, sistemin çalışabileceği, işletme ve enerji yönünden en uygun tasarım değerleri arasında olmalıdır. Şekil 3.4'den de görüleceği gibi soğutucu akışkan suyun, buharlaşarak ısı çektiği buharlaştırıcı ile, su buharının LiBr tarafından emilerek LiBr-H₂O eriyiğine dönüştüğü absorberi içeren tank alçak basınç altında tutulacaktır. Eriyikten suyun buharlaşmasını sağlayan jeneratör ve su buharının yoğunlaşmasının sağlandığı yoğunlaştırıcıyı içeren tank yüksek basınç tankıdır.

3.1.2 Çift kademeli absorpsiyonlu soğutma sistemi

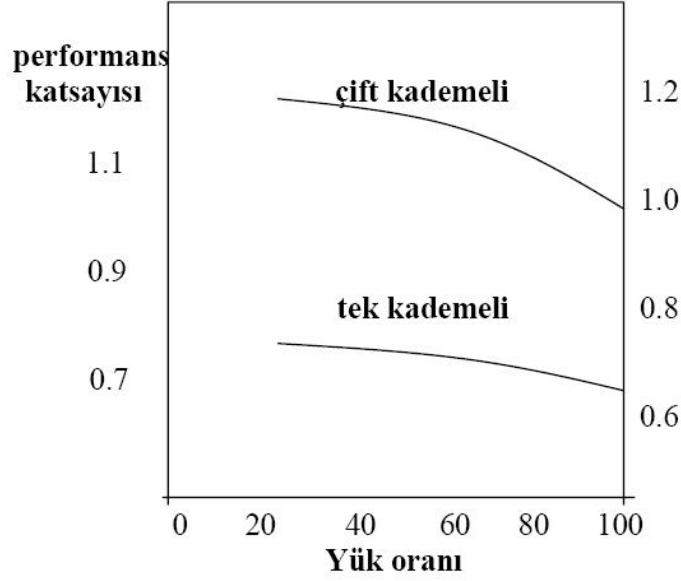
Çift kademeli ASS'inde, tek kademeliye kıyasla jeneratörde çok daha yüksek ekserjili buhar veya akışkan kullanılır. Bu ekserjinin tek jeneratörde işlenmesi mümkün olmadığından iki jeneratör kullanımı gerekmektedir. Bu nedenle iki jeneratörlü ASS'ne çift kademeli denir. Çift kademeli endüstriyel bir ASS'nin sistem yapısı Şekil 3.4'de verilmiştir.

Absorbsiyonlu sistemlerde özellikle 120°C ve üzerindeki jeneratör sıcaklıklarında soğutma etki katsayısında bir artış meydana gelir. Bu sıcaklık yenilenebilir enerji kaynakları ile özellikle parabolik oluk tipi güneş kolektörleriyle veya atık ısıyla sağlanabilir. Böylece sistem daha ekonomik hale gelir ve çevre kirliliği azaltılmış olur. Güneş enerjisiyle desteklenmiş absorbsiyonlu soğutma sistemlerinde düz kolektörler veya parabolik oluk tipte kolektörler kullanılabilir. Düz kolektörlerle elde edilen sıcaklıklar 100- 120°C ile sınırlıdır. Bu sıcaklık aralığında tek kademeli sistemlerin çalışması mümkün olmaktadır. Ancak parabolik oluk tipte kolektörlerle çizgisel odaklanma sayesinde 180-200°C sıcaklıklarına ulaşılabilir. Bu sıcaklık aralığında ise çift kademeli sistemlerin çalıştırılması daha ekonomik sonuç vermektedir. Çift kademeli absorbsiyonlu soğutma sistemlerinde performans sayısı değeri tek kademeli sistemlerin yaklaşık iki katıdır. Bu ise kullanılan teknolojiye göre 1,2 ile 1,8 arasında değişmektedir. Performans sayısının artmasıyla bu sistemlerin kullanılabilirliği, diğer klasik tip soğutma sistemlerine göre olan avantajları ve dezavantajları araştırılmaya başlanmıştır.

Şekil 3.5'te direkt ateşlemeli bir ASS'nin bağlantı şeması verilmiştir. Bu sistemlerde jeneratöre beslenen ısı, fosil yakıtların bir brülör vasıtasıyla yakılmasından elde edilmektedir



Şekil 3.5. Direkt ateşlemeli çift kademeli absorbsiyonlu soğutma sistemi



Şekil 3.6. Tek Kademeli ve çift Kademeli Sistemlerin Performans Sayılarının Karşılaştırılması (Yılmazoğlu, 2006)

Şekil 3.6'da teorik olarak tek kademeli ve çift kademeli sistemlerin performans sayılarının karşılaştırılması yük oranına göre verilmiştir. Yük oranlarına göre yapılan karşılaştırmada pratikteki değerler söz konusu olup daha gerçekçi sonuçlar elde etmemizi sağlar. Yani bir ASS'nin %100 kapasiteyle devamlı çalışmasının mümkün olmadığı gibi gerçekte bu değer normal çalışma esnasında %60'lar civarındadır. Eğer bu civardaki COP'ler karşılaştırılacak olursa yaklaşık 2 kat fark olduğu görülür. Bu ise çift kademeli sistemlerde aynı soğutma ihtiyacının daha düşük kapasiteli cihazlarla ve daha az yüzey alanlı kollektörlerle sağlanmasının mümkün olacağı sonucunu verir.

Bu ortalama yük oranı bulunurken aşağıdaki formül esas alınır.

$$OYO = \frac{1}{\frac{P_1}{A} + \frac{P_2}{B} + \frac{P_3}{C} + \frac{P_4}{D}} \quad (3.10)$$

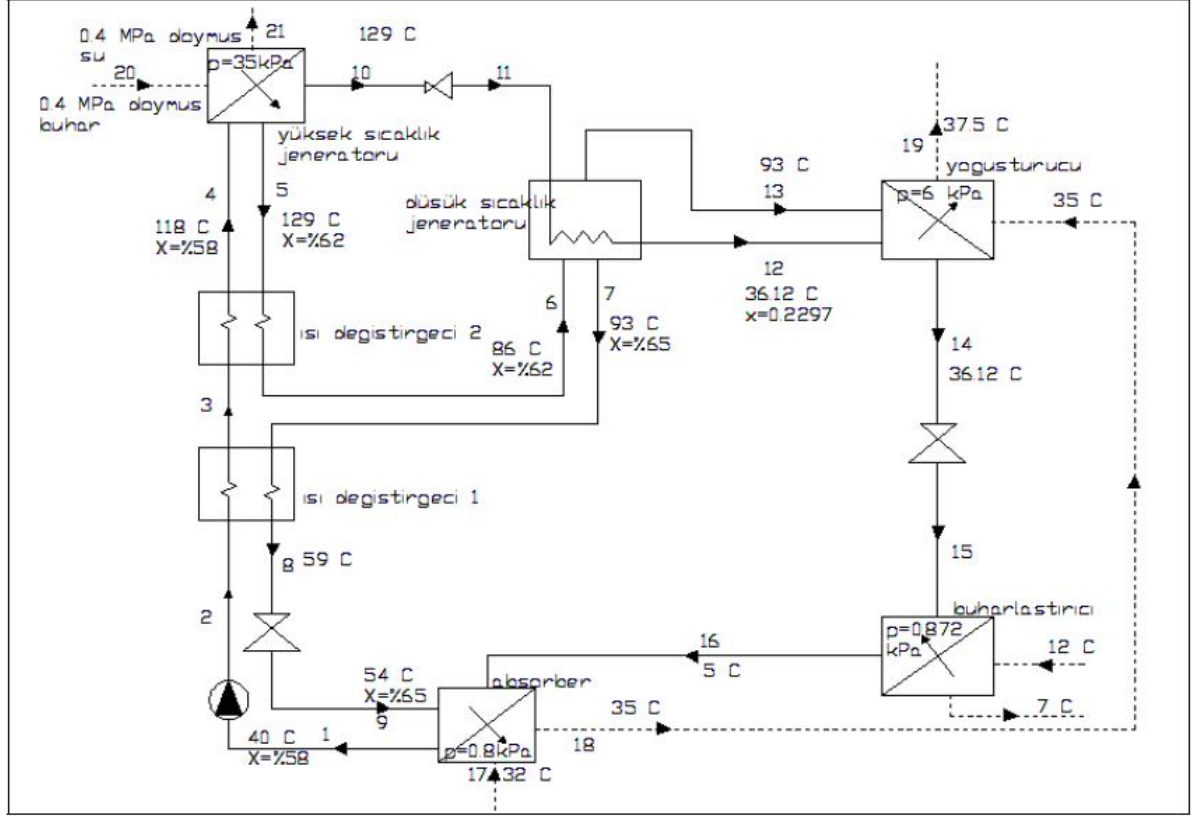
P: Sistemin % (100-75-50-25) yükte çalışma zamanı

A, B, C, D : Sistemin % (100-75-50-25) yükte soğutma yüküdür.

Böylece sistemin ilk yatırım maliyeti, kollektör maliyetinin yarı yarıya azalmasıyla, önemli ölçüde azalmış olacaktır. Parabolik tipte kollektörler, odaklanma neticesinde akışkanı daha yüksek sıcaklıklara çıkartarak sistemin verimini artırmaktadırlar.

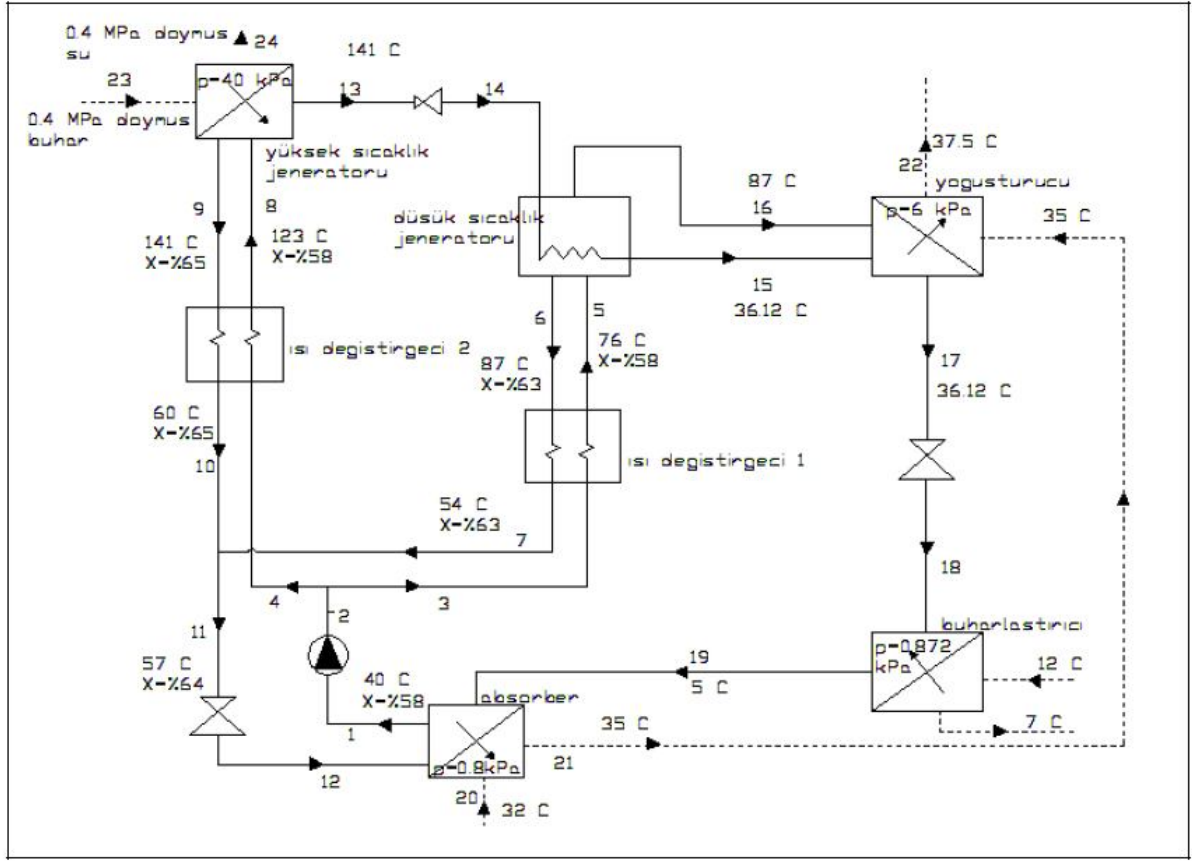
Çift kademeli absorpsiyonlu soğutma sistemleri çözeltinin akış tipine göre üç grup altında sınıflandırılıp incelenebilir. Bunlar;

Seri Akışlı: Absorberden çıkan çözelti sırayla düşük sıcaklık ısı değiştirgecine, yüksek sıcaklık ısı değiştirgecine, yüksek sıcaklık jeneratörüne, yüksek sıcaklık ısı değiştirgecine, düşük sıcaklık jeneratörüne ve buradan da yoğuşturucu tankı üzerinden düşük sıcaklık ısı değiştirgecine girerek absorbere gelir ve çevrimi tamamlar. (Şekil 3.7)



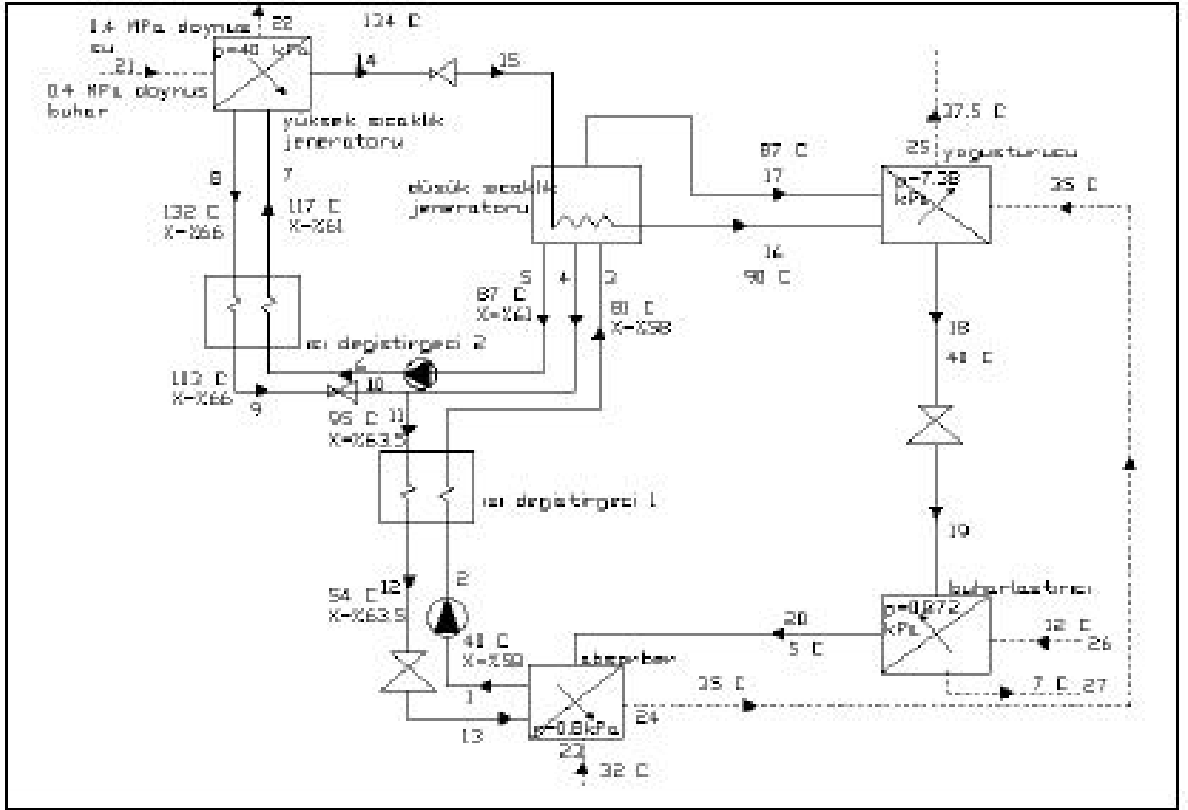
Şekil 3.7. Seri akışlı endirekt ateşlemeli çift kademeli ASS'nin bağlantı şeması

Paralel Akışlı: Absorberden çıkan çözelti yüksek sıcaklık ısı değiştirgeci üzerinden yüksek sıcaklık jeneratörüne, düşük sıcaklık ısı değiştirgeci üzerinden düşük sıcaklık jeneratörüne ayrı ayrı pompalanır. Her iki jeneratörde de konsantre hale gelen çözelti ısı değiştirgeçleri üzerinden tekrar absorbere döner (Şekil 3.8).



Şekil 3.8. Paralel akışlı çift kademeli ASS bağlantı şeması

Ters Paralel Akışlı: Absorben çözelti düşük sıcaklık ısı degiştirgeci üzerinden düşük sıcaklık jeneratörüne girer. Burada çözelti iki akıma ayrılır. Bu akımlardan biri sırayla yüksek sıcaklık ısı degiştirgecine, yüksek sıcaklık jeneratörüne, tekrar yüksek sıcaklık ısı degiştirgecine girer ve düşük sıcaklık jeneratöründen gelen diğer akımla birleşir. Birleşen akım düşük sıcaklık ısı degiştirgecine girer ve buradan da absorbere döner (Şekil 3.9).



Şekil 3.9. Ters Paralel akışlı çift kademeli ASS bağlantı şeması

4. PROJELENDİRME ÇALIŞMASI

Proje Katar'ın başkenti Doha'da (25° 17' 12 Kuzey enlemi, 51° 31' 60 Doğu Boylamı) uygulanmakta olup, projede yer alan beş binadan üç tanesi lüks apartman, iki tanesi ise otel olarak kullanılmak üzere tasarlanmıştır (Şekil 5.1). Toplam 240,000 m² üzerinde kuruludur. Vaziyet planı Ek1' de verilmiştir. Doha için en yüksek sıcaklık 42,8 °C Kuru Termometre 21,7 °C Yaş Termometre olarak en düşük sıcaklık ise 24,6°C Kuru Termometre 13,1 °C Yaş Termometre olarak kabul edilmektedir.

Binalar;

Circular Residential Tower, 22 katlı bina yaklaşık 29,000 m² apartman ve 15,000 m² otopark alanından oluşmaktadır. 125 apartman dairesi bir; iki ve üç odalı dairelerdir. Binada apartmanlar dışında kullanılan genel hacimler bulunmamaktadır.

Twin Residential Tower; 20 katlı iki simetrik binadan oluşan kısımda 78,000 m² apartman ve 16,000 m² otopark alanı bulunmaktadır. 296 apartman dairesi iki, üç ve dört odalıdır. Binalarda ayrıca ortak kullanım alanı olarak spor salonu, kafeterya ve toplantı salonları bulunmaktadır. İki binanın arasında 1,000 m² alana sahip kapalı bir balo salonu yer alır. Binaların ölçüleri 71.5m x 42m (2 adet).

5 Yıldızlı Otel; 14 katlı iki simetrik binadan oluşan 320 odalı otel yaklaşık 68,000 m² kapalı alan ve 34,000 m² otoparktan oluşmaktadır. 1200 kişi kapasiteli bir balo salonu da otele dahildir. ayrıca 5,000m² alana sahip bungalovlar otel kısmındadır. Binaların ölçüleri 62m x 20m (2 adet), 46m x 14m (2 adet); bungalovlar - 14m x 16m (10 adet)



Şekil 4.1. Binaların genel görünümü

Uygulanmakta olan projede enerji tüketimi incelenecek olan binalar projenin %58 ine tekabül eden apartman olarak kullanacak kısımlardır. Daha önceki yapılan literatür çalışmalarında uygulama için seçilen binaların soğutma yükleri bu projede kullanılacak binaların soğutma yükünün en fazla %25 i kadardır. Amaç, yüksek soğutma yükü olması durumunda da güneş enerjisi destekli soğutma grubu kullanılabilceğini göstermektir.

Bunun için iklim şartları incelendiğinde soğutma yükünün fazla olduğu göz önüne alınarak soğutma grubunda değişiklik yapılması düşünülmüştür. Yaz mevsiminin uzun sürmesi ve güneş ışınlarının dik olması nedeniyle LiBr-Su akışkan çifti kullanılan, absorpsiyonlu soğutma grubu seçilmesi öngörülmüştür.

Soğutma yükü hesabında belirleyici etkenin güneş radyasyonu olduğu görülmüştür. Öyle ki, dış sıcaklıklar itibariyle soğutma yükünün düşük olabileceği sanılan aylarda dahi, güneş radyasyonu sebebiyle anlık soğutma yükü ihtiyaçları yüksek çıkabilmiştir. Güneşlenme dolayısıyla olan ısı kazançlarına, iletimle olan ısı kazançlarının ve iç ortamda oluşan ısı kazançlarının da eklenmesiyle, soğutma yükü hesaplanmıştır Toplam soğutma kapasitesi Carrier HAP 4.31 programı ile tüm mahaller için saatlik olarak tek tek hesaplanmıştır ve maksimum yüke göre yeni bir soğutma grubu seçilmiştir.

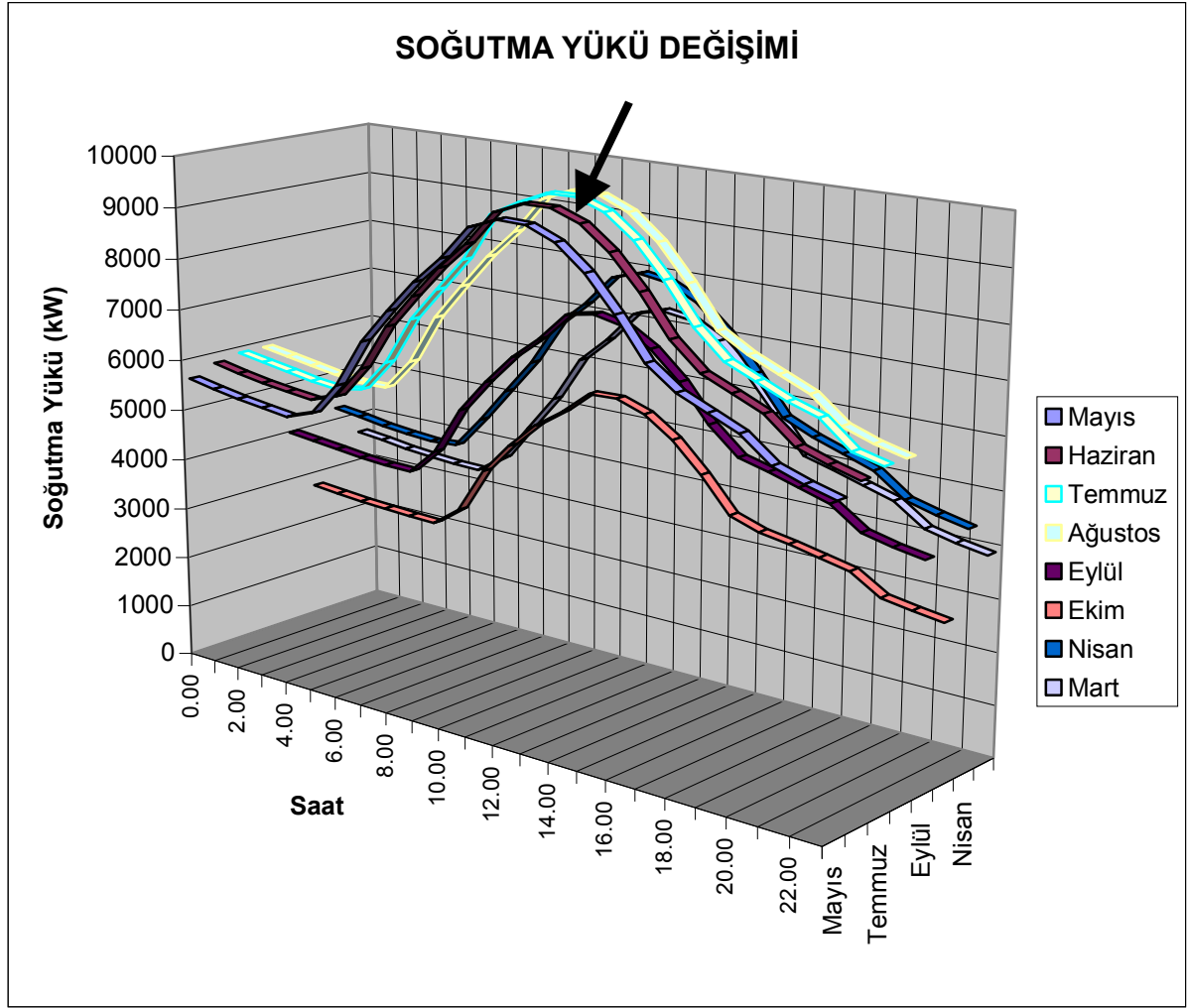
Sonuç olarak, aylık maksimum soğutma yükünün Temmuz ayında olduğu, maksimum soğutma yükünün 9980 kW, dizayn sıcaklığının da 46 °C olduğu belirlenmiştir. Binaların maksimum zamandaki toplam soğutma yükleri Çizelge 4.1’de verilmiştir.

Yapılan ısı kaybı ve soğutma yükü hesabından sonra elde edilen değerler göz önüne alınarak, soğutmanın 1 Mart – 31 Ekim arasında yapılmasının uygun olduğu görülmüştür. Bulunan bu soğutma yüklerinin aylık değerleri birlikte olarak Şekil 4.6’da gösterilmiştir.

Soğutma yükü fan coil ile sağlanacaktır. Fakat gerekli taze hava debisi için seçilen santrallerin ısı geri kazanımlı seçilmesi ile yapılacak tasarruf bir sonraki bölümde hesaplanmıştır. Seçilecek olan egzost fanları ve santrallerin sayısını azaltmanın ve enerji tasarrufunun proje maliyetine etkileri incelenmiştir.

SOĞUTMA YÜKÜ				
	Açıklama	Katlar	Soğutma yükü (kW)	Ekipman İsmi
1	Apartman Soğutma Y.	1-18	4536	FCU
2	Taze Hava Gereksinimi	1-9	1027.2	Santral
3	Taze Hava Gereksinimi	10-18	1152	Santral
4	Koridor Taze Hava G.	10-18	987.2	Santral
5	Balo Salonu Mutfağı	GF	236	Santral
6	Balo Salonu	GF	460.8	Santral
7	Transformer Odaları	B	264	Santral
8	Ana Elektrik Odaları	B	132	Santral
9	Telekom Odası	B	48	Santral
10	BMS Odası	B	8.3	FCU
11	IDF Odası	B	209	FCU
12	Depolar	B	166	Santral
13	Mezzanine Teknik Oda	M	214	Santral
14	GYM	2	207	Santral
15	Kafeterya	2	86	Santral
16	VIP Lounge	GF	70	Santral
17	Tower Lobby/Lounge	GF	55	Santral
18	Tower Lobby/Lounge	GF	61	Santral
19	Toplantı/ Oditoryum	GF	69	Santral

Çizelge 4.1. Soğutma grubunun seçildiği zamandaki mahallerin toplam soğutma yükleri



Şekil 4.2. Toplam soğutma yükünün saatlik değışimi

Şekil 4.3’de şematik resmi mevcut olan sistemin modellenmesi için birkaç kabulün yapılmasına ihtiyaç vardır.

İncelenen sistem analizinde aşağıdaki kabuller yapılmıştır.

- Sürekli akışlı bir sistemdir. Soğutucu akışkan olarak saf su dolaştırılmaktadır.
- Denge halindeki sistemin parametreleri arasında $t_{\text{Generator}} > t_{\text{Yoğuşturucu}} > t_{\text{Absorber}} > t_E$ şartı mevcuttur.
- Generatörden çıkan soğutucu akışkan buharı saf su olup, $x=1$ kuruluk derecesinde ve generatör sıcaklığında generatörü terk etmektedir.
- Yoğuşturucudan doymuş sıvı şartında çıkan soğutucu akışkan buharı saf su olup, $x=0$ kuruluk derecesindedir.
- Buharlaştırıcıdan çıkan soğutucu akışkan, doymuş buhar şartında ve buharlaştırıcı sıcaklığındadır.
- Sistem elemanlarından kısılma vanaları adyabatik proseslerdir.
- Çözelti pompasının neden olduğu sıcaklık ve entalpi artışı ihmal edilmiştir.
- Sistemden çevreye olan ısı kayıpları ihmal edilmiştir.

- Absorberden çözelti pompasına giren LiBr bakımından fakir çözelti ve generatörü terk edip, ısı deęiřtiriciye giren zengin çözelti, doymuř sıvı fazındadır.
- Absorber, generatör, buharlařtırıcı, yoęuřturucu ierisinde ve boru donanımında basın kaybı meydana gelmemektedir.

Mevcut absorpsiyonlu soęutma cihazlarının, güneř enerjisi destekli soęutma sisteminde kullanılması için dūřünölen sistemin katalog verileri ařaęıdadır.

Marka: Trane

Kapasite: 4991 kW

Adet: 1

COP: 1.19

Buhar Debisi: 1,27 kg/kW-h

Soęutma Suyu Debisi: 770 m³/h

Buhar basıncı: 0,827 Mpa

Soęuk su giriř / ıkıř sıcaklıęı: 29,44 /36,8 °C

NOKTA	P(kPa)	T (C)	X(%)	Hal	h(KJ/kg)	m (kg/sn)
1	0,63	35	61	ç	106,061	39.085494
2	-----	35	61	ç	106,061	39.085494
3	6,6816	82	61	ç	198,48	39.085494
4	6,6816	88	63,2	ç	218,74	18.862461
5	6,6816	88	63,2	ç	218,74	18.862461
6	-----	88	63,2	ç	218,74	18.862461
7			63,2	ç		18.862461
8		149	65,85	ç	342,424	18.102114
9	-----		65,85	ç	252,273	18.102114
10	6,6816	98,6	65,85	ç	252,273	18.102114
11	6,6816	92	64,5	ç	234,848	36.964575
12	6,6816	61	64,5	ç	196,969	36.964575
13	0,63	44	64,5	ç	196,969	36.964575
14		149	-	kb		0.7603473
15	6,6816		-	kb		0.7603473
16	6,6816	38	-	dsbk	1161,12	0.7603473
17	6,6816	88	-	kb	2667,5	1.360571
18	6,6816	38	-	ds	159,214	2.1209183
19	0,9432	6	-	dsbk	159,214	2.1209183
20	0,9433	6	-	db	2512,44	2.1209183
21	827	174	-	db	2772,62	117.01684
22	827	174	-	ds	2736,78	117.01684
23	-----	29	-	ss	121,61	405.07819
24	-----	34	-	ss	142,502	405.07819
25	-----	36	-	ss	150,858	405.07819
26	-----	12	-	chwr	50,39	215.14461
27	-----	7	-	chws	29,39	215.14461

Çizelge 4.2. ASS'nin termodinamik değerleri

Buharlaştırıcı enerji ve kütle dengesi

$$Q_B = m_{chw} C_{pchw} \Delta T_{chw} = m_{20}h_{20} - m_{19}h_{19} = m_{20} (h_{20} - h_{19}) \quad (4.1)$$

$$Q_B = 4991 \text{ kW}$$

$$C_{chw} = 4,195 \text{ kJ/kgK}$$

$m_{su} = 215,1446 \text{ kg/s}$ = olarak bulunur.

$h_{20} = 2512,44 \text{ kJ/kg}$ (6°C 'deki doymuş buhar) (Bkz. Çizelge 4.1)

$h_{19} = 159,214 \text{ kJ/kg}$ (38°C 'deki doymuş su buhar karışımı), ($h_{18} = h_{19}$)

$m_{19} = m_{18} = m_{20} = Q_B / (h_{20} - h_{19}) = 2,121 \text{ kg/sn}$ olarak bulunur.

Absorber enerji ve kütle dengesi

Enerji dengesi;

$$Q_A = m_1 h_1 - m_{13} h_{13} - m_{20} h_{20} = m_{ss} C_p \Delta T \quad (4.2)$$

Soğutma suyu sistem giriş (soğutma kulesi çıkış) sıcaklığı : 29°C

Soğutma suyu sistem çıkış (soğutma kulesi giriş) sıcaklığı : 34°C

Kütle dengesi;

$$m_1 X_1 = m_{13} X_{13} \quad (4.3)$$

$$m_1 = m_{13} + m_{20}$$

Eşitlik 4.3'de m_1 , Eşitlik 4.2'de yerine yazılırsa,

$$(m_{13} + m_{20}) X_1 = m_{13} X_{13} \quad (4.4)$$

$$m_{20} X_1 = m_{13} (X_{13} - X_1) \quad (4.5)$$

$$m_{13} / m_{20} = X_1 / (X_{13} - X_1)$$

Buharlaştırıcının analizinden elde edilen m_{20} ve f , Eşitlik 4.3'de yerine yazılırsa,

$$m_{13} = f m_{20} \quad (3.85) \quad (4.6)$$

$m_{13} = m_{11} = m_{12} = 39,965 \text{ kg/s}$ olarak bulunur.

m_{13} ve m_{20} bilindiğine göre, Eş.4.2'de yerine yazılarak m_1 , m_2 ve m_3 hesaplanır.

$$m_1 = 39,085 \text{ kg/sn} = m_2 = m_3$$

Bulunan m değerleri ve h değerleri Eş.4.2'de yerine yazılırsa;

$$Q_A = -8464,109 \text{ kW} \text{ olarak bulunur.}$$

Bu, absorberden 8464,109 kW'lık ısınmın çekilmesi gerektiğini gösterir. Bu ısıyı çekecek soğutma suyu debisi ise Eş. 4.7 kullanılarak hesaplanır.

$$m_{ss} = \frac{Q_A}{C_p \cdot \Delta T} \quad (4.7)$$

$$m_{ss} = 405,078 \text{ kg/sn}$$

Yoğuşturucu enerji ve kütle dengesi

Eş. 4.7'den hesaplanan soğutma suyu debisi, yoğuşturucudan da ısı çekecektir. Bu nedenle Eş.4.8'de $m_{ss}=405,078 \text{ kg/sn}$, $C_p = 4,179 \text{ kJ/kg K}$ ve $\Delta T=2 \text{ K}$ olarak alınırsa,

$$Q_Y = m_{18}h_{18} - (m_{16}h_{16} + m_{17}h_{17}) = m_{ss} C_p \Delta T \quad (4.8)$$

$$Q_Y = 3385,644 \text{ kW}$$

Yüksek Sıcaklık Jeneratörü kütle ve enerji dengesi

$$Q_{DSJ} = m_4 h_4 + m_5 h_5 + m_{17} h_{17} - m_3 h_3 \quad (4.9)$$

$$m_3 X_3 = 2m_4 X_4 = 2m_5 X_5 \quad (4.10)$$

$$m_4 = \frac{m_3 X_3}{X_4} \text{ ve } m_5 = \frac{m_3 X_3}{X_5} \quad (4.11)$$

Çizelge 4.1'den derişim değerleri ve m_3 değeri Eş. 4.11'de yerine yazılırsa, m_4 ve m_5 , m_3 cinsinden bulunabilir.

$$m_4 = 18,862 \text{ kg/s}$$

$$m_3 = m_4 + m_5 + m_{17} \quad (4.12)$$

$$m_4 = 1,361 \text{ kg/s}$$

Yoğuşturucu kütle dengesi tekrar yazılarak;

$$m_{16} = m_{18} - m_{17}$$

$m_{16} = 0,760$ kg/sn olarak bulunur.

Eş. 4.12'den hesaplanan debiler ve Çizelge 4.1'den alınan entalpiler yerine yazılırsa,

$Q_{DSJ} = 4123,584$ kW olarak bulunur.

Yüksek Sıcaklık Jeneratörü kütle ve enerji dengesi

$$COP = Q_{buh} / Q_{YSJ} \quad (4.13)$$

$$Q_{YSJ} = 4991 / 1,19 = 4194,118 \text{ kW}$$

$$m_8 X_8 = m_7 X_7$$

$$X_8 = 65,85$$

$$Q_{YSJ} = (m_8 h_8 + m_{14} h_{14}) - m_7 h_7 = m_{21} (h_{21} - h_{22}) \quad (4.14)$$

$$m_5 = m_7 \text{ ve } m_{16} = m_{14}$$

$$m_7 = m_8 + m_{14} \quad (4.15)$$

$$m_8 = 18,102 \text{ kg/sn}$$

$m_{21} = 117,017$ kg/s olarak gerekli buhar debisi bulunur.

5. GÜNEŞ KOLLEKTÖRLERİ

Kollektörler şu şekilde sınıflandırılabilir.

1- Düz tip güneş kollektörleri

2- Yoğunlaştırıcı tip güneş kollektörleri

Düz tip güneş kollektörleri, imalatı ve uygulaması kolay, maliyeti yoğunlaştırıcı tipe oranla daha az olmasına rağmen elde edilen su sıcaklığının 100°C' yi aşamaması nedeniyle genellikle düşük sıcaklık uygulamalarında kullanılır. Düz tip kolektörler sistem yapılarında çeşitli düzenlemelerle (dış tarafa taşınım olan ısı kaybının azaltılmasıyla, yüzey emiciliğinin artırılmasıyla, akışkana ısı transferinin artırılmasıyla) günümüzde daha verimli hale getirilmiş fakat bu durumda ise sistemin toplam maliyeti artmıştır.

Akışkan sıcaklığının 100°C civarında olması gerekiyorsa vakumlu tipte kolektörler de kullanılır. Akışkan sıcaklığı 100°C'yi geçmemesine rağmen düz kolektörlerin de kullanım alanına göre birçok avantajı mevcuttur. En önemlisi ise yayılı (difüz) ışımdan faydalanmaları ve imatlarının çok daha basit ve ucuz olmasıdır. Düz kollektörlerde en önemli etkenlerden birisi de saydam örtüdür. Saydam örtü güneşten gelen kısa dalga boylu (0,3-3µm) ışınları geçirip, emici yüzeyden yansıyan uzun dalga boylu (3-50µm) ışınları geçirmemelidir. Bu ise camın içindeki demir-oksit miktarına bağlıdır. Demir-oksit miktarı arttıkça geçirme oranı azalır. Emici yüzeyde ise yutma oranı yüksek, yayma oranının ise az olması gerekir.

Yoğunlaştırıcı tip güneş kollektörleri ise daha çok orta ve yüksek sıcaklık uygulamalarında kullanılmaktadır. Bu kollektörlerde elde edilen akışkan sıcaklıkları yüksek olup verimleri daha yüksektir. Bu kollektörlerin imalatı ve maliyeti yüksektir. Bu kollektörler kendi aralarında ışınmı tek noktaya toplayan ve ışınmı bir doğru üzerine toplayan kollektörler olarak ayırabiliriz. Orta sıcaklık uygulamalarında daha çok ışınmı bir doğru üzerine toplayan kollektörler tercih edilirken, yüksek sıcaklık uygulamalarında ise (güneş fırını) ışınmı tek bir noktaya toplayan kollektör tipi tercih edilir.

Yoğunlaştırıcı tip güneş kollektörlerinde güneş ışınmının düştüğü net alana açıklık, bu ışınmın yansıtıldığı yüzeye ise alıcı yüzey denilir. Açıklık alanına düşen güneş ışınmıyla, doğruya yoğunlaştırmada 120-300°C akışkan sıcaklığı elde edilirken, noktaya yoğunlaştırmada 1100-1400°C sıcaklıkları elde edilebilir. Yoğunlaştırıcı sistemlerde maliyeti arttırıcı en önemli unsurlardan birisi de güneşi takip mekanizmasıdır. Takip işlemi çok büyük

hassasiyet gerektirmekte olup küçük sapmalar bile büyük kayıplara neden olabilir. Şekil 5.1’de POGK’nin işletme sırasında güneş tepedeyken çekilmiş hali görülmektedir.



Şekil 5.1. POGK’ların genel görünümü

Sistemde kullanılmak üzere parabolik kolektör seçilmiştir. Soğutma sezonu boyunca güneş kolektörlerinden sağlanan faydalı enerji ve buna bağlı olarak çalıştırılan sistemin termodinamik analizi gerçekleştirilmiştir. Güneşin ve dünyanın bir takım hareketleri sonucu yıl boyunca farklı noktalardan doğup, farklı noktalardan battığı bilindiğinden, bunun sistem üzerindeki etkisi hesaba katılmıştır. Hesap için Solitem firması tarafından imalatı yapılmış olan bir parabolik oluk tip güneş kolektörü için tasarım değerleri belirtilmiştir.

Toplam kolektör uzunluğu : 5000 mm

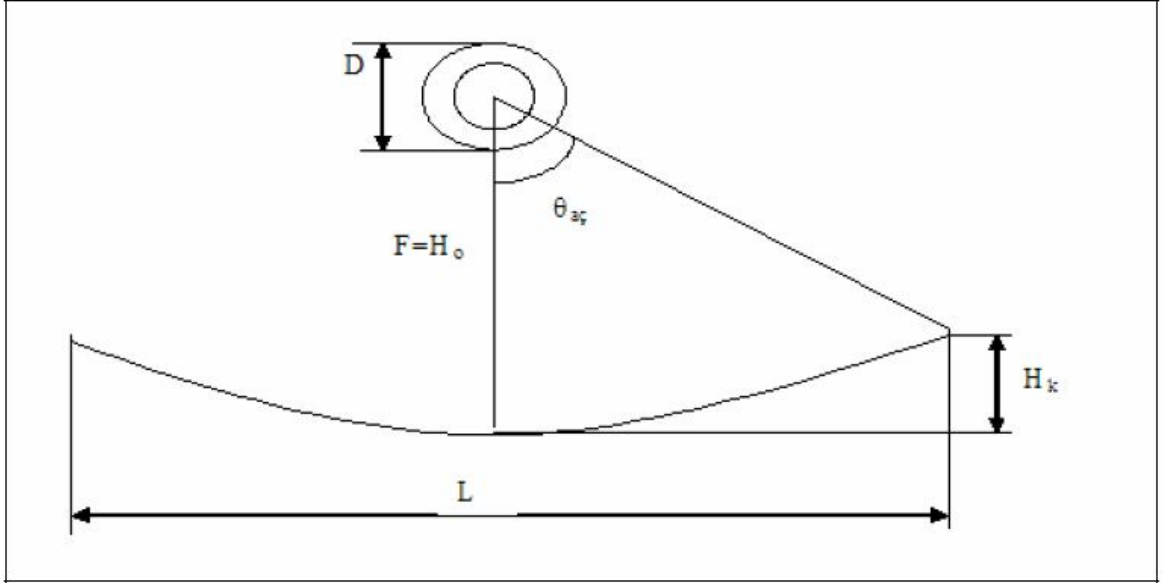
Toplam açıklık (L) : 1800 mm

Toplam yükseklik (Hk) :260 mm

Odak çizgisi uzaklığı (Ho) :780 mm

Emici boru dış çapı (D) :38,1 mm

Açıklık açısı ($\theta_{aç}$) :60°



Şekil 5.2.Parabolik oluk tip güneş kolektörünün temel geometrik ölçüleri

Yukarıdaki veriler ışığında geometrik yoğunlaştırma oranını hesaplırsak;

$$A_{a\check{c}} = 1,8 \times 5 = 9 \text{ m}^2$$

$$A_{e\check{c}} = \pi \times 0,0381 \times 5 = 0,5984734 \text{ m}^2$$

$$Y_{Og} = A_{a\check{c}} / A_{e\check{c}} = 9 / 0,5984734 = 15,04 \text{ olarak bulunur.}$$

Sistemin yapısının hafifletilmesi için taşıyıcı elemanlar alüminyumdan imal edilmiş olup binaların çatılarına da uygulanabilecek duruma getirilmiştir. Yansıtıcı yüzey ise % 88 yansıtma oranına sahip 0,5 mm kalınlığındaki alüminyum sac levhadan yapılmıştır. Parabolik yansıtıcı yüzeyin yüzey fonksiyonu

$$y = x^2 / 4F \text{ olarak verilmiştir.} \quad (5.1)$$

Burada $F = 780 \text{ mm}$ olduğuna göre yüzey fonksiyonu;

$$y = x^2 / 3120 \quad (5.2)$$

olacaktır.

Yüzey bu denklem esas alınarak imal edilmiştir. Emici yüzeyde ise CrNi çelik boru seçilmiş ve üzeri elektro-daldırma yöntemiyle, özel işlenmiş krom seçici yüzeyle kaplanmıştır. Boru dış çapı 38,1 mm, boru et kalınlığı 1,25 mm ve yutuculuğu % 95'in üzerinde olup 100°C '

deki yayıcılığı % 18' in altındadır.

Borudan ortama konveksiyonla olabilecek ısı kayıplarını azaltmak amacıyla emici yüzeyin üzerine geçirilen cam borunun çapı 65 mm, et kalınlığı 2,2 mm ve geçirgenliği % 92 olan düşük demir içerikli borosilikat boru kullanılmıştır.

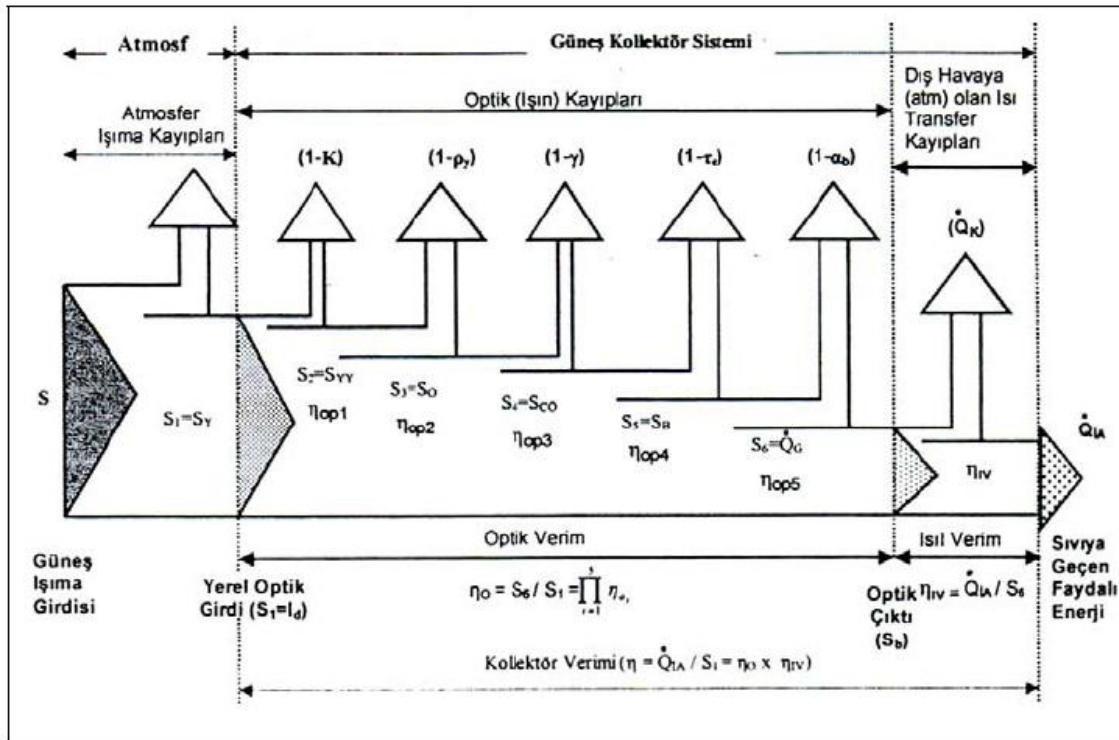
Yoğunlaştırıcı tip güneş kolektörleriyle ilgili optik analizi yapabilmek amacıyla ışın-ısı enerji akış şeması Şekil 5.2'de verilmiştir. Burada optik verimi hesaplayabilmek için temel denklemler yazılırsa;

$$Q_{iA} = Q_G - Q_K \quad (5.3)$$

denklemin ışın akışkanına aktarılan net ısı enerjisidir. Q_G , güneş ışınlarından emilerek ısıya dönüşen enerji ve Q_K ise kayıp enerjini ifade etmektedir. Q_G şu şekilde açılırsa,

$$Q_G = S_1 \times \eta_{op} \quad (5.4)$$

elde edilir. Buradan da görüldüğü gibi optik verim güneş ışınlarının emilmesinde rol oynamaktadır.



Şekil 5.3. Parabolik oluk tip güneş kolektörü ışın-ısı akış şeması

Şekilden de görüleceği gibi sistemin optik verimi K, p_y , γ , τ_c , α_b gibi etkenlere bağlıdır. Bu

etkenlerden;

K: Gelme Açısı Düzeltme Faktörü; olup güneş takip mekanizmasının verimini tanımlar. Doğu- batı yönünde tek eksenli bir takip için $K=0,95$, tüm yönlerden takip durumunda ise $K=1$ alınabilir. Ancak sistemin ilk kurulduğu zamanki K değeriyle daha sonraki değerler arasında fark oluşacağı muhakkaktır. Bu nedenle sistemin periyodik olarak kontrol edilmesi gerekmektedir.

ρ_y : Yansıtıcı Yüzey Işın Yansıtma Verimi; olup direkt olarak yüzey yansıtma değerini göstermektedir. (özel cilalı ince alüminyum tabaka (alanod) $=0,88$)

γ : Kesişim Faktörü; olup yüzey kirliliği gibi etkenlerin verimini ifade eder. Tozsuz ortamlar için bu değer $0,95$ alınabilir.

τ_c : Cam Boru Işın Geçirgenliği; olup ışın geçirgenlik optik verimini verir.

α_b : Emici Boru Işın Yutuculuk Değeri; olup emici borunun malzemesine bağlı olarak ışın yutma optik verimini verir.

Optik verim ise tüm bu etkenlerin birleşimiyle ortaya çıkmaktadır.

$$op \eta = K. \rho_y. \gamma. \tau_c. \alpha_b \quad (4.9) \quad (5.5)$$

olarak formüle edilir. Optik verim hesaplama programında $K=0,95$, $\rho_y=0,88$ (yansıtıcı yüzey özelliği), $\gamma=0,95$, $\tau_c=0,92$ (cam boru özelliği), $\alpha_b=0,94$ (emici boru özelliği) olarak alınmış ve bu değerlerin olduğu bir andaki $op \eta =0,687$ olarak hesaplanmıştır. Çarpanlardan da görüldüğü üzere optik verim dinamik bir büyüklüktür ve birçok özelliğe bağlıdır. Bu nedenle malzeme yüzeylerinin deforme edilmeden bakım işlemleri gerçekleştirilmelidir. Aksi takdirde sistemimizin optik veriminde büyük miktarlarda azalmalar olacaktır ve bu da iş akışkanına aktarılan ısıyı etkileyecek ve sistemin toplam verimi çok düşecektir.

5.1 Yoğunlaştırıcı tip güneş kolektörleri ısıl analizleri

POGK'lerinin ısıl analizi yapılırken, kolektör verim faktörü aşağıdaki gibi tanımlanır.

Kolektör verim faktörü F;

$$F=U_o / U_L \quad (5.6)$$

olarak belirtilmiştir. Burada U_o kolektör etkin ısıl kayıp katsayısını, U_L ise toplam ısı kayıp katsayısını göstermektedir.

Isıl verimi etkileyen faktörler,

$\eta = f(I_d, T_a, L_k, T_g, T_c, t_b, t_c, k_b, \epsilon_b, \alpha_b, \tau_c, \epsilon_c, W_k, D_{cd}, D_{bd}, V_{rr}, \gamma, K, \rho_y, m)$ 'dir.

İş akışkanına aktarılan net ısı Q_{iA} ile sembolize edilmiştir.

$$Q_{iA} = m_{ss} \times C \times \Delta T \quad (5.7)$$

Kollektör üzerine düşen ısı miktarı ise Q_G ile gösterilirse,

$$Q_G = \eta \rho_p \times I_d \times A_{ga\ç} \quad (5.8)$$

olarak yazılır. Burada I_d direkt ışınımı, $A_{ga\ç}$ ise gölgelenmeyen açıklık alanını göstermektedir.

$$A_{ga\ç} = L_K \times (W_K - D_{cd}) \quad (5.9)$$

olarak belirtilir. L_K kollektörün boyu, W_K kollektörün eni ve D_{cd} ise cam boru dış çapını belirtmektedir. Q_K ise,

$$Q_K = U_L \times A_{bd} \times (T_{bd} - T_A) \quad (5.10)$$

olarak yazılabilir. Bu denklemde A_{bd} emici boru dış yüzey alanını, T_{bd} emici boru dış yüzey sıcaklığını, T_A ise ortam sıcaklığını ifade etmektedir. Bu denklemde ısı transferiyle ilgili en önemli parametre U_L olup aşağıdaki gibi bulunur.

$$U_L = \left[\left(\frac{1}{h_{k,b-c} + h_{r,b-c}} \right) + \left(\frac{A_{bd}}{A_c} \right) \cdot \left(\frac{1}{h_{r,c-a} + h_{k,c-a}} \right) \right]^{-1} \quad (5.11)$$

$h_{k,b-c}$: Seçici yüzeyli emici boru yüzeyi ile cam boru arasındaki taşınım ısı transfer katsayısıdır.

$$h_{k,b-c} = \frac{2k_e}{(D_{bd} \cdot \ln(D_c / D_{bd}))} \quad (5.12)$$

formülüyle hesaplanır. Burada k_e etkin iletim katsayısı olup Gr ve Pr sayılarına bağlı olarak değeri bulunur.

$$\text{Gr} \times \text{Pr} < 10^3 \text{ ise } k_e = k_a \quad (5.13)$$

$$\text{Gr} \times \text{Pr} > 10^3 \text{ ise } k_e = 0,11 \times k_a \times (\text{Gr} \times \text{Pr})^{0,29} \quad (5.14)$$

alınabilir. k_a ve Pr iki boru arasındaki ortalama hava sıcaklığı için tablolardan bulunur. Gr için ise aşağıdaki formül kullanılır.

$$Gr = \frac{g \cdot \beta \cdot (T_{bd} - T_c) \gamma^3}{\nu^2} \quad (5.15)$$

Bu denklemde g , yerçekimi ivmesi, β hacimsel genleşme katsayısı, ν havanın ortalama sıcaklıktaki kinematik viskozitesini ve γ ise cam boru ile emici yüzey arasındaki mesafeyi göstermektedir.

$h_{r,b-c}$: Seçici yüzeyli emici boru yüzeyi ile cam boru arasındaki ışıınım katsayısı

$$h_{r,b-c} = \frac{\sigma \cdot (T_c^2 + T_{bd}^2)(T_c + T_{bd})}{(1/\epsilon_b) + (D_{bd}/D_c) \left(\frac{1}{\epsilon_c} - 1 \right)} \quad (5.16)$$

$h_{k,c-a}$: Cam örtü ile dış hava arasındaki rüzgara bağlı zorlanmış taşınım ısı transferi katsayısı

$$h_{k,c-a} = \frac{k_a}{D_{cd}} \cdot Nu \quad (5.17)$$

olarak hesaplanır. Nu sayısının hesaplanmasında Re sayısına ihtiyaç vardır. Re sayısının değerine göre Nu sayısı hesaplanır.

$$Re = \frac{V_r \cdot D_{cd}}{\nu_a} \quad (5.18)$$

olarak bulunur. Bu denklemde V_r rüzgarın hızı [m/s], ν_a [m²/s] ise havanın ortalama sıcaklıktaki (cam sıcaklığı ve çevre sıcaklığının aritmetik ortalaması) kinematik viskozitesidir.

Bu değerlerin yerine yazılmasıyla elde edilecek Re sayısını

$$0,1 < Re < 1000 \text{ ise; } \quad Nu = 0,4 + 0,54 Re^{0,52}$$

$$1000 < Re < 50000 \text{ ise; } \quad Nu = 0,3 Re^{0,6}$$

yukarıda belirtilen aralıkların hangisine denk geliyorsa o Nu sayısı formülü kullanılarak Nu sayısı değeri bulunur. Bulunan bu değer, daha sonra $h_{k,c-a}$ 'da yerine yazılarak bir $h_{k,c-a}$ değeri elde edilir.

$h_{r,c-a}$: Cam örtü ile dış hava arasındaki ışıınım eşdeğer taşınım katsayısı olup cam örtü üzerindeki ortalama hava sıcaklığı için çıkartılmıştır.

$$h_{r,c-a} = 4 \cdot \sigma \cdot \epsilon_c \bar{T}^3 \quad (5.19)$$

olarak bulunur. \bar{T} ortalama sıcaklık olup,

$$\bar{T} = \frac{T_a + T_c}{2} \quad (5.20)$$

olarak hesaplanır. Burada σ , Stefan-Boltzman sabiti ($5,669 \times 10^{-8}$ [W/m²K⁴]) ve ϵ_c , cam örtünün ısı yayıcılığıdır.

Eğer emici boru yüzeyindeki sıcaklık dağılımı da dikkate alınacak olursa U_L yerine toplam ısı transferi katsayısı olarak kullanabileceğimiz U_o tanımlanmalıdır.

$$U_o = \left[\frac{1}{U_L} + \frac{D_{bd}}{h_f D_{bt}} + \frac{D_{bd} \ln(D_{bd} - D_{bt})}{2k_b} \right]^{-1} \quad (5.21)$$

olarak verilmiştir. Burada h_f boru iç yüzeyindeki iş akışkanını ısı taşınım katsayısı ve k_b seçici yüzeyli emici borunun ısı iletim katsayısıdır. h_f 'nin hesaplanmasında akışın laminar veya türbülanslı olması durumunda önemli rol oynar. Eğer boru içindeki akışta $Re < 2300$ ise laminar, $Re > 2300$ ise türbülanslı akış kabul edilir. Düz yüzeyli borularda türbülanslı akış için önerilen ampirik ifadeden,

$$Nu = 0,023 (Re)^{0,8} (Pr)^{0,4} \quad (5.22)$$

Nu sayısı hesaplanarak h_f değeri bulunur.

Birim kollektör uzunluğunda iş akışkanına aktarılan ısı,

$$Q_{iA} = \frac{A_{gaç} I_d \eta_{op}}{L_K} - \frac{A_{bd} U_L}{L_K} + (T_{bd} - T_a) \quad (5.23)$$

ile hesaplanır. Ancak bu formülde T_{bd} 'nin bilinmesi çok zordur. Bu nedenle T_{bd} yerine iş akışkanını giriş sıcaklığı yazılarak daha kolay hale getirilir. Ancak T_g değerinin kullanılabilmesi için kollektör verim faktörü F' , ısı kazanç faktörü F_R veya akış faktörü F_F 'in bilinmesi gerekmektedir.

Kollektör verim faktörü F'

$$F' = \frac{U_o}{U_L} \quad (5.24)$$

olarak tanımlanır. Kollektör ısı kazanç faktörü F_R ise,

$$F_R = \frac{m C_s}{A_{bd} U_L} \left(1 - \exp \left(- \frac{A_{bd} U_L F'}{m C_s} \right) \right) \quad (5.25)$$

olarak tanımlanır. Kollektör akış faktörü F_F ile diğer terimler arasındaki bağıntı ise şu şekilde verilebilir.

$$F_F = F_F / F' \quad (5.26)$$

Bu tanımlardan sonra iş akışkanına aktarılan faydalı enerji;

$$Q_{iA} = FR A_{gaç} \left(q_G - \frac{A_{bd}}{A_{gaç}} U_L (T_g - T_a) \right) \quad (5.27)$$

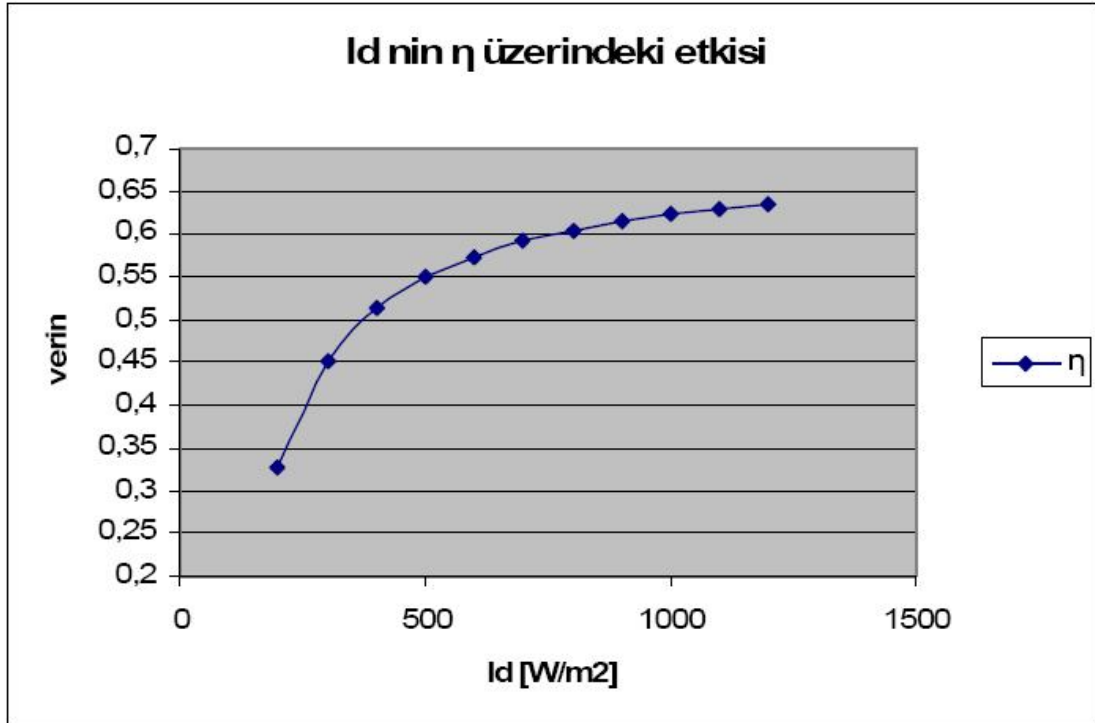
olarak bulunur.

Burada $q_G = I_d \times \eta_{op}$ ve T_g ise akışkanın kollektöre giriş sıcaklığıdır.

Daha sonra kollektör için verim ifadesini tanımlarsak;

$$\eta = \frac{Q_{iA}}{A_{aç} I_d} \quad (5.28)$$

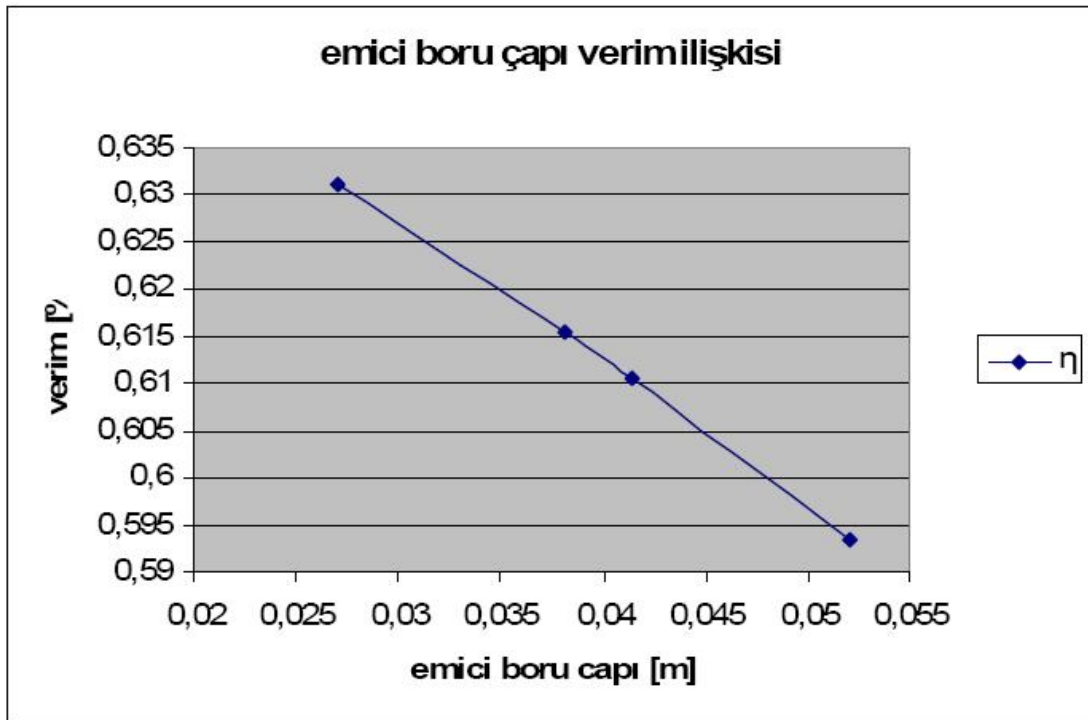
şeklinde bir eşitlik elde ederiz. Aşağıdaki grafiklerde verimin bazı değişkenlere göre nasıl değişiklik gösterdiği incelenmiştir.



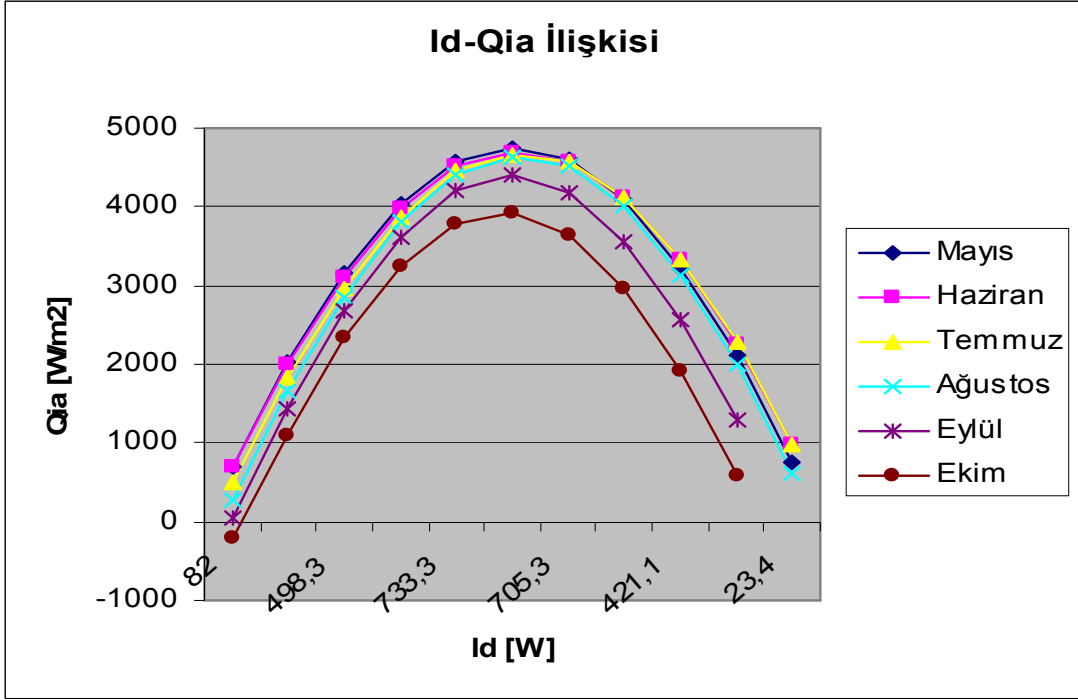
Şekil 5.4. Direkt ışıınım verim ilişkisi (Yılmazoğlu, 2006)



Şekil 5.5. Çevre sıcaklığı verim ilişkisi (Yılmazoğlu, 2006)



Şekil 5.6. Emici boru çapı verim ilişkisi (Yılmazoğlu, 2006)



Şekil 5.7. Direkt ışınım ve iş akışkanına aktarılan enerji arasındaki ilişki

5.2 Absorbsiyonlu Soğutma Sistemi ve Parabolik Oluk Tip Güneş Kollektörlerinin Beraber Uygulanması

ASS ve POGK sistemlerini beraberce kullanarak, ısıtma soğutma işlemi yapıлып, ısıtma-soğutma işlemlerine gerek duyulmadığı zamanlarda ise işletmenin sıcak su ihtiyacının karşılanması hedeflenmiştir. Bu sistemde dört ana grup vardır. Bunlar; kollektör devresi (kızgın su), buhar devresi, soğutma grubu devresi ve taze su ısıtma devresidir. Kollektör devresinde suyun giriş ve çıkış sıcaklıkları arasındaki fark 25°C olacak şekilde hesaplanacaktır. Kollektör boyu 5 metre ve eni 1,8 metredir. Bu devrede maksimum çalışma basıncı 12 bar'dır. Kollektörler güneşi doğu-batı ekseninde takip edecek şekilde otomasyonu yapılacak, kollektörlerin rüzgar, ani yağmurlar gibi dış etkenlere maruz kalmamaları için 270° dönebilecek şekilde dizaynı yapılacaktır. Kollektör devresine 6 bar 155°C' de giren su, doğrusal odaklanmış POGK'lerden geçirilerek basınç ve sıcaklığı sırayla, 12 bar ve 180°C' ye çıkarılacaktır.

Buhar üreticinde üretilen buhar absorpsiyonlu soğutma devresini ve diğer işlevlerini yerine getirecek şekilde dizayn edilecektir. absorpsiyonlu gruba girecek olan buhar 174°C'de ve 0,827 MPa basınçta olacaktır. ASS sisteminde kullanılan buhar, kondens halinde 174°C' de tekrar buhar üreticine dönecektir.

Kollektör devresinin güneşi izlemesi en önemli parametrelerden birisidir. Bu izleme ve kontrol sistemi bu tip yoğunlaştırıcı kollektör tesislerinde büyük önem taşımaktadır. Sistemdeki en ufak kaçıklık faydalanılan enerjinin çok büyük ölçüde azalması sonucunu doğurur. Yukarıda bahsedilen emniyet tedbirlerinden bir tanesi de bu kaçıklıktan faydalanarak sağlanır. Eğer sistemde basınç aniden arzu edilmeyen değerlere çıkarsa otomasyon ile kollektörlerin takip mekanizması 1° kaydırılarak odaklanma bozulur ve sistemdeki sıcaklık ve basınç artışının önüne geçilir.

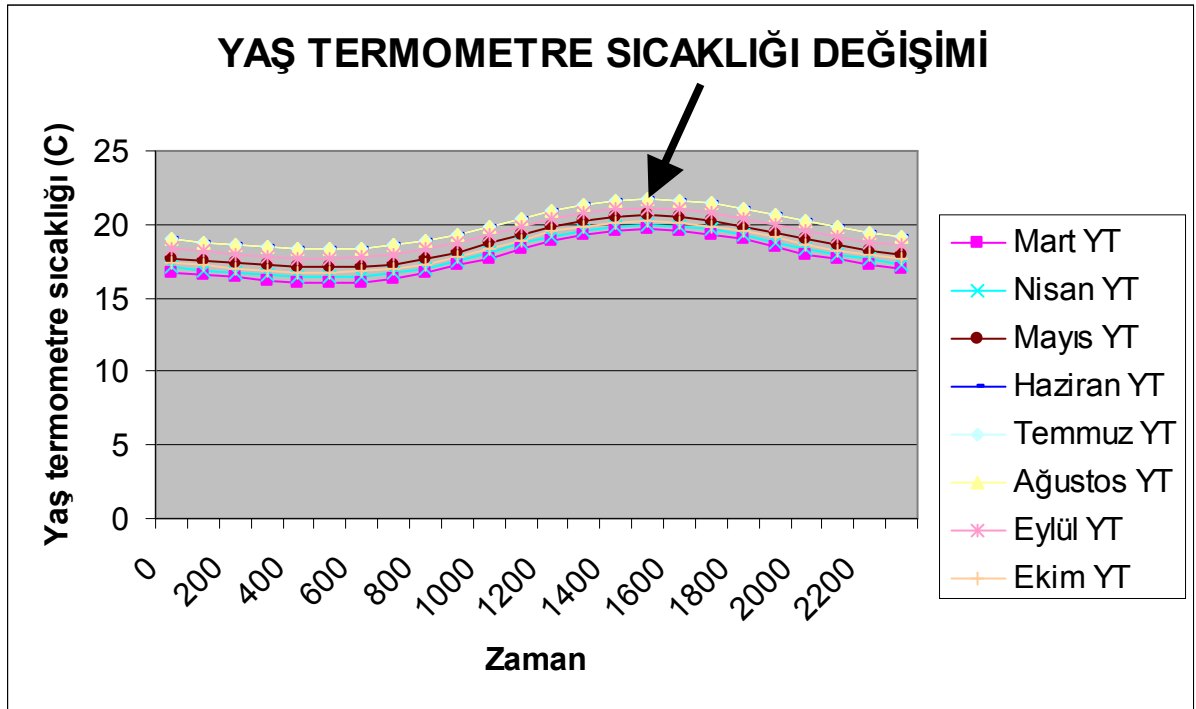
Kollektör sisteminde, kollektörlerin hareketi çelik halat ve kasnak sistemiyle sağlanacaktır. Bu hareketin kontrolü güneşin doğu-batı yönünde, tek eksenle yaptığı hareketine göre geliştirilen bir yazılım ve bu yazılımı kontrol eden fotosellerle sağlanır.

Burada üretilen buhar aynı zamanda işletmenin sıcak su ihtiyacını karşılayacaktır. Bunun içinse ısı değiştirgeçlerinden faydalanılacaktır. Buhar enerjisini ısı değiştirgecinde bırakarak sıcak su sağlanacaktır.

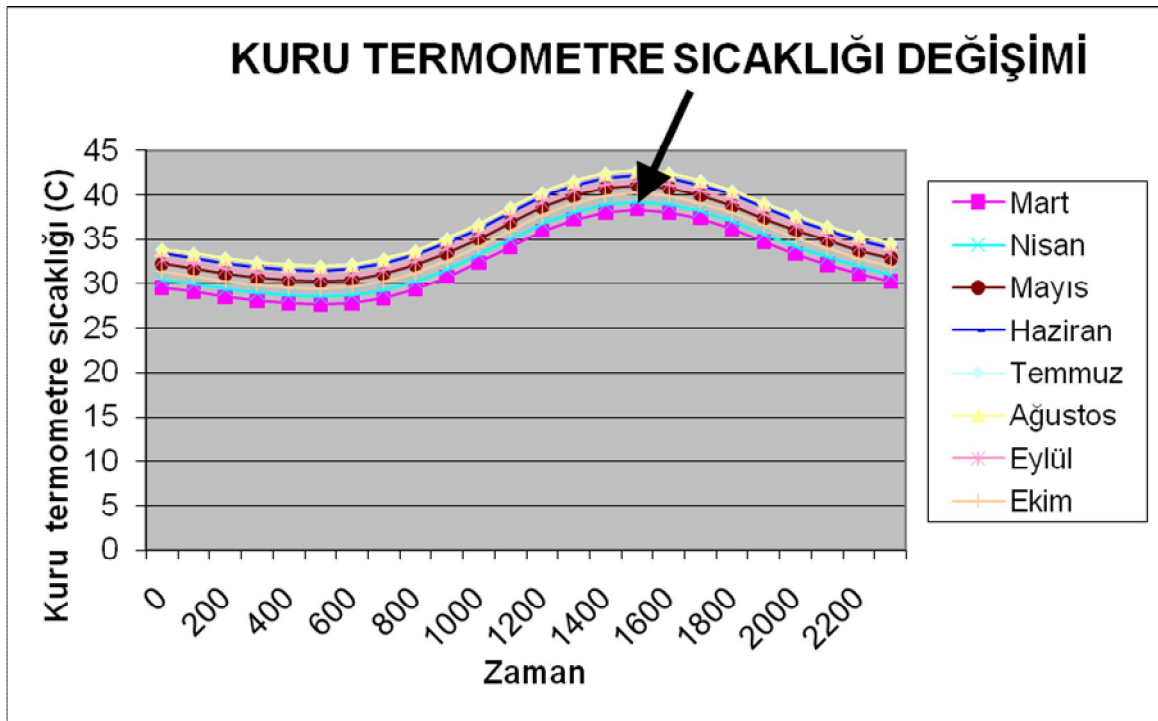
5.3 Soğutma Kulesi Seçimi

Sistemde absorber ve yoğunlaştırucuya gönderilecek olan soğutma suyu soğutma kulesi ile tedarik edilmektedir. Yaş termometre sıcaklığı için saatlik verilerle çizilen grafik Şekil 5.6'da görülmektedir. Sistemin ihtiyacı olan 29 °C sıcaklığındaki soğutma suyu soğutma kulesi ile sağlanmaktadır. 405,078 kg/s su debisi ve 36°C soğutma kulesi giriş ve 29°C çıkış sıcaklığına göre seçim yapılmıştır.

Sistemde her iki durumda da soğutma kulesi kullanıldığından maliyete herhangi bir etkisi bulunmamaktadır.



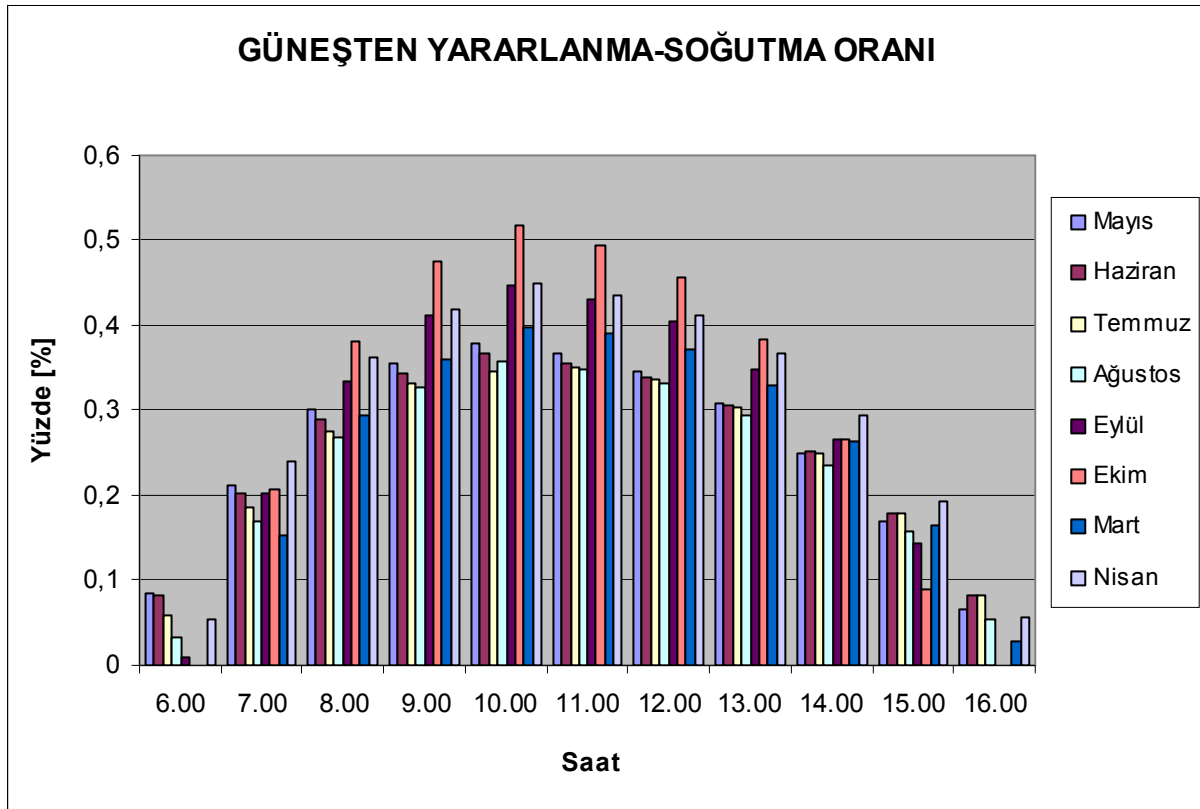
Şekil 5.8. Soğutma sezonu boyunca havanın yaş termometre sıcaklığı değişimi



Şekil 5.9. Soğutma sezonu boyunca havanın kuru termometre sıcaklığı değişimi

5.4 Sistemin Enerji Dengesi

İlk durumda toplam soğutma yükünün tamamı 2 adet soğutma cihazı ile karşılanırken, yeni durum için 1 adet soğutma cihazının absorpsiyonlu olarak kullanılması öngörülmektedir. Kullanılması düşünülen $Q_{YSJ} = 4194$ kW çift etkili absorpsiyonlu soğutma cihazının ısı gereksiniminin 615 kollektörle karşılanabilir. Kollektör sayısı kullanılabilir alana göre belirlenmiştir. Kullanılabilir alan binaların çatısı olarak kabul edilmiştir. Bu durumda güneş enerjisi ile karşılanabilen kısım ile toplam soğutma yükünün değişimi Şekil 5.8'de görülmektedir.



Şekil 5.10. Güneş enerjisi ile soğutma yükünün karşılanabilme oranı

Grafik incelendiğinde, güneşlenme oranının yüksek olduğu ve aynı zamanda soğutma yükünün yaz aylarına göre daha az olduğu Ekim ayı absorpsiyonlu soğutma cihazından en fazla verim aldığımız aydır.

6. ISI GERİ KAZANIM

Isı geri kazanım yapabilmenin “olmazsa olmaz” tek kuralı atık enerji bulunmasıdır. Havalandırma uygulamalarında atık enerji daha çok egzost havası ile dışarı atılır. Atılan havanın yerine de taze hava alınması kaçınılmazdır. Taze hava ve egzost havası bulunan havalandırma uygulamalarının tamamında ısı geri kazanım uygulanabilir.

Bugün özellikle gelişmiş ve zengin ileri teknoloji ülkelerinde konutlarda, dev yüksek yapılarda ve fabrikalarda, enerjinin kullanıldığı bütün alanlarda kullanılmak üzere geliştirilmiş ve geliştirilmekte olan ısı geri kazanım sistemleri kullanılmaktadır. Sanılanın aksine bu sistemlerin kullanımı ilk yatırım maliyetlerini arttırmamakta, azaltmaktadır.

Konfor uygulamalarında ısı geri kazanım iki yolla gerçekleştirilmektedir.

Duyulur ısı eşanjörleri :

Bu tip eşanjörler egzost havasının çığ noktası sıcaklığı altında bir değere kadar soğutulması durumunda yoğuşma meydana geleceğinden bu tür durumlar haricinde, hava akımları arasında sadece duyulur ısı transferi için kullanılır.

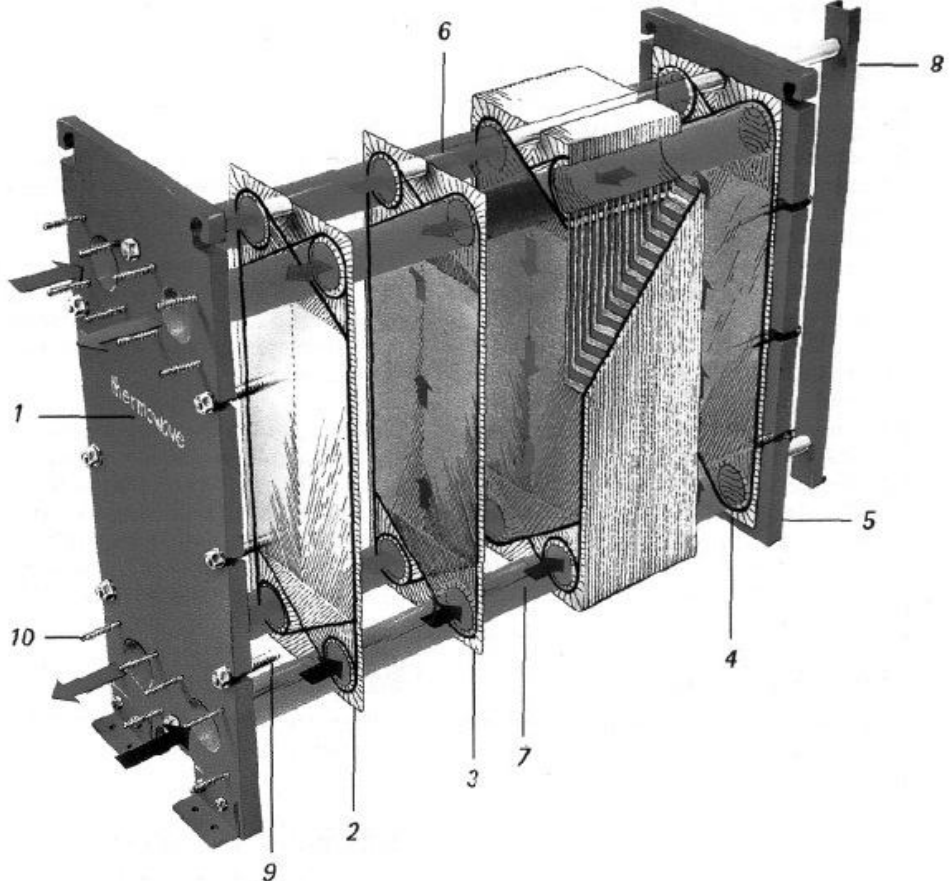
Toplam ısı eşanjörleri:

Hava akımları arasında hem duyulur hem de gizli ısıyı transfer eder.

6.1 Klima Santrallerinde Kullanılan Havadan Havaya Isı geri Kazanım Ekipmanları

6.1.1 Plakalı Eşanjörler

Plakalı ısı eşanjörlerinde esas ısı geçişinin olduğu yüzeyler genelde ince metal levhalardan yapılır. Bu metal yüzeyler düz veya dalgalı biçimde olabilirler. Genellikle gövde-borulu tip ısı eşanjörlerine göre daha yüksek toplam ısı transfer katsayısına sahiptirler. Sekil 6.1’de plakalı bir ısı eşanjörünün yapısı görülmektedir (Reppich, 1999).



Şekil 6.1. Plakalı ısı eşanjörünün yapısı.

1. Sabit baskı plakası – Ön gövde
2. Başlangıç plakası
3. Plaka
4. Son plaka
5. Hareketli baskı plakası – Arka gövde
6. Üst tasıma kolunu
7. Alt tasıma kolunu
8. Destek kolunu
9. Burulmaya karşı gergin vida koruması
10. Bağlantı

Plakalı ısı eşanjörleri; contalı plakalı, spiral plakalı ve lamelli olmak üzere üç grupta incelenebilirler (Genceli, 1999).

a) Contalı plakalı ısı eşanjörleri; Contalı plakalı ısı eşanjörleri ince metal plakaların bir çerçeve içerisine sıkıştırılarak paket haline getirilmesi suretiyle yapılırlar. Her bir metal plakanın dört tarafında akışkanların geçebilmesi için delikler vardır. Plakalar birleştirilip paket yapılırken uygun contalar kullanılarak akışkanların birbirine karışması ve dışarıya sızıntı yapması önlenir. Plakalar arasındaki boşluklardan sıcak ve soğuk akışkanlar birbirine karışmadan akarlar. Rijitlik sağlamak, plakalar arasındaki mesafeyi sabitleştirmek ve ısı transferini iyileştirmek için plakalar dalgalı şekilde yapılırlar.

b) Spiral plakalı ısı eşanjörleri; Isı transfer yüzeylerinin plakalardan oluştuğu, silindirik borulardan oluşmadığı plakalı tip ısı eşanjörleridir. Spiral plakalı ısı eşanjörleri 150-1800 mm genişliğindeki uzun ince iki metal plakanın her biri bir akışkan için olmak üzere iki spiral, paralel kenar oluşturacak şekilde spiral seklinde sarılması ile elde edilir. İki plaka arasına konulan sapmalar ile düzgün bir aralık sağlanabilir. Plakaların iki tarafı contalı kapaklar ile kapatılır. Çeşitli akış konfigürasyonları mümkündür ve akış konfigürasyonlarına göre değişik tip spiral ısı eşanjörü imal edilebilmektedir.

c) Lamelli ısı eşanjörleri; Bir gövde içine yerleştirilmiş borulardan (lameller) yapılmış bir demetin yerleştirilmesi ile elde edilir. Lameller genellikle nokta veya elektrikli dikiş kaynağı ile birbirine tutturulur. Akışkanlardan birisi lamelli boruların içinden akarken diğer akışkan lamellerin arasından akar. Gövde içinde şaşırtma levhaları yoktur. akış tek geçişli olup aynı yönlü veya karşıt akışlı düzenleme kullanılabilir.

En yaygın konstrüksiyon malzemesi alüminyumdur. Bunun sebebi bu malzemenin kondüksiyon ısı iletim katsayısının yüksek olması değil, daha ziyade korozyon direncinin düşük oluşu, imalat kolaylığı, yanmama, dayanıklılık ve maliyetinin düşük oluşudur.

Plakalı eşanjörler yalnızca duyulur ısı transfer eder. Ancak kraft türü malzemeler kullanıldığında (su çekme özelliği olan) gizli ısı (nem) transferi de gerçekleştirebilirler.

Plakalı eşanjörlerde etkinlik; hava hızı, kanat yüzey formu, kanat aralığı ve basınç kaybı ile ilişkilidir. Verim arttıkça; hava hızı ve basınç kaybı düşecek, eşanjör büyüyecek ve pahalılaşacaktır. Basınç kaybı arttıkça; hava hızı artacak, eşanjör küçülecek, ucuzlayacak fakat verimlilik düşecektir. HVAC tasarımlarında verimliliğin %55 civarında tutulması, basınç kaybında ise 300 Pa'm aşılması önerilmektedir.

6.1.2 Sistemde Isı geri Kazanımın Uygulanması

Mevcut durumda; şartlandırılmış havanın bir kısmı tuvalet ve mutfak egzostu olarak atılmaktadır. Ortamın soğutma yükü fan coil ile karşılanmaktadır. Bu nedenle klima santrali çıkışındaki hava şartları, ortamı şartlandırmak için kullanılmayıp fan coil in taze hava ihtiyacını karşılamaktadır. Ortam şartları 24 °C Kuru Termometre ve 17 °C Yaş Termometre sıcaklığında kabul edilmiştir. Santral %100 dış hava ile çalışmaktadır.

Hesaplarda gerçekçi bir sonuca ulaşabilmek için, soğutma sezonundaki aylar için o ayların her birinin saatlik ortalaması kullanılmıştır.

Enerji Geri Kazanımsız Olarak İstenilen Şartlarda Hava Sağlayabilmek için Toplam Soğutucu Serpantin Gücü:

$$Q_1 = \dot{m} \times \rho \times (h_d - h_o) / 1000$$

\dot{m} = Klima santrali hava debisi

ρ = Dış hava yoğunluğu

h_d = Dış hava entalpisi

h_o = Ortamın entalpisi

Havanın Isı Tekerı Çıkış Şartları Hesabı

$$\Delta KT = (KT_{dış} - KT_{iç}) \times \epsilon$$

ΔKT = Isı tekerı sıcaklık geri kazanımı

$$KT_s = KT_{dış} - \Delta KT$$

$$\Delta YT = (YT_{dış} - YT_{iç}) \times \epsilon$$

Entalpi Geri Kazanımı

$$\Delta h = (h_d - h_s) \times \epsilon$$

Δh = Entalpi Geri Kazanımı

h_d = Dış havanın entalpisi

h_s = Rotor matris çıkışı hava entalpisi

Tasarruf Edilen Enerji

$$Q_2 = \dot{m} \rho \Delta h / 1000$$

Q_2 = Enerji Tasarrufu

ρ = Dış hava yoğunluğu

Δh = Entalpi Geri Kazanımı

Elektrik Tasarrufu

$$Te = Q_2 \times t / COP$$

Te = Elektrik Tasarrufu

t = Tekerleğin aylık çalışma süresi

$COP = 2,8$ (ortalama alındı).

Aşağıda seçilmiş olan Rotorlu tip ısı geri kazanım tekeri için aylık enerji tasarrufu hesapları ve bu tasarrufun parasal değerleri çizelgeler halinde verilmiştir.

FAN ADI	Elektrik Gücü (kW)
EF-HT-NF-1	9.2
EF-HT-NF-2	8.5
EF-HT-ROOF-1	3.2
EF-HT-ROOF-2	7.5
EF-TT-ROOF-1	4
EF-TT-ROOF-2	4
EF-TT-MF-1	5
EF-TT-MF-2	3.8
EF-TT-MF-3	4.2
EF-TT-MF-4	3

Çizelge 6.1. Egzost fanı elektrik tüketimi çizelgesi

RAHU-HT-NF-1	Sem bol	Birim	Mart	Nisan	May.	Haz.	Tem.	Ağus.	Eyl.	Ek.
Aylık çalışma	H	saat	744	720	744	720	744	744	720	744
Hava debisi	m ³ /h	L/s	7280							
Egzost debisi	m ³ /e	L/s	6570							
Egzost-Taze Hava Oranı	E/T H		0.90							
Eşanjör Verimi	E		0.65							
Oda KT Sıcaklığı	Kto	C	24							
Oda YT Sıcaklığı	Yto	C	17.0574							
Oda Entalpisi	Ho	kJ/kg	47.71							
Oda Özgül Nemi	Xo	g/kg	9.33773							
Dış Hava KT Sıcaklığı	KTd	C	32.4	33.3	35	36	36.7	36.7	35.6	34.2
Dış Hava YT Sıcaklığı	YTd	C	17.7	18	18.6	19.8	19.8	19.8	19.2	18.3
Dış Hava Entalpisi	Hd	kJ/kg	47.7	50.5	49.5	51.9	53.6	51.9	51.9	49.5
Dış Hava Yoğunluğu	P	m ³ /kg	1.1	1.148	1.14	1.13	1.1	1.1	1.1	1.1
Dış Hava Özgül Nemi	Xd	g/kg	5.98	6.775	5.95	6.79	6.798	6.798	7.20	6.3
$\Delta KT=(KT_{dış}-KT_{iç})\times \epsilon$		C	5.45	6.035	7.13	7.78	8.242	8.242	7.52	6.6
$\Delta YT=(YT_{dış}-YT_{iç})\times \epsilon$		C	0.41	0.611	1.00	1.77	1.779	1.7	1.3	0.8
$\Delta h=(h_d-h_s)\times \epsilon$		kJ/kg	0	1.823	1.22	2.72	3.842	2.729	2.72	1.22
Matris Çıkışı Hava KT Sıcaklığı	KTs	C	26.9	27.26	27.8	28.2	28.45	28.45	28.0	27.5
Matris Çıkışı Hava YT Sıcaklığı	YTs	C	17.2	17.38	17.5	18.0	18.02	18.02	17.8	17.4
Matris çıkışı hava entalpisi	Hs	kJ/kg	47.6	47.26	47.2	49.5	50.68	49.59	47.2	47.2
Enerji Geri Kazanımsız Batarya Yüğü	Q1	kW	0	23.50	15.6	34.8	50.27	34.83	34.9	15.6
Enerji Tasarrufu	Q2	kW	0	15.2	10.1	22.6	32.62	22.60	22.6	10.1
Enerji Geri Kazanımlı Batarya Yüğü	Q3	kW	0	8.248	5.48	12.2	17.64	12.22	12.2	5.50

Çizelge 6.2. RAHU-HT-NF-1 Isı geri kazanım hesap tablosu

RAHU-HT-NF-2	Sem bol	Birim	Mart	Nisan	May	Haz.	Tem.	Ağus.	Eyl.	Ek.
Aylık çalışma	Saat	Saat	744	720	744	720	744	744	720	744
Hava debisi	m ³ /h	L/s	7280							
Egzost debisi	m ³ /e	L/s	6130							
Egzost-Taze Hava Oranı	E/T H		0.84							
Eşanjör Verimi	E		0.77							
Oda KT Sıcaklığı	KTo	C	24							
Oda YT Sıcaklığı	YTo	C	17.0574							
Oda Entalpisi	Ho	kJ/kg	47.26432							
Oda Özgül Nemi	Xo	g/kg	9.33773							
Dış Hava KT Sıcaklığı	KTd	C	32.4	33.3	35	36	36.7	36.7	35	34.2
Dış Hava YT Sıcaklığı	YTd	C	17.7	18	18.6	19.8	19.8	19.8	19	18.3
Dış Hava Entalpisi	Hd	kJ/kg	47.2	49.59	49.5	51.9	51.91	51.91	52	49.5
Dış Hava Yoğunluğu	P		1.15	1.148	1.14	1.13	1.137	1.137	1.1	1.14
Dış Hava Özgül Nemi	Xd	g/kg	5.98	6.775	5.95	6.79	6.798	6.798	7.2	6.36
$\Delta KT=(KT_{dış}-KT_{iç}) \times \epsilon$		C	6.46	7.161	8.47	9.24	9.779	9.779	8.9	7.85
$\Delta YT=(YT_{dış}-YT_{iç}) \times \epsilon$		C	0.49	0.725	1.18	2.11	2.111	2.111	1.6	0.95
$\Delta h=(h_d-h_s) \times \epsilon$		kJ/kg	0	1.791	1.79	3.58	3.582	3.582	3.5	1.79
Matris Çıkışı Hava KT Sıcaklığı	KTs	C	25.9	26.13	26.5	26.7	26.92	26.92	26	26.3
Matris Çıkışı Hava YT Sıcaklığı	YTs	C	17.2	17.27	17.4	17.6	17.68	17.68	17	17.3
Matris çıkışı hava entalpisi	Hs	kJ/kg	47.2	47.26	47.2	49.5	49.59	49.59	47	47.2
Enerji Geri Kazanımsız Batarya Yüğü	Q1	kW	0	19.45	19.3	38.5	38.52	38.52	38	19.4
Enerji Tasarrufu	Q2	kW	0	14.97	14.8	29.6	29.66	29.66	29	14.9
Enerji Geri Kazanımlı Batarya Yüğü	Q3	kW	0	4.474	4.44	8.86	8.861	8.861	8.9	4.46

Çizelge 6.3. RAHU-HT-NF-2 Isı geri kazanım hesap tablosu

RAHU-HT-ROOF-1	Sembol	Birim	Mart	Nisan	May	Haz.	Tem.	Ağus.	Eyl.	Ek.
Aylık çalışma	Saat	Saat	744	720	744	720	744	744	720	744
Hava debisi	m	L/s	2595							
Egzost debisi	m	L/s	2655							
Egzost-Taze Hava Oranı	E/T H		1.02							
Eşanjör Verimi	E		0.77							
Oda KT Sıcaklığı	KTo	C	24							
Oda YT Sıcaklığı	YTo	C	17.0574							
Oda Entalpisi	Ho	kJ/kg	47.26432							
Oda Özgül Nemi	Xo	g/kg	9.33773							
Dış Hava KT Sıcaklığı	KTd	C	32.4	33.3	35	36	36.7	36.7	35.6	34.2
Dış Hava YT Sıcaklığı	YTd	C	17.7	18	18.6	19.8	19.8	19.8	19.2	18.3
Dış Hava Entalpisi	Hd	kJ/kg	47.2	49.59	49.5	51.9	51.91	51.91	51.9	49.5
Dış Hava Yoğunluğu	P		1.15	1.148	1.14	1.13	1.137	1.137	1.14	1.14
Dış Hava Özgül Nemi	Xd	g/kg	5.98	6.775	5.95	6.79	6.798	6.798	7.20	6.36
$\Delta KT=(KT_{dış}-KT_{iç})\times \epsilon$		C	6.46	7.161	8.47	9.24	9.779	9.779	8.93	7.85
$\Delta YT=(YT_{dış}-YT_{iç})\times \epsilon$		C	0.49	0.725	1.18	2.11	2.111	2.111	1.64	0.95
$\Delta h=(hd-hs)\times \epsilon$		kJ/kg	0	1.791	1.79	3.58	3.582	3.582	3.58	1.79
Matris Çıkışı Hava KT Sıcaklığı	KTs	C	25.9	26.13	26.5	26.7	26.92	26.92	26.6	26.3
Matris Çıkışı Hava YT Sıcaklığı	YTs	C	17.2	17.27	17.4	17.6	17.68	17.68	17.5	17.3
Matris çıkışı hava entalpisi	Hs	kJ/kg	47.2	47.26	47.2	49.5	49.59	49.59	47.2	47.2
Enerji Geri Kazanımsız Batarya Yüğü	Q1	kW	0	6.934	6.89	13.7	13.73	13.73	13.7	6.91
Enerji Tasarrufu	Q2	kW	0	5.339	5.30	10.5	10.57	10.57	10.6	5.32
Enerji Geri Kazanımlı Batarya Yüğü	Q3	kW	0	1.594	1.58	3.15	3.158	3.158	3.16	1.59

Çizelge 6.3. RAHU-HT-ROOF-1 Isı geri kazanım hesap tablosu

RAHU-HT-ROOF-2	Sembol	Birim	Mart	Nisan	May	Haz.	Tem.	Ağus.	Eyl.	Ek.
Aylık çalışma	Saat	saat	744	720	744	720	744	744	720	744
Hava debisi	m	L/s	5885							
Egzost debisi	m	L/s	4500							
Egzost-Taze Hava Oranı	E/T H		0.76							
Eşanjör Verimi	E		0.77							
Oda KT Sıcaklığı	KTo	C	24							
Oda YT Sıcaklığı	YTo	C	17.0574							
Oda Entalpisi	Ho	kJ/kg	47.26432							
Oda Özgül Nemi	Xo	g/kg	9.33773							
Dış Hava KT Sıcaklığı	KTd	C	32.4	33.3	35	36	36.7	36.7	35.6	34.2
Dış Hava YT Sıcaklığı	YTd	C	17.7	18	18.6	19.8	19.8	19.8	19.2	18.3
Dış Hava Entalpisi	Hd	kJ/kg	47.2	49.59	49.5	51.9	51.91	51.91	51.9	49.5
Dış Hava Yoğunluğu	P		1.15	1.148	1.14	1.13	1.137	1.137	1.14	1.14
Dış Hava Özgül Nemi	Xd	g/kg	5.98	6.775	5.95	6.79	6.798	6.798	7.20	6.36
$\Delta KT=(KT_{dış}-KT_{iç})\times \epsilon$		C	6.46	7.161	8.47	9.24	9.779	9.779	8.93	7.85
$\Delta YT=(YT_{dış}-YT_{iç})\times \epsilon$		C	0.49	0.725	1.18	2.11	2.111	2.111	1.64	0.95
$\Delta h=(hd-hs)\times \epsilon$		kJ/kg	0	1.791	1.79	3.58	3.582	3.582	3.58	1.79
Matris Çıkışı Hava KT Sıcaklığı	KTs	C	25.9	26.13	26.5	26.7	26.92	26.92	26.6	26.3
Matris Çıkışı Hava YT Sıcaklığı	YTs	C	17.2	17.27	17.4	17.6	17.68	17.68	17.5	17.3
Matris çıkışı hava entalpisi	Hs	kJ/kg	47.2	47.26	47.2	49.5	49.59	49.59	47.2	47.2
Enerji Geri Kazanımsız Batarya Yüğü	Q1	kW	0	15.72	15.6	31.1	31.14	31.14	31.2	15.6
Enerji Tasarrufu	Q2	kW	0	12.10	12.0	23.9	23.98	23.98	24.0	12.0
Enerji Geri Kazanımlı Batarya Yüğü	Q3	kW	0	3.616	3.59	7.16	7.163	7.163	7.18	3.60

Çizelge 6.4. RAHU-HT-ROOF-2 Isı geri kazanım hesap tablosu

RAHU-TT-ROOF-1	Sem bol	Birim	Mart	Nisan	May	Haz.	Tem.	Ağus.	Eyl.	Ek.
Aylık çalışma	Saat	saat	744	720	744	720	744	744	720	744
Hava debisi	m	L/s	7060							
Egzost debisi	m	L/s	3760							
Egzost-Taze Hava Oranı	E/T H		0.53							
Eşanjör Etkinliği	E		0.77							
Oda KT sıcaklığı	KTo	C	24							
Oda YT sıcaklığı	YTo	C	17.0574							
Oda Entalpisi	Ho	kJ/kg	47.26432							
Oda Özgül Nemi	Xo	g/kg	9.33773							
Dış Hava KT Sıcaklığı	KTd	C	32.4	33.3	35	36	36.7	36.7	35.6	34.2
Dış Hava YT Sıcaklığı	YTd	C	17.7	18	18.6	19.8	19.8	19.8	19.2	18.3
Dış Hava Entalpisi	Hd	kJ/kg	47.2	49.59	49.5	51.9	51.91	51.91	51.9	49.5
Dış Hava Yoğunluğu	P		1.15	1.148	1.14	1.13	1.137	1.137	1.14	1.14
Dış Hava Özgül Nemi	Xd	g/kg	5.98	6.775	5.95	6.79	6.798	6.798	7.20	6.36
$\Delta KT=(KT_{dış}-KT_{iç})x \epsilon$		C	6.46	7.161	8.47	9.24	9.779	9.779	8.93	7.85
$\Delta YT=(YT_{dış}-YT_{iç})x \epsilon$		C	0.49	0.725	1.18	2.11	2.111	2.111	1.64	0.95
$\Delta h=(hd-hs)x \epsilon$		kJ/kg	0	1.791	1.79	3.58	3.582	3.582	3.58	1.79
Matris Çıkışı Hava KT Sıcaklığı	KTs	C	25.9	26.13	26.5	26.7	26.92	26.92	26.6	26.3
Matris Çıkışı Hava YT Sıcaklığı	YTs	C	17.2	17.27	17.4	17.6	17.68	17.68	17.5	17.3
Matris çıkışı hava entalpisi	Hs	kJ/kg	47.2	47.26	47.2	49.5	49.59	49.59	47.2	47.2
Enerji Geri Kazanımsız Batarya Yüğü	Q1	kW	0	18.86	18.7	37.3	37.36	37.36	37.4	18.8
Enerji Tasarrufu	Q2	kW	0	14.52	14.4	28.7	28.77	28.77	28.8	14.4
Enerji Geri Kazanımlı Batarya Yüğü	Q3	kW	0	4.339	4.31	8.59	8.593	8.593	8.61	4.32

Çizelge 6.5. RAHU-TT-ROOF-1 Isı geri kazanım hesap tablosu

RAHU-TT-ROOF-2	Sem bol	Birim	Mart	Nisan	May	Haz.	Tem.	Ağus.	Eyl.	Ek.
Aylık çalışma	saat	saat	744	720	744	720	744	744	720	744
Hava debisi	m	L/s	5840							
Egzost debisi	m	L/s	3780							
Egzost-Taze Hava Oranı	E/T H		0.65							
Eşanjör Verimi	ε		0.74							
Oda KT Sıcaklığı	KTo	C	24							
Oda YT Sıcaklığı	YTo	C	17.0574							
Oda Entalpisi	ho	kJ/kg	47.26432							
Oda Özgül Nemi	Xo	g/kg	9.33773							
Dış Hava KT Sıcaklığı	KTd	C	32.4	33.3	35	36	36.7	36.7	35.6	34.2
Dış Hava YT Sıcaklığı	YTd	C	17.7	18	18.6	19.8	19.8	19.8	19.2	18.3
Dış Hava Entalpisi	hd	kJ/kg	47.2	49.59	49.5	51.9	51.91	51.91	51.9	49.5
Dış Hava Yoğunluğu	ρ		1.15	1.148	1.14	1.13	1.137	1.137	1.14	1.14
Dış Hava Özgül Nemi	Xd	g/kg	5.98	6.775	5.95	6.79	6.798	6.798	7.20	6.36
$\Delta KT=(KT_{dış}-KT_{iç})x \epsilon$		C	6.21	6.882	8.14	8.88	9.398	9.398	8.58	7.54
$\Delta YT=(YT_{dış}-YT_{iç})x \epsilon$		C	0.47	0.697	1.14	2.02	2.029	2.029	1.58	0.91
$\Delta h=(hd-hs)x \epsilon$		kJ/kg	0	1.721	1.72	3.44	3.442	3.442	3.44	1.72
Matris Çıkışı Hava KT Sıcaklığı	KTs	C	26.1	26.41	26.8	27.1	27.30	27.30	27.0	26.6
Matris Çıkışı Hava YT Sıcaklığı	YTs	C	17.2	17.30	17.4	17.7	17.77	17.77	17.6	17.3
Matris çıkışı hava entalpisi	hs	kJ/kg	47.2	47.26	47.2	49.5	49.59	49.59	47.2	47.2
Enerji Geri Kazanımsız Batarya Yüğü	Q1	kW	0	15.60	15.5	30.9	30.90	30.90	31.0	15.5
Enerji Tasarrufu	Q2	kW	0	11.54	11.4	22.8	22.87	22.87	22.9	11.5
Enerji Geri Kazanımlı Batarya Yüğü	Q3	kW	0	4.057	4.03	8.03	8.035	8.035	8.06	4.04

Çizelge 6.6. RAHU-TT-ROOF-2 Isı geri kazanım hesap tablosu

RAHU-TT-MF-1	Sem bol	Birim	Mart	Nisan	May	Haz.	Tem.	Ağus.	Eyl.	Ek.
Aylık çalışma	saat	saat	744	720	744	720	744	744	720	744
Hava debisi	m	L/s	6450							
Egzost debisi	m	L/s	4165							
Egzost-Taze Hava Oranı	E/T H		0.65							
Eşanjör Verimi	ε		0.76							
Oda KT Sıcaklığı	KTo	C	24							
Oda YT Sıcaklığı	YTo	C	17.0574							
Oda Entalpisi	ho	kJ/kg	47.26432							
Oda Özgül Nemi	Xo	g/kg	9.33773							
Dış Hava KT Sıcaklığı	KTd	C	32.4	33.3	35	36	36.7	36.7	35.6	34.2
Dış Hava YT Sıcaklığı	YTd	C	17.7	18	18.6	19.8	19.8	19.8	19.2	18.3
Dış Hava Entalpisi	hd	kJ/kg	47.2	49.59	49.5	51.9	51.91	51.91	51.9	49.5
Dış Hava Yoğunluğu	ρ		1.15	1.148	1.14	1.13	1.137	1.137	1.14	1.14
Dış Hava Özgül Nemi	Xd	g/kg	5.98	6.775	5.95	6.79	6.798	6.798	7.20	6.36
$\Delta KT=(KT_{dış}-KT_{iç})x \epsilon$		C	6.34	7.021	8.30	9.06	9.588	9.588	8.75	7.70
$\Delta YT=(YT_{dış}-YT_{iç})x \epsilon$		C	0.48	0.711	1.16	2.07	2.070	2.070	1.61	0.93
$\Delta h=(hd-hs)x \epsilon$		kJ/kg	0	1.756	1.75	3.51	3.512	3.512	3.51	1.75
Matris Çıkışı Hava KT Sıcaklığı	KTs	C	26.0	26.27	26.6	26.9	27.11	27.11	26.8	26.4
Matris Çıkışı Hava YT Sıcaklığı	YTs	C	17.2	17.28	17.4	17.7	17.72	17.72	17.5	17.3
Matris çıkışı hava entalpisi	hs	kJ/kg	47.2	47.26	47.2	49.5	49.59	49.59	47.2	47.2
Enerji Geri Kazanımsız Batarya Yüğü	Q1	kW	0	17.23	17.1	34.1	34.13	34.13	34.2	17.1
Enerji Tasarrufu	Q2	kW	0	13.01	12.9	25.7	25.77	25.77	25.8	12.9
Enerji Geri Kazanımlı Batarya Yüğü	Q3	kW	0	4.222	4.19	8.36	8.363	8.363	8.38	4.20

Çizelge 6.7. RAHU-TT-MF-1 Isı geri kazanım hesap tablosu

RAHU-TT-MF-2	Sem bol	Birim	Mart	Nisan	May	Haz.	Tem.	Ağus.	Eyl.	Ek.
Aylık çalışma	saat	saat	744	720	744	720	744	744	720	744
Hava debisi	m	L/s	5640							
Egzost debisi	m	L/s	3550							
Egzost-Taze Hava Oranı	E/T H		0.63							
Eşanjör Verimi	ε		0.75							
Oda Kuru Termometre Sıcaklığı	KTo	C	24							
Oda Yaş Termometre Sıcaklığı	YTo	C	17.0574							
Oda Entalpisi	ho	kJ/kg	47.26432							
Oda Özgül Nemi	Xo	g/kg	9.33773							
Dış Hava KT Sıcaklığı	KTd	C	32.4	33.3	35	36	36.7	36.7	35.6	34
Dış Hava YT Sıcaklığı	YTd	C	17.7	18	18.6	19.8	19.8	19.8	19.2	18
Dış Hava Entalpisi	hd	kJ/kg	47.2	49.5	49.5	51.9	51.91	51.91	51.9	49
Dış Hava Yoğunluğu	ρ		1.15	1.14	1.14	1.13	1.137	1.137	1.14	1.1
Dış Hava Özgül Nemi	Xd	g/kg	5.98	6.77	5.95	6.79	6.798	6.798	7.20	6.3
$\Delta KT=(KT_{dış}-KT_{iç})x \epsilon$		C	6.25	6.92	8.19	8.94	9.461	9.461	8.64	7.5
$\Delta YT=(YT_{dış}-YT_{iç})x \epsilon$		C	0.47	0.70	1.14	2.04	2.043	2.043	1.59	0.9
Matris Çıkışı Hava KT Sıcaklığı	KTs	C	26.1	26.3	26.8	27.0	27.23	27.23	26.9	26
Matris Çıkışı Hava YT Sıcaklığı	YTs	C	17.2	17.3	17.4	17.7	17.75	17.75	17.6	17
Matris çıkışı hava entalpisi	hs	kJ/kg	47.2	47.2	47.2	49.5	49.59	49.59	47.2	47
Enerji Geri Kazanımsız Batarya Yüğü	Q1	kW	0	15.1	14.9	29.8	29.85	29.85	29.9	15
Enerji Tasarrufu	Q2	kW	0	11.2	11.2	22.2	22.23	22.23	22.3	11
Enerji Geri Kazanımlı Batarya Yüğü	Q3	kW	0	3.84	3.82	7.61	7.611	7.611	7.63	3.8

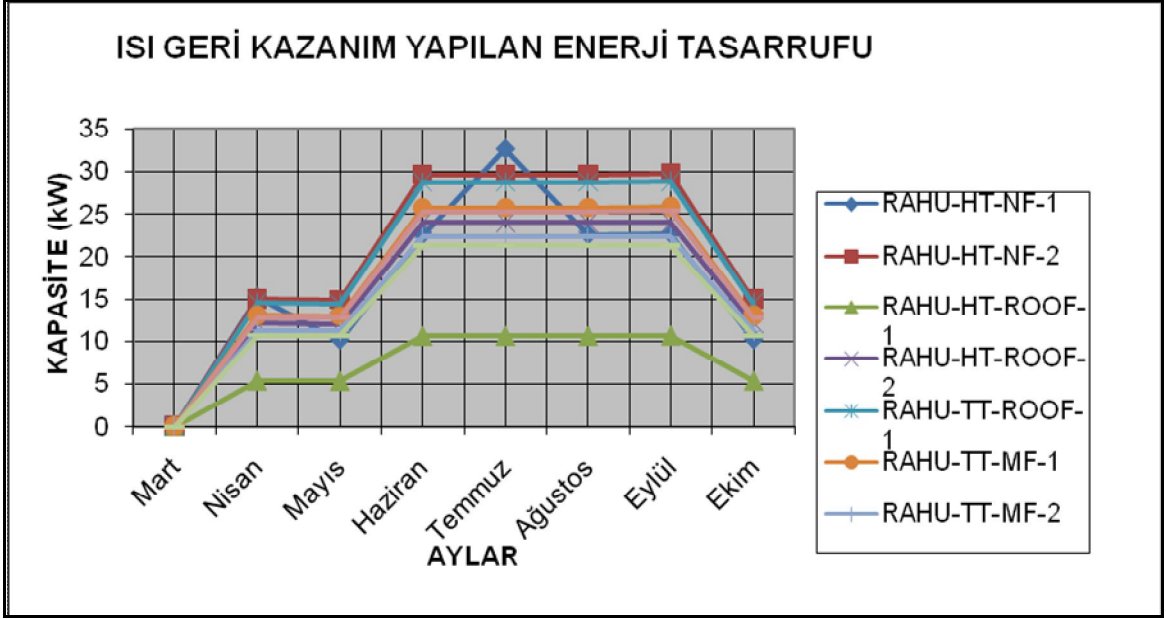
Çizelge 6.8. RAHU-TT-MF-2 Isı geri kazanım hesap tablosu

RAHU-TT-MF-3	Sem bol	Birim	Mart	Nis.	May	Haz.	Tem	Ağus.	Eyl	Ek
Aylık çalışma	saat	saat	744	720	744	720	744	744	720	744
Hava debisi	m	L/s	6280							
Egzost debisi	m	L/s	4085							
Egzost-Taze Hava Oranı	E/T H		0.65							
Eşanjör Etkinliği	ε		0.76							
Oda KT Sıcaklığı	KTo	C	24							
Oda YT Sıcaklığı	YTo	C	17.0574							
Oda Entalpisi	ho	kJ/kg	47.26432							
Oda Özgül Nemi	Xo	g/kg	9.33773							
Dış Hava KT Sıcaklığı	KTd	C	32.4	33.3	35	36	36.7	36.7	35	34
Dış Hava YT Sıcaklığı	YTd	C	17.7	18	18.6	19.8	19.8	19.8	19	18
Dış Hava Entalpisi	hd	kJ/kg	47.2	49.5	49.5	51.9	51.91	51.91	51	49
Dış Hava Yoğunluğu	ρ		1.15	1.14	1.14	1.13	1.137	1.137	1.1	1.1
Dış Hava Özgül Nemi	Xd	g/kg	5.98	6.77	5.95	6.79	6.798	6.798	7.2	6.4
$\Delta KT=(KT_{dış}-KT_{iç})x \epsilon$		C	6.38	7.07	8.36	9.12	9.652	9.652	8.8	7.7
$\Delta YT=(YT_{dış}-YT_{iç})x \epsilon$		C	0.48	0.71	1.17	2.08	2.084	2.084	1.6	0.9
$\Delta h=(hd-hs)x \epsilon$		kJ/kg	0	1.76	1.76	3.53	3.535	3.535	3.5	1.7
Matris Çıkışı Hava KT Sıcaklığı	KTs	C	26.0	26.2	26.6	26.8	27.04	27.04	26	26
Matris Çıkışı Hava YT Sıcaklığı	YTs	C	17.2	17.2	17.4	17.7	17.71	17.71	17	17
Matris çıkışı hava entalpisi	hs	kJ/kg	47.2	47.2	47.2	49.6	49.59	49.59	47	47
Enerji Geri Kazanımsız Batarya Yüğü	Q1	kW	0	16.7	16.6	33.2	33.23	33.23	33	16
Enerji Tasarrufu	Q2	kW	0	12.7	12.6	25.2	25.25	25.25	25	12
Enerji Geri Kazanımlı Batarya Yüğü	Q3	kW	0	4.02	4.00	7.97	7.976	7.976	8.0	4.0

Çizelge 6.8. RAHU-TT-MF-3 Isı geri kazanım hesap tablosu

RAHU-TT-MF-4	Sem bol	Birim	Mart	Nisan	May	Haz.	Tem.	Ağus.	Eyl	Ek.
Aylık çalışma	saat	saat	744	720	744	720	744	744	720	744
Hava debisi	m	L/s	5300							
Egzost debisi	m	L/s	3390							
Egzost-Taze Hava Oranı	E/T H		0.64							
Eşanjör Verimi	ε		0.76							
Oda KT Sıcaklığı	KTo	C	24							
Oda YT Sıcaklığı	YTo	C	17.0574							
Oda Entalpisi	ho	kJ/kg	47.26432							
Oda Özgül Nemi	Xo	g/kg	9.33773							
Dış Hava KT Sıcaklığı	KTd	C	32.4	33.3	35	36	36.7	36.7	35	34
Dış Hava YT Sıcaklığı	YTd	C	17.7	18	18.6	19.8	19.8	19.8	19	18
Dış Hava Entalpisi	hd	kJ/kg	47.2	49.59	49.5	51.9	51.9	51.91	51	49
Dış Hava Yoğunluğu	ρ		1.15	1.148	1.14	1.13	1.13	1.137	1.1	1.1
Dış Hava Özgül Nemi	Xd	g/kg	5.98	6.775	5.95	6.79	6.79	6.798	7.2	6.3
$\Delta KT=(KT_{dış}-KT_{iç}) \times \epsilon$		C	6.38	7.068	8.36	9.12	9.65	9.652	8.8	7.7
$\Delta YT=(YT_{dış}-YT_{iç}) \times \epsilon$		C	0.48	0.716	1.17	2.08	2.08	2.084	1.6	0.9
$\Delta h=(h_d-h_s) \times \epsilon$		kJ/kg	0	1.767	1.76	3.53	3.53	3.535	3.5	1.7
Matris Çıkışı Hava KT Sıcaklığı	KTs	C	26.0	26.23	26.6	26.8	27.0	27.04	26	26
Matris Çıkışı Hava YT Sıcaklığı	YTs	C	17.2	17.28	17.4	17.7	17.7	17.71	17	17
Matris çıkışı hava entalpisi	hs	kJ/kg	47.2	47.26	47.2	49.5	49.5	49.59	47	47
Enerji Geri Kazanımsız Batarya Yüğü	Q1	kW	0	14.16	14.0	28.0	28.0	28.04	28	14
Enerji Tasarrufu	Q2	kW	0	10.76	10.6	21.3	21.3	21.31	21	10
Enerji Geri Kazanımlı Batarya Yüğü	Q3	kW	0	3.398	3.37	6.73	6.73	6.731	6.7	3.3

Çizelge 6.9. RAHU-TT-MF-4 Isı geri kazanım hesap tablosu



Şekil 6.2. Enerji geri kazanım ile yapılan enerji tasarrufunun ekipmanlara göre aylık değişimi

7. EKONOMİK ANALİZ

Bu çalışmanın amacı bir otel binasının soğutma sezonu boyunca konfor ve ekonomik koşullara uygun biçimde soğutma sorunlarıyla ilgili teknik seçeneklerin belirlenmesi, bunların teknik yönden analizi ve maliyet etken yatırım kararının verilmesi ile ilgili mühendislik yaklaşımının ortaya konulmasıdır.

Bu kararın başlangıç koşulu enerji verimliliğinin ve çevresel uyumluluğunun dikkate alınmasıdır. Sınır şartları ise, tüm işletme boyunca çevreyi minimum kirleterek küresel ısınmanın yaratacağı soğutma sorunlarının ekonomik yönden sürdürülebilir biçimde çözümünün sağlanmasıdır.

Bu bağlamda ek kalıcı emisyon yaratmayan güneş enerjisi, jeotermal enerji, biyoenerji, atık ısı v.b.'nin kullanılarak ısıtma-soğutma süreçlerinin yatırım ve işletme ekonomisi yönünden en uygun sistem seçiminin yapılması, yatırım kararının verilmesi ile ilgili teknik ve ekonomik analizler ön plana çıkmaktadır.

Söz konusu model biçimindeki uygulamada büyük soğutma kapasiteli bir otelin konuyla ilgili sorununun çözümüdür.

7.1 Yatırımın Net Bugünkü Değer Yöntemiyle Analizi

Net bugünkü değer yöntemi, herşeyden önce bir projenin tüm yaşamı boyunca yaratacağı faydaları göz önüne almaktadır. Bu yönteme göre proje değerlendirmede, önceden belirlenen bir (i) iskonto oranına göre, projenin sağlayacağı faydaların bugünkü değerlerinin toplamı ile yatırım harcamalarının bugünkü değerlerinin toplamı arasındaki fark bulunmaktadır.

Bulunan net bugünkü değer pozitif ise proje kabul edilir aksi ise proje ret edilir.

$$NBD = \sum_{n=m+1}^t \frac{F_n}{(1+i)^n} - \sum_{n=0}^m \frac{M_n}{(1+i)^n} \quad (7.1)$$

F_n : n. yıldaki fayda

M_n : n. yıldaki yatırım

m: Yatırımın tamamlanma yılı

t-m: Projenin ekonomik ömrü

i: İskonto oranı

7.2 Yatırımın İç Karlılık Oranı Yöntemiyle Analizi

Bu yöntem, bir yatırım projesinin ne oranda gelir getireceğinin veya fayda sağlayacağını hesaplanmasıyla ilgilidir. İç karlılık oranı metodunda iskonto oranı (i) bir veri değil bir bilinmeyendir. Projeye ait nakit girişlerini, nakit çıkışlarına eşitleyen verim oranı hesaplanır. Bulunan verim oranı ile yatırımcının belirlediği iskonto oranı karşılaştırarak projenin kabul veya reddine karar verilir.

$$\sum_{n=m+1}^t \frac{F_n}{(1+r)^n} = \sum_{n=0}^m \frac{M_n}{(1+r)^n} \quad (7.2)$$

F_n : n. yıldaki fayda

M_n : n. yıldaki yatırım

m: Yatırımın tamamlanma yılı

t-m: Projenin ekonomik ömrü

r : İç karlılık oranı

7.2.1 Sistemin İlk Yatırım Maliyetleri

Sistemin ilk yatırım maliyetinin belirlenmesinde, sistemde kullanılan tüm bileşenlerin fiyatları piyasadan elde edilmiştir. İşletme maliyetlerinin de kurulan sistemin çalışma sekline bağlı olarak, Excel programı kullanılarak saatlik hesabı yapılmıştır.

Mevcut durumda sistemde kullanılan iki soğutma grubu yerine yeni durumda kullanılan soğutma gruplarından biri absorpsiyonlu soğutma grubudur. Bu soğutma grubu için 615 adet POGK kullanılmıştır.

Mevcut durumda kullanılan klima santrali ve egzost fanları yerine ise ısı geri kazanımlı klima santralleri kullanılmıştır.

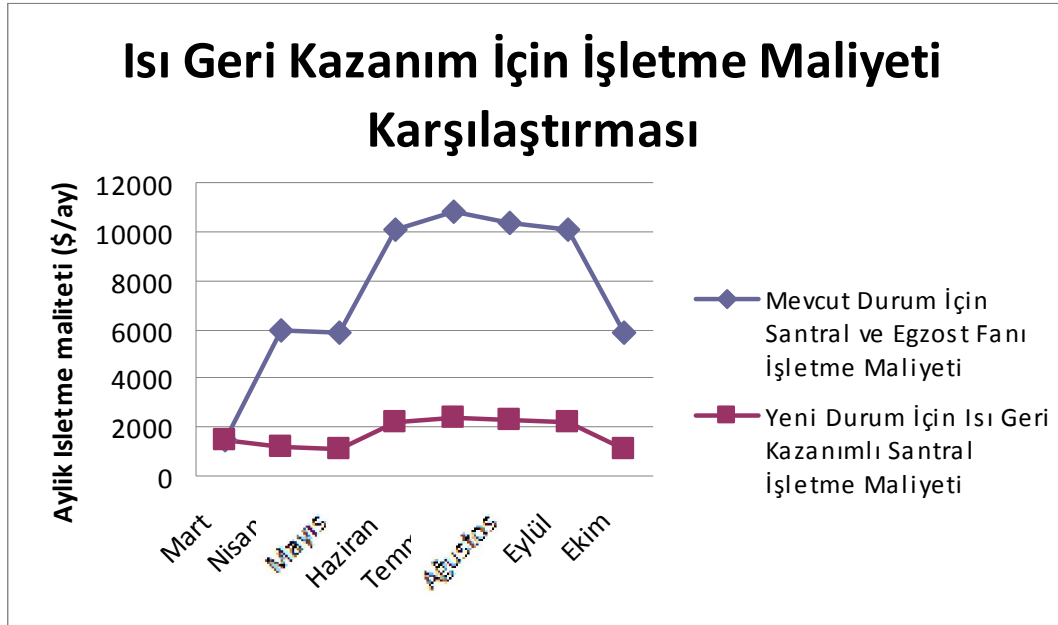
Sistemin her iki durumu için ekipmanların fiyatları Çizelge 7.1 ve Çizelge 7.2'de görülmektedir.

MEVCUT DURUM İLK YATIRIM MALİYETLERİ			
Marka Model	Montajlı Birim Fiyatı (\$)	Adet	Toplam
Trane	355000	1	355000
Marka Model			
Montajlı Birim Fiyatı (\$)	Adet	Toplam	
AHU-HT-NF-1	12000	1	12000
AHU-HT-NF-2	12000	1	12000
AHU-HT-ROOF-1	4500	1	4500
AHU-HT-ROOF-2	9600	1	9600
AHU-TT-ROOF-1	11500	1	11500
AHU-TT-ROOF-2	9500	1	9500
AHU-TT-MF-1	10500	1	10500
AHU-TT-MF-2	9200	1	9200
AHU-TT-MF-3	10200	1	10200
AHU-TT-MF-4	8600	1	8600
Marka Model			
Montajlı Birim Fiyatı (\$)	Adet	Toplam	
EF-HT-NF-1	7150	1	7150
EF-HT-NF-2	6650	1	6650
EF-HT-ROOF-1	3000	1	3000
EF-HT-ROOF-2	5000	1	5000
EF-TT-ROOF-1	4100	1	4100
EF-TT-ROOF-2	4100	1	4100
EF-TT-MF-1	4600	1	4600
EF-TT-MF-2	3900	1	3900
EF-TT-MF-3	4450	1	4450
EF-TT-MF-4	3700	1	3700
TOPLAM MALİYET(\$)			499250

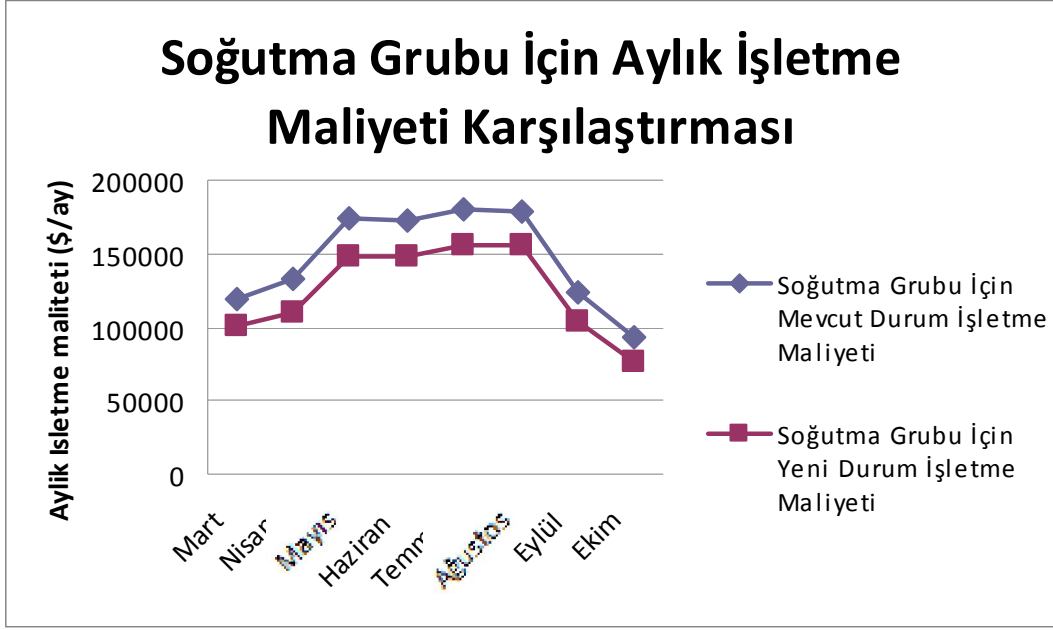
Çizelge 7.1. Mevcut durum ilk yatırım maliyetleri

YENİ DURUM İLK YATIRIM MALİYETLERİ			
Marka Model	Montajlı Birim Fiyatı (\$)	Adet	Toplam
Trane	573850	1	573850
Marka Model	Montajlı Birim Fiyatı (\$)	Adet	Toplam
RAHU-HT-NF-1	26600	1	26600
RAHU-HT-NF-2	26600	1	26600
RAHU-HT-ROOF-1	9250	1	9250
RAHU-HT-ROOF-2	22000	1	22000
RAHU-TT-ROOF-1	25000	1	25000
RAHU-TT-ROOF-2	22000	1	22000
RAHU-TT-MF-1	23300	1	23300
RAHU-TT-MF-2	21300	1	21300
RAHU-TT-MF-3	23100	1	23100
RAHU-TT-MF-4	19900	1	19900
Marka Model	Montajlı Birim Fiyatı (\$)	Adet	Toplam
Solitem parabolik güneş kolektörü	950	615	584250
Spirax Sarco Buhar üretici Kontrol mekanizması	53150	1	53150
	201250		201250
TOPLAM MALİYET(\$)			1.631.550

Çizelge 7.2. Yeni durum ilk yatırım maliyetleri



Şekil 7.1. Isı geri kazanım işletme maliyeti karşılaştırma grafiği



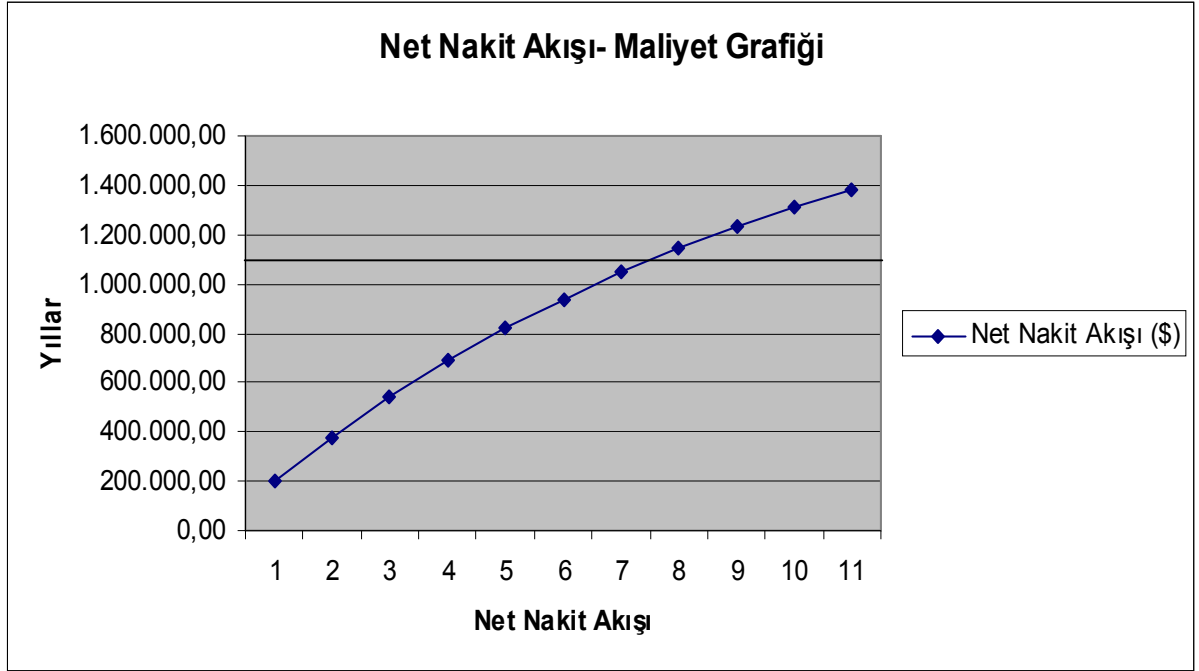
Şekil 7.2. Soğutma grubu işletme maliyeti karşılaştırma grafiği

Yıllar (n)	Yatırım Maliyeti (M)	Yakıt Tasarrufu (F)	Net Nakit Akışı (NNA)	Bugünkü Değer Faktörü (BDF)	NNA*BDF	NBD (\$)
0	-1.132.300,00		-1132300	1	-1132300	464.338,42
1		222.036,91	222036,905	0,901	200033,248	
2		222.036,91	222036,905	0,812	180210,133	
3		222.036,91	222036,905	0,731	162351,471	
4		222.036,91	222036,905	0,659	146262,587	
5		222.036,91	222036,905	0,593	131768,096	
6		222.036,91	222036,905	0,535	118709,997	
7		222.036,91	222036,905	0,482	106945,943	
8		222.036,91	222036,905	0,434	96347,6962	
9		222.036,91	222036,905	0,391	86799,7263	
10		222.036,91	222036,905	0,352	78197,9517	
11		222.036,91	222036,905	0,317	70448,6051	
12		222.036,91	222036,905	0,286	63467,2118	
13		222.036,91	222036,905	0,258	57177,6683	
14		222.036,91	222036,905	0,232	51511,4129	
15		222.036,91	222036,905	0,209	46406,6783	

Çizelge 7.3. Yatırımın net bugünkü değer yöntemi tablosu ile maliyet analizi

Çizelge 7.3'de de görüldüğü gibi yatırım 7 yıl 10 ay içerisinde kara geçmektedir. Sistemin iç karlılık oranına da bakacak olursak, değerler denklem (7.2)'de yerine konduğunda %18

olduđu grlmektedir.



Şekil 7.3. Geri ödeme süresinin grafikte gösterilmesi

8. SONUÇLAR

Katar'da uygulanmakta olan, 240000 m² üzerine kurulu beş adet binadan oluşan bir otel projesinde uygulanmak üzere, güneş enerjisi destekli absorpsiyonlu soğutma sistemi tasarlanmıştır. Yapının ısı kazançları ve soğutma yükleri saatlik olarak, Carrier HAP 4.3 programı kullanılarak hesaplanmıştır. Maksimum soğutma yükü toplam 9980 kW olup tasarım sıcaklığı 46 °C'dir.

Mevcut durumda 2 adet TRANE Marka soğutma grubu kullanılması düşünülürken yeni durumda soğutma gruplarından biri yine TRANE Marka absorpsiyonlu soğutma grubudur. Mevcut durumdaki soğutma grubu COP'si 3.75 iken absorpsiyonlu soğutma grubunun COP'si 1.19 dur.

Saatlik olarak her bir soğutma grubunun işletme maliyeti hesaplanmış ve kontrol mekanizması sayesinde güneş ışınlarının yeterli olduğu 6-17 saatleri arası absorpsiyonlu sistem tam kapasiteyle çalışmaktadır. Absorpsiyonlu sistemin yetersiz olduğu öğlen saatlerinde ise diğer soğutma grubuyla desteklenmektedir. 17-6 saatleri arası ise COP'si yüksek olan grubun tam kapasiteyle çalıştığı düşünülmüştür. Aynı şekilde kapasitesinin yetersiz olduğu anlarda absorpsiyonlu sistemle desteklenmiştir. Böylece gün içerisinde güneş enerjili absorpsiyonlu sistem ile elektrik tasarrufu yapılırken; gece saatlerinde COP'sinin düşük olmasının dezavantajı diğer soğutma grubunun devreye girmesi ile önemli ölçüde azaltılmıştır.

Absorpsiyonlu soğutma grubu için yüksek sıcaklıklara ihtiyaç vardır. Bu nedenle absorpsiyonlu soğutma sistemi için gereken buhar debisi 615 adet Solitem Marka Parabolik Oluklu Güneş Kollektörü ile sağlanmaktadır. Projenin bulunduğu bölge güneş ışınlarının yoğun olduğu bir bölge olmasına rağmen çıkan yüksek miktardaki POGK adedi yatırım maliyetini önemli miktarda artırmıştır. Ayrıca bu amaçla binaların tüm çatı alanı Parabolik Oluklu Güneş Kollektörleri için kullanılmıştır.

Görülen bir başka eksiklik olan enerjinin boşa kullanımını önlemek için Isı geri kazanımlı cihazlar kullanılmıştır. Mevcut durumda kullanılan 10 adet McQuay hava santrali ve 10 adet Novovent marka egzost fanları için işletme maliyetleri saatlik hesaplanmış ve yeni durum için kullanılan 10 adet McQuay ısı geri kazanımlı santrallerin saatlik işletme şartları ile karşılaştırılmıştır. Yapılan ilk yatırım ve işletme maliyetleri karşılaştırmasında yeni durumun her iki karşılaştırmada da avantajlı olduğu görülmüştür.

Son aşamada ise sistem ömrü 15 yıl kabul edilip, her iki durumdaki yatırım ve saatlik işletme maliyetleri hesaplanmıştır. Geri ödeme süresinin net bugünkü değer yöntemi ile 7 yıl 6 ay olduğu görülmüştür. Ayrıca sistemin iç karlılık oranı hesaplanarak uygulanması düşünülürse mevcut sistemden daha karlı olduğu gösterilmiştir.

Daha önce yapılan çalışmalarda soğutma yükünün yüksek olması durumunda güneş enerjisi destekli soğutmanın uygun olmadığı sonucuna varılmıştır. Bunun nedeni absorpsiyonlu soğutma grubu ve POGK'lerin yatırım maliyetinin yüksek ve soğutma grubunun COP'sinin düşük olmasıdır. Fakat bu çalışmada gece ve gündüz için iki farklı soğutma grubu kullanarak güneş enerjisi destekli absorpsiyonlu soğutma grubunun avantajı gün içerisinde kullanılmış ve gece için diğer soğutma grubunun devreye girmesi ve absorpsiyonlu grupla desteklenmesi öngörülmüştür.

Ayrıca ısı geri kazanımlı santral kullanılması durumunda elde edilen kar projenin amortisman süresini önemli ölçüde etkilemiş ve yanlış projelendirme ile kaybedilen enerji ve paranın küçümsenmeyecek miktarda olduğunu göstermiştir.

İklim koşullarının absorpsiyonlu soğutmaya uygun olduğu ülkelerde yapılacak projelerde birkaç bina için ortak bir soğutma merkezi uygulaması ve bu merkez çevresine POGK ve fotovoltaik piller yerleştirilerek; çok düşük işletme maliyetiyle soğutma sağlanabilir. Projenin bulunduğu bölgede kış aylarında ısıtma yapılmaması geri ödeme süresi için bir dezavantaj olsa da bu merkezlerden binaların kış döneminde sıcak su ihtiyacı POGK'ler yardımıyla elde edilebilir.

Küresel ısınmanın baş gösterdiği, bitmeyecek sandığımız fosil yakıtların tükenmekte ve fiyatlarının artmakta olduğu günümüz dünyasında, mevcut enerji kaynaklarını mümkün olduğunca tasarruflu kullanmak ve yenilenebilir enerji kaynaklarına yönelmek kaçınılmaz bir zorunluluktur. Bunun gerçekleşebilmesi için de enerji sarf eden sistemlerin, yüksek etkinlikle çalışmaları gerekmektedir. Düşük işletme maliyetleri ve çevre dostu olması, bu sistemlerin en büyük avantajıdır. Ancak absorpsiyonlu soğutma grubu ve POGK maliyetlerinin yüksek olması sebebiyle, bu sistemlerin ön araştırmasının yapılıp, uygunluğunun belirlenmesi mutlak gerekliliktir.

KAYNAKLAR

- Agyenim F., Knight I. ve Rhodes M., (2010) "Design and Experimental Testing of the Performance of an Outdoor LiBr/H₂O Solar Thermal Absorption Cooling System with a Cold Store" *Solar Energy* 84: 735-744
- Ahmedullah S.S., (2006) *Integrated Solar Energy and Absorbtion Cooling Model for HVAC Applications in Buildings*, Doktora Tezi, Michigan Technological University, Michigan.
- Altaner (2002) "Technical Overview of active techniques" (2002) *Promoting Solar Air Conditioning*, 4.1030/Z/02-121.
- Althouse A.D., Turquist C.H., (1942) "Modern Electric and Gas Refrigeration", The Goodheart Willcox Company Inc., Chicago
- Aydın T., (1998) *Güneş Enerjisi ile Desteklenmiş LiBr-H₂O Soğurmalı İklimlendirme Sistemi*, Yüksek Lisans Tezi, Gazi Üniversitesi Fen Bilimleri Enstitüsü., Ankara 97-138
- Balghouthi M., Chahbani M.H. ve Guizani A., (2008) "Feasibility of Solar Absorption Air Conditioning in Tunisia" *Building and Environment* 43:1459–1470
- Ben Ezine N., Garma R. ve Bellagi A., (2010) "A Numerical Investigation of a Diffusion-Absorption Refrigeration Cycle Based on R124-DMAC Mixture for Solar Cooling" *Energy*, 35:1874-1883
- Büyükalaca O. ve Yılmaz T., (2003) "Güneş Enerjisi ile Soğutma Teknolojilerine Genel Bir Bakış" *Tesisat müh. Dergisi.*, 75, 45-56.
- Clausse M., Alam K.C.A ve Meunier F.,(2008) "Residential Air Conditioning and Heating by Means of Enhanced Solar Collectors Coupled to an Adsorption System" *Solar Energy* 82:885–892
- Çelik A.T., (2007) *Absorbsiyonlu Soğutma Sistemleri*, Yüksek Lisans Tezi, Gebze İleri teknoloji Enstitüsü Fen Bilimleri Enstitüsü, İstanbul.
- Çolak L., (200) *Güneşi Takip eden Parabolik Oluk Tipi Güneş Kolektörlerinin Matematiksel Modellenmesi Tasarımı ve Teknik Optimizasyonu*, Doktora Tezi, Gazi Üniversitesi Fen Bilimleri Enstitüsü, Ankara 89-123 (2000).
- Duff W.S., Winston R., O’Gallagher J.J., Bergquam J. ve Henkel T., (2004) "Performance of the Sacramento Demonstration ICPC Collector and Double Effect Chiller" *Solar Energy* 76:175–180.
- Eicker U. ve Pietruschka D., (2009) "Design and Performance of Solar Powered Absorption Cooling Systems in Office Buildings" *Energy and Buildings* 41:81–91
- Eissa M.A.W., (1997) "Design of Thermodynamic Charts for Hydrocarbon Mixtures and Influence of Operating Temperatures for Solar Absorption Cooling Cycle" *Energy Sources*, 19:887-900.
- Elsafy A ve Al-Daini A.J., (2000) "Economical Comparison Between a Solarpowered Vapour Absorption Air-Conditioning System and a Vapour Compression System in the Middle East" *Renewable Energy* 25:569–583.

- Ermış K. ve Kılıçaslan İ., (1995) “Güneş Enerjisiyle Soğurmalı Soğutma” 5. Türk Alman Enerji Sempozyumu Bidiri Kitabı, s. 25-35.
- Florides G.A., Kalogirou S.A., Tassou S.A. ve Wrobel L.C., (2002) “Modelling and Simulation of an Absorption Solar Cooling System for Cyprus” *Solar Energy* 72:43–51.
- Gomri.R., (2009) “Investigation of the Potential of Application of Single Effect and Multiple Effect Absorption Cooling Systems” , *Energy Conversion and Management*
- Goralı E., (2007) Güneş Enerjili Absorbsiyonlu Soğutma Sistemi, Yüksek Lisans Tezi, İ.T.Ü. Fen Bilimleri Enstitüsü, İstanbul.
- Gordon J. M., ve Kim Choon N.G., (1998) “High Efficiency Solar Cooling” *Solar Energy*, 68:23-31
- Henning H. M., Erpenbeck T., Hindenburg C. ve Paulussen S., (1998) “Solar Cooling of Buildings Possible Techniques, Potential and International Development” *Eurosun’98*.
- Henning H.M., (2004) “Solar-Assisted Air-Conditioning in Buildings” Springer Press, Viyana.
- Henning H.M., (2007) “Solar Assisted Air Conditioning of Buildings – an Overview” *Applied Thermal Engineering* 27:1734–1749
- Hilali (1995) Güneş Enerjisi Destekli Absorbsiyonlu Soğutma Sisteminin Şanlıurfa İlinde Bir Konuta Uygulanması, Yüksek Lisans Tezi, Harran Üniversitesi Fen Bilimleri Enstitüsü, Şanlıurfa.
- Höfker G., Eicker U., Lomas K. ve Eppel H., (2001) “Dessicant Cooling With Solar Energy” CIBSE Conference, London.
- Joudi K.A. ve Abdul-Ghafour Q. J.,(2003) “Development of Design Charts for Solar Cooling Systems. Part I: Computer Simulation for a Solar Cooling System and Development of Solar Cooling Design Charts” *Energy Conversion and Management* 44:313–339
- Karail Ç., (2004) Klima Santrallerinde Isı Geri Kazanım Cihazlarının İncelenmesi ve Optimizasyonu, Y.T.Ü. Fen Bilimleri Enstitüsü, İstanbul.
- Kesten, D. ve Tereci, A., (2005) Soğutma Sistemlerinde Güneş Enerjisi Kullanımı, Güneş Enerjisi Sistemleri Sempozyumu ve Sergisi, Mersin, 24-25 Haziran, s. 18-26.
- Khan, K. H. ve Rasul, M. G., (2004) “Energy Conservation in Buildings: Cogeneration and Cogeneration Coupled with Thermal-energy Storage”, *Applied Energy*, 77:15–34
- Kim. D.S. ve Ferreria. C.A., (2006) “A Gibbs Energy Equation for LiBr Aqueous Solutions” , *International Journal of Refrigeration*, 29:36-46
- Kouremenos D.A., Rogdakis E.D. ve Antonopoulos, K.A., (1994) ”Cogeneration with Combined Gas and Aqua-Ammonia Absorption Cycles, Thermodynamics and the design analysis and Improvement of Energy Systems”, *American Society of Mechanical Engineers.*, AES 33: 231-238
- Kuzgun Ö., (1997) Güneş Enerjili Absorbsiyonlu Soğutma Sisteminin İncelenmesi, Yüksek Lisans Tezi, İ.T.Ü. Fen Bilimleri Enstitüsü, İstanbul.
- Li Z.F. ve Sumathy K., (2002) “Performance Study of a Partitioned Thermally Stratified Storage Tank in a Solar Powered Absorption Air Conditioning System” *Applied Thermal*

Engineering 22:1207–1216

Liu Y.L. ve Wang R.Z., (2004) “Performance Prediction of a Solar/Gas Driving Double Effect LiBr–H₂O Absorption System” Renewable Energy 29:1677–1695.

Marc O., Lucas F., Sinama F. ve Monceyron E., (2009) “Experimental Investigation of a Solar Cooling Absorption System Operating Without any Backup System Under Tropical Climate” , Energy and Buildings, 42:774-782

Monlahasan A., (2005) Güneş Enerjili Absorbsiyonlu Soğutma Sistemi, Yüksek Lisans Tezi, Osmangazi Üniversitesi Fen Bilimleri Enstitüsü, Eskişehir.

Özkol N., (2004) Uygulamalı Soğutma Tekniği, Özkan Matbaacılık, İstanbul.

Öztürk A. ve Kılıç A., (1998) Çözümlü Problemlerle Termodinamik, Çağlayan Kitabevi, İstanbul.

Pongtornkulpanicha A., Thepaa S., Amornkitbamrungrb M. ve Butcher C., (2008) “Experience with Fully Operational Solar-Driven 10-ton LiBr/H₂O Single-Effect Absorption Cooling System in Thailand” Renewable Energy 33:943–949

Qu M., (2008) “Model Based Design and Performance Analysis of Solar Absorbtion Cooling and Heating System” Doktora Tezi, Carnegie Mellon University, Pennsylvania.

Reddy B. V. ve Ramkiran K. A., (2002) ”Second law analysis of a waste heat recovery steam generator”, International Journal of Heat and Mass Transfer, 45:1807–1814

Sabatelli V., Fiorenza G. ve Marano D., (2005) “Technical Status Report on Solar Desalination and Solar Cooling” New Generation of Solar Thermal Systems European Comission FP 6 Project Technical Report.

Sözen A., Özalp M., Arcaklıoğlu E., (2004) “Prospects for Utilisation of Solar Driven Ejector-Absorption Cooling System in Turkey” Applied Thermal Engineering 24:1019–1035.

Sumathy K., Yeung K.. H. ve Yong L., (2003) “Technology Development in the Solar Adsorption Refrigeration Systems” Progress in Energy and Combustion Science, 29, 301–327.

Şencan A., Yakut K., ve Kalogirau S., (2005) “Exergy Analysis of Lithium Bromide/Water Systems” Renewable Energy, 30:645-657

T. Tsoutsos, E. Aloumpi, Z. Gkouskos ve M. Karagiorgas., (2009) “Design of a Solar Absorption Cooling System in a Greek Hospital” Energy and Buildings, 42:265-272

Tetik K.O., (2006) Li-Br / Su İle Çalışan Güneş Enerjili İklimlendirme Sistemi ve Bir Uygulama, yüksek Lisans Tezi, Y.T.Ü. Fen Bilimleri Enstitüsü, İstanbul.

Tleimat B.W. ve Howe, E.D., (1978) “A Solar Assisted Heat Pump System for Heating and Cooling Residences, Solar Energy, 12:21-45

Tozer. R. ve Syed. A., (2005) “Extended T-s Diagrams for Aqueous LiBr/water Absorption Refrigeration Cycles”, International Journal of Refrigeration, 28:689-697

Trane Absorbsiyonlu Soğutma Grubu Kataloğu

Yamankaradeniz R., Horuz İ. ve Coşkun S., (2002) “Soğutma Tekniği ve Uygulamaları”, Vipaş, Bursa.

Yılmaz T. ve Büyükalaca O., (2000) “Desisif-Evaporatif Soğutma Sistemleri” Tesisat Mühendisliği Kongresi, Kasım.

Yılmazoğlu M. Z., (2006) Bir Tekstil Fabrikasında Güneş Destekli Çift Etkili Bir absorpsiyonlu Soğutma Sisteminin Uygulamasının Teknik ve Ekonomik Analizi, Yüksek Lisans Tezi, Gazi üniversitesi Fen Bilimleri Enstitüsü, Ankara.

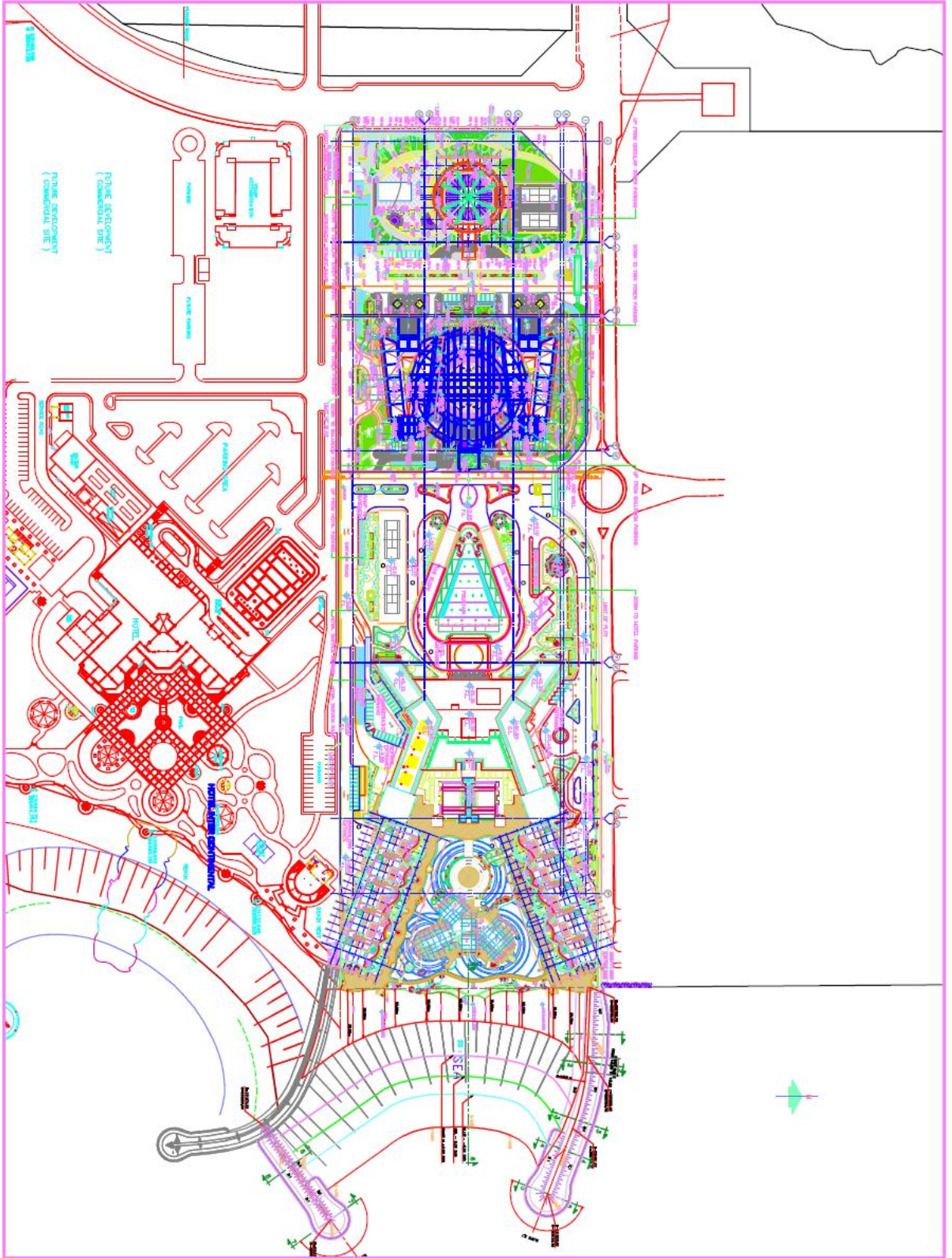
Yiğit A., (1984) Güneş Enerjisinden Faydalanarak Çalışan Soğutma Sistemleri, Yüksek Lisans Tezi, İ.T.Ü. Fen Bilimleri Enstitüsü, İstanbul.

Zhai X.Q. ve Wang R.Z., (2009) “Experimental Investigation and Theoretical Analysis of the Solar Adsorption Cooling System in a Green Building” Applied Thermal Engineering 29:17–27

Ziegler F. ve Alefeld G., (1987) ”Coefficient of Performance of Multistage Absorption Cycles”, Rev. Int. Froid., 10: 285-295

EKLER

Ek 1 Proje Vaziyet Planı



Ek 2 Katar'a Ait Saatlik Kuru Termometre ve Yaş Termometre Sıcaklıkları

Saat	Ocak		Şubat		Mart		Nisan		Mayıs		Haziran	
	KT	YT	KT	YT	KT	YT	KT	YT	KT	YT	KT	YT
00.00	26,5	13,9	27,6	14,5	29,6	16,7	30,5	17,1	32,3	17,7	33,4	19,0
01.00	26,0	13,7	27,1	14,3	29,1	16,6	30,0	16,9	31,7	17,5	32,8	18,8
02.00	25,4	13,5	26,5	14,1	28,5	16,4	29,4	16,7	31,2	17,4	32,3	18,6
03.00	25,0	13,3	26,1	13,9	28,1	16,2	29,0	16,6	30,8	17,2	31,9	18,5
04.00	24,7	13,2	25,8	13,8	27,8	16,1	28,7	16,5	30,4	17,1	31,6	18,4
05.00	24,6	13,1	25,7	13,8	27,7	16,1	28,6	16,4	30,3	17,1	31,4	18,3
06.00	24,8	13,2	25,9	13,8	27,9	16,1	28,8	16,5	30,5	17,1	31,7	18,4
07.00	25,3	13,4	26,4	14,1	28,4	16,3	29,3	16,7	31,1	17,3	32,2	18,6
08.00	26,3	13,8	27,4	14,4	29,4	16,7	30,3	17,0	32,1	17,7	33,2	18,9
09.00	27,7	14,3	28,8	15,0	30,8	17,2	31,7	17,5	33,5	18,1	34,6	19,3
10.00	29,3	14,9	30,4	15,5	32,4	17,7	33,3	18,1	35,1	18,7	36,2	19,9
11.00	31,1	15,6	32,2	16,2	34,2	18,3	35,1	18,7	36,9	19,3	38,0	20,4
12.00	32,9	16,2	34,0	16,8	36,0	18,9	36,9	19,2	38,6	19,8	39,7	20,9
13.00	34,1	16,7	35,3	17,3	37,3	19,3	38,1	19,6	39,9	20,2	41,0	21,3
14.00	35,0	17,0	36,1	17,6	38,1	19,6	39,0	19,9	40,8	20,5	41,9	21,6
15.00	35,3	17,1	36,4	17,7	38,4	19,7	39,3	20,0	41,1	20,6	42,2	21,7
16.00	35,0	17,0	36,1	17,6	38,1	19,6	39,0	19,9	40,8	20,5	41,9	21,6
17.00	34,3	16,7	35,4	17,3	37,4	19,3	38,3	19,7	40,0	20,2	41,1	21,4
18.00	33,1	16,3	34,2	16,9	36,2	19,0	37,1	19,3	38,8	19,9	40,0	21,0
19.00	31,7	15,8	32,8	16,4	34,8	18,5	35,7	18,8	37,4	19,4	38,6	20,6
20.00	30,3	15,3	31,4	15,9	33,4	18,0	34,3	18,4	36,0	19,0	37,2	20,2
21.00	29,1	14,9	30,2	15,5	32,2	17,6	33,1	18,0	34,9	18,6	36,0	19,8
22.00	28,0	14,5	29,1	15,1	31,1	17,3	32,0	17,6	33,8	18,2	34,9	19,4
23.00	27,1	14,1	28,3	14,7	30,3	17,0	31,1	17,3	32,9	17,9	34,0	19,2

Ek 2 Katar'a Ait Saatlik Kuru Termometre ve Yaş Termometre Sıcaklıkları (Devam)

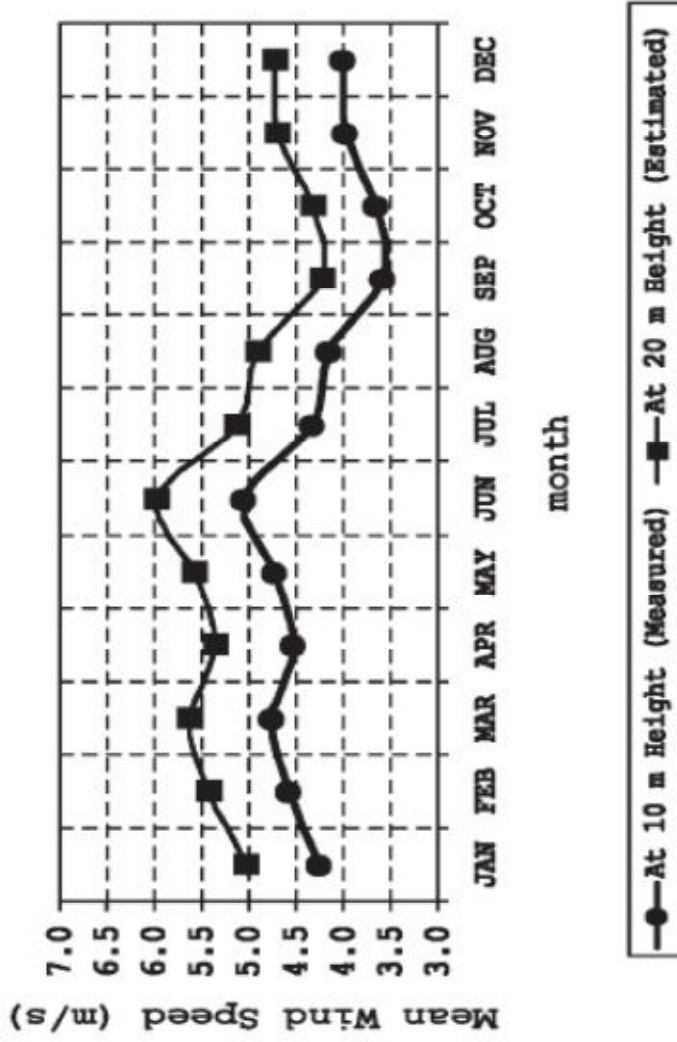
Saat	Temmuz		Ağustos		Eylül		Ekim		Kasım		Aralık	
	KT	YT	KT	YT	KT	YT	KT	YT	KT	YT	KT	YT
00.00	33,9	19,0	33,9	19,0	32,8	18,3	31,4	17,4	28,8	16,1	27,1	14,9
01.00	33,4	18,8	33,4	18,8	32,3	18,2	30,8	17,2	28,3	15,9	26,5	14,7
02.00	32,9	18,6	32,9	18,6	31,8	18,0	30,3	17,0	27,8	15,7	26,0	14,5
03.00	32,4	18,5	32,4	18,5	31,3	17,8	29,9	16,8	27,3	15,6	25,5	14,3
04.00	32,1	18,4	32,1	18,4	31,0	17,7	29,6	16,7	27,0	15,5	25,2	14,2
05.00	32,0	18,3	32,0	18,3	30,9	17,7	29,4	16,7	26,9	15,4	25,1	14,1
06.00	32,2	18,4	32,2	18,4	31,1	17,8	29,7	16,8	27,1	15,5	25,3	14,2
07.00	32,8	18,6	32,8	18,6	31,6	18,0	30,2	17,0	27,6	15,7	25,9	14,4
08.00	33,7	18,9	33,7	18,9	32,6	18,3	31,2	17,3	28,6	16,0	26,8	14,8
09.00	35,1	19,3	35,1	19,3	34,0	18,7	32,6	17,8	30,0	16,5	28,2	15,3
10.00	36,7	19,9	36,7	19,9	35,6	19,3	34,2	18,3	31,6	17,1	29,9	15,9
11.00	38,6	20,4	38,6	20,4	37,5	19,8	36,0	18,9	33,5	17,7	31,7	16,6
12.00	40,3	20,9	40,3	20,9	39,2	20,4	37,7	19,5	35,2	18,3	33,4	17,2
13.00	41,6	21,3	41,6	21,3	40,5	20,8	39,0	19,9	36,5	18,7	34,7	17,6
14.00	42,5	21,6	42,5	21,6	41,3	21,0	39,9	20,1	37,3	19,0	35,6	17,9
15.00	42,8	21,7	42,8	21,7	41,7	21,1	40,2	20,2	37,7	19,1	35,9	18,0
16.00	42,5	21,6	42,5	21,6	41,3	21,0	39,9	20,1	37,3	19,0	35,6	17,9
17.00	41,7	21,4	41,7	21,4	40,6	20,8	39,1	19,9	36,6	18,8	34,8	17,6
18.00	40,5	21,0	40,5	21,0	39,4	20,4	38,0	19,5	35,4	18,4	33,6	17,2
19.00	39,1	20,6	39,1	20,6	38,0	20,0	36,6	19,1	34,0	17,9	32,2	16,7
20.00	37,7	20,2	37,7	20,2	36,6	19,6	35,2	18,6	32,6	17,4	30,8	16,3
21.00	36,5	19,8	36,5	19,8	35,4	19,2	34,0	18,2	31,4	17,0	29,6	15,8
22.00	35,4	19,4	35,4	19,4	34,3	18,8	32,9	17,9	30,3	16,7	28,6	15,4
23.00	34,6	19,2	34,6	19,2	33,5	18,6	32,0	17,6	29,5	16,4	27,7	15,1

SOĐUTMA YÜĐÜ DEĐİŐİMİ								
	Mart	Nisan	Mayıs	Haziran	Temmuz	Ađustos	Eylöl	Ekim
0.00	3591,809 429	4229,7369 73	5599,2009 93	5789,8858 56	5876,560 79	5876,560 79	3980,113 15	2721,593 05
1.00	3531,136 973	4160,3970 22	5495,1910 67	5685,8759 31	5789,885 86	5789,885 86	3919,440 69	2669,588 09
2.00	3458,330 025	4077,1890 82	5408,5161 29	5599,2009 93	5703,210 92	5703,210 92	3858,768 24	2626,250 62
3.00	3409,792 06	4021,7171 22	5339,1761 79	5529,8610 42	5616,535 98	5616,535 98	3798,095 78	2591,580 65
4.00	3373,388 586	3980,1131 51	5269,8362 28	5477,8560 79	5564,531 02	5564,531 02	3761,692 31	2565,578 16
5.00	3361,254 094	4014,5404 3	5449,0042 11	5648,6326 43	5661,418 17	5573,515 67	3749,557 82	2548,243 18
6.00	3733,811 176	4644,0507 85	6090,8147 02	6291,6796 99	6285,086	6182,107 2	4270,322 6	2942,209 61
7.00	4449,919 417	5332,0301 25	7024,8899 7	7194,1102 7	7219,161 26	7145,568 47	5208,844 61	3854,964 12
8.00	5155,407 1	6006,5575 27	7697,0354 21	7856,5455 61	7880,359 99	7831,809 19	5871,403 16	4474,420 19
9.00	6036,533 628	6864,1688 31	8321,9989 06	8478,4426 8	8530,337 86	8486,925 28	6453,201 24	4993,881 65
10.00	6536,299 992	7349,2531 08	8839,8129 27	8999,5785 98	9441,502 73	9031,314 47	6900,839 38	5366,883 04
11.00	7132,497 156	7942,9232 22	9483,3680 01	9653,3548 92	9739,988 74	9713,158 04	7458,575 99	5826,825 93
12.00	7293,168 102	8112,0549 29	9696,2930 23	9882,6338 68	9952,335 6	9940,392 77	7561,372 48	5844,874 88
13.00	7211,228 862	8028,0509	9681,7047 03	9888,9990 51	9979,654 23	9931,937 18	7441,614 72	5653,215 45
14.00	6902,777 856	7750,1467 11	9455,7014 64	9687,2712 11	9796,136 22	9704,145 23	7106,333 01	5273,823 27
15.00	6396,945 566	7264,0801 57	9009,1663 82	9266,8002 42	9375,154 19	9247,644 46	6598,069 97	4723,604 42
16.00	5723,760 036	6608,6918 77	8376,8516 07	8659,0163 97	8762,515 26	8598,464 67	5914,283 14	4077,429 37
17.00	5048,287 0	5894,5097 4	7630,7756 6	7925,9725 06	8021,294 39	7845,233 87	5425,603 47	3887,990 07
18.00	4891,685 856	5644,0243 18	7224,9751 86	7432,9950 37	7519,669 98	7519,669 98	5279,989 58	3792,647 64
19.00	4721,802 978	5449,8724 57	6982,2853 6	7190,3052 11	7276,980 15	7276,980 15	5110,106 7	3671,302 73
20.00	4551,920 099	5255,7205 96	6739,5955 33	6947,6153 85	7034,290 32	7034,290 32	4940,223 82	3549,957 82
21.00	4156,806 203	4839,8047 15	6299,4106 7	6490,0955 33	6855,432 64	6576,770 47	4545,109 93	3196,447 89
22.00	4023,326 799	4687,2568 24	6108,7258 06	6299,4106 7	6386,085 61	6386,085 61	4411,630 52	3101,105 46
23.00	3926,250 868	4562,4449 13	5952,7109 18	6143,3957 82	6247,405 71	6247,405 71	4314,554 59	3023,098 01
ORT	4942,4225 18	5696,63898	7215,71004 4	7417,48063 1	7521,4949 7	7451,0059 7	5328,3227 9	3874,0631 4
07-17 ORT.	6283,8537 72	7125,79573 8	8758,68224	8956,67527 7	9067,7491 8	8963,1359 8	6651,4537 7	5008,9922 3

YATAY YÜZEYE GELEN TOPLAM İŞİNİM									
SAAT	Mart	Nisan	Mayıs	Haziran	Temmuz	Ağustos	Eylül	Ekim	
	W/(m ² *gün)	W/(m ² *gün)	W/(m ² *gün)	W/(m ² *gün)	W/(m ² *gün)	W/(m ² *gün)	W/(m ² *gün)	W/(m ² *gün)	W/(m ² *gün)
5.00	0	10,3	44	47,1	25,9	6,1	0	0	
6.00	76,3	175,7	233,4	232,2	199	162	123,7	82	
7.00	301,2	406,5	451,1	443,6	414,5	386,3	351	295,3	
8.00	523,6	605,8	635	623,7	600,7	582,6	554,1	498,3	
9.00	694,9	759,8	777,3	764,6	747,4	735,6	706,7	646,1	
10.00	809,4	855,9	862,2	850,9	840,3	833	801,4	733,3	
11.00	856,9	887,8	888	879,8	874,1	867,7	829,9	753,7	
12.00	835,7	860,7	862,4	859,6	857,2	845,3	791,8	705,3	
13.00	745,9	769,8	777,5	783,5	784	761,2	688,1	592,5	
14.00	595,1	619,8	635,4	650,8	652,7	618,5	528,1	421,1	
15.00	391,4	424,1	451,6	476,8	478,6	430,9	318,3	202,8	
16.00	153,8	193,7	233,9	269	269,1	208,1	95,6	23,4	
17.00	2,4	17,7	44,4	71,9	69,8	26	0	0	
TOPLAM (W/m ²)	5986,6	6587,6	6896,2	6953,5	6813,3	6463,3	5788,7	4953,8	

S A T	TOPLAM DİREKT İŞİNİM											
	Mart W/(m ² *gün)	Nisan W/(m ² *gün)	Mayıs W/(m ² *gün)	Haziran W/(m ² *gün)	Temmuz W/(m ² *gün)	Ağustos W/(m ² *gün)	Eylül W/(m ² *gün)	Ekim W/(m ² *gün)				
5.00	0	18,9	76,9	80,4	44,7	10,3	0	0				
6.00	136,3	254,4	314,5	311,7	275,2	234,9	194,3	144				
7.00	392,8	496,5	541,7	533,3	502,4	473,6	440,2	386,6				
8.00	621,4	706,2	736,9	724,7	700,1	681,1	652	595,1				
9.00	802,1	868,2	886,5	873,1	854,8	842,5	813,2	750,9				
10.00	921,7	971,2	980,6	968,5	956,3	947	912,4	842,6				
11.00	971,9	1008,2	1012,7	1004,6	997,8	987,3	942,8	863,9				
12.00	949,3	976,7	980,7	979	976,4	960,9	902,3	813,3				
13.00	855,5	878,7	886,8	893,3	893,7	869,4	793,7	694,2				
14.00	696,8	721,1	737,3	753,3	755,2	719,2	624,5	515,2				
15.00	484,6	514,6	542,2	568,4	570,1	520,2	406,6	289,7				
16.00	235,4	274,4	315,1	350,9	350,7	286,5	158	47				
17.00	4,3	32,9	77,4	118,3	114,9	46	0	0				
TOPLAM (W/m ²)	7072,1	7722	8089,3	8159,5	7992,3	7578,9	6840	5942,5				

SAAT	TOPLAM DİFÜZ İŞİNİM									
	Mart W/(m2*gün)	Nisan W/(m2*gün)	Mayıs W/(m2*gün)	Haziran W/(m2*gün)	Temmuz W/(m2*gün)	Ağustos W/(m2*gün)	Eylül W/(m2*gün)	Ekim W/(m2*gün)		
5.00	0	8,6	28,4	30,7	19,7	5,4	0	0		
6.00	30,2	49,8	63,6	67,8	64,7	55,7	42,5	82		
7.00	46,9	63,4	77,1	82,7	82	74,2	59	295,3		
8.00	53	69,4	83,6	90	90,2	82,4	65,7	498,3		
9.00	55,8	72,5	87	94	94,5	86,6	68,9	646,1		
10.00	57,2	74	88,7	96	96,7	88,7	70,4	733,3		
11.00	57,6	74,5	89,3	96,6	97,5	89,4	70,9	753,7		
12.00	57,4	74,1	88,7	96,2	97,1	88,9	70,3	705,3		
13.00	56,4	72,6	87	94,4	95,4	87,2	68,6	592,5		
14.00	54,3	69,8	83,6	90,9	91,9	83,5	65	421,1		
15.00	49,8	64,1	77,1	84,3	85,2	76,4	57,5	202,8		
16.00	39	51,4	63,6	71,3	71,9	61,2	38,2	23,4		
17.00	2,2	13,5	28,5	40	39,5	19,2	0	0		
TOPLAM (W/m2)	559,8	757,7	946,2	1034,9	1026,3	898,8	677	4953,8		



Ek 8 POGK'lerin optik ve ısıl performanslarının hesaplanması için hazırlanmış hesap örneği

POGK'nin Verim Hesabı

KAYIP ANALİZİ

$$\eta = K \cdot \rho_y \cdot \gamma \cdot \tau_c \cdot \alpha_b$$

ρ_y : Yansıtıcı Yüzey Işın Yansıtma Verimi;

γ : Kesişim Faktörü;

τ_c : Cam Boru Işın Geçirgenliği;

α_b : Emici Boru Işın Yutuculuk Değeri;

K=	0,95
ρ_y =	0,88
γ =	0,95
τ_c =	0,92
α_b =	0,94

$$\eta = 0,686824$$

Sistemin optik verimi

Ek 8 POGK'lerin optik ve ısıl performanslarının hesaplanması için hazırlanmış hesap örneği (Devam)

FORMÜLLER VE HESAPLAMALAR						
Id=	193,7	W/m ²			direkt ışınım	
Ta=	39	°C	312,15	K	ortam sıcaklığı	
Tg=	174	°C	Tort=	174	°C	ortalama akışkan sıcaklığı
Tç=	174	°C				
Dcd=	65	mm	0,065	m	cam örtü borusu dış çapı	
Dbd=	38,1	mm	0,0381	m	emici boru dış çapı	
Dbi=	33,7	mm	0,0337	m	emici boru iç çapı	
tc=	1,25	mm	0,00125	m	cam örtü borusu et kalınlığı	
tb=	2,2	mm	0,0022	m	emici boru et kalınlığı	
kb=	21	W/mK			emici boru ısıl iletkenliği	
eb=	0,16				emici boru ısıl yayıcılığı	
ec=	0,88				cam örtü ısıl yayıcılığı	
ab=	0,94				emici boru ısıl yutuculuğu	
Lk=	5	m			kollektörün boyu	
Wk=	1,8	m			kollektörün eni	
py=	0,88	m			yansıtıcı yüzey ışın yansıtıcılığı	
tc=	0,92				cam örtü borusu ışın geçirgenliği	
ec=	0,88				cam örtü borusu ısıl yayıcılığı	
γ=	0,95				kesişim faktörü	
K=	0,95				gelme açısı düzeltme faktörü	
Tc=	45	°C	318,15	K	cam örtü sıcaklığı	
Tbd=	174	°C	447,15	K	emici boru dış yüzey sıcaklığı	
Abd=	$\pi \cdot Dbd \cdot Lk$		Abd=	0,606552	m ²	emici boru dış yüzey alanı
Ac=	$\pi \cdot Dcd \cdot Lk$		Ac=	1,0348	m ²	
Agaç=	$Lk \cdot (Wk - Dcd)$		Agaç=	8,675	m ²	
g=	9,81	m/s ²				
ζ=	$(Dc - Dbd) / 2$		ζ=	0,01345	m	
β=	1/Tbc		β=	0,003143		hacimsel genişleme katsayısı
v=	1,80E-05	m ² /s				
Tbc=	$(Tbd + Tc) / 2$					
σ=	5,67E-08	W/m ² K ⁴			Stefan-Boltzman sabiti	
Tort=	$(Ta + Tc) / 2$					
m=	0,047	kg/s				
Cs=	4370	J/kgK				
e=						
Yog=	14,30215					

Ek 8 OGK'lerin optik ve ısı performanslarının hesaplanması için hazırlanmış hesap örneği (Devam)

hk,b-c'nin hesaplanması için öncelikle Gr*Pr değeri bulunmalıdır.

$$Gr = \frac{(g \cdot \beta \cdot (T_{bd} - T_c) \cdot \gamma^3)}{v^2}$$

$$\gamma^3 = 2,43E-06$$

$$v^2 = 3,22E-10$$

$$T_{bd} - T_c = 129$$

$$Gr = 30029,87$$

$$Pr = 1,7375 \quad (T_a + T_c)/2 = 47,5 \text{ C için}$$

$$Gr \cdot Pr = 52176,9 > 10^3 \text{ olduğundan } k_e = k_a \cdot 0,11 \cdot (Gr \cdot Pr)^{0,29} \text{ alınır.}$$

$$k_a = 0,0278 \quad T_{ort} = 47,5 \text{ C için ısı transfer katsayısı}$$

$$k_e = 0,071368$$

$$hk, b-c = 2k_e / (D_{bd} \cdot \ln(D_c / D_{bd})) \quad D_c / D_{bd} = 1,706037$$

$$1,01E+02 \quad \ln(D_c / D_{bd}) = 0,534173$$

hk,b-c = 7,013411

hr,b-c'nin hesaplanması.

$$hr, b-c = \frac{(\sigma(T_c^2 + T_{bd}^2)(T_c + T_{bd}))}{((1 - \epsilon_b) / \epsilon_b + 1 / F_{bc} + (1 - \epsilon_c) A_{bd} / \epsilon_c A_c)}$$

$$T_c^2 = 101219,4$$

$$T_{bd}^2 = 199943,1$$

$$(T_c + T_{bd}) = 765,3$$

$$T_c^2 + T_{bd}^2 = 301162,5$$

$$1 - \epsilon_b = 0,84$$

$$1 - \epsilon_c = 0,12$$

$$F_{bc} = 1$$

hr,b-c = 2,064145 W/mK

hk,c-a'nın hesaplanması:

$$Re = (\rho_a \cdot V_r \cdot D_{cd}) / \mu_a = V_r \cdot D_{cd} / \nu_a$$

T=47,5 C için;

$$\nu_a = 1,80E-05 \text{ m}^2/\text{s}$$

$$V_r = 4,5 \text{ m/s} \quad Re = 1,63E+04$$

$$D_{cd} = 0,065 \text{ M}$$

$$1000 < Re < 50000 \quad Nu = 0,3 \cdot Re^{0,6} \quad Nu = 1,01E+02$$

$$hk, c-a = k_a \cdot Nu / D_{cd}$$

hk,c-a = 43,20 W/mK

Ek 8 POGK'lerin optik ve ısı performanslarının hesaplanması için hazırlanmış hesap örneği (Devam)

hr,c-a'nın hesaplanması:

$$hr,c-a=4*\sigma*\epsilon*c*Tort^3$$

hr,c-a = 1,05E+00

UL'nin hesaplanması:

$$UL=[(1/((hk,b-c)+(hr,b-c)))+((Abd/Ac)*(1/((hk,c-a)+(hr,c-a)))]^{-1}$$

UL= 8,103158

$$Nu=0,0023*Re^{0,8}*Pr^{0,4}$$

Nu= 6,718965

$$hf=(Nu*kb)/Dbi$$

hf= 4186,892 W/mK

$$U0=[(1/UL)+(Dbd/(hf*Dbi))+((Dbd*\ln(Dbd-Dbi))/2kb)]^{-1}$$

U0= 8,420598

$$F=U0/UL$$

F= 1,039175

$$q\dot{I}A=(F*Agaç)/Lk[Id*\eta_0-(Abd/Agaç)*UL*(Ts-Ta)]$$

q\dot{I}A= 10,19597

$$FR=(m*Cs/Abd*UL)[1-\exp(-Abd*UL*F/m*Cs)]$$

FR= 1,03

$$Q\dot{I}A=FR*Agaç[qG-UL*(Abd/Agaç)(Tg-Ta)]$$

qG=Id*\eta_0 ve Tg:Akışkan kollektör giriş sıcaklığı

Q\dot{I}A= 503,512 W

$$\eta=Q\dot{I}A/(Agaç*Id)=\{FR[qG*Agaç-UL*Abd*(Tg-Ta)]\}/Agaç/Id$$

\eta= 0,299648

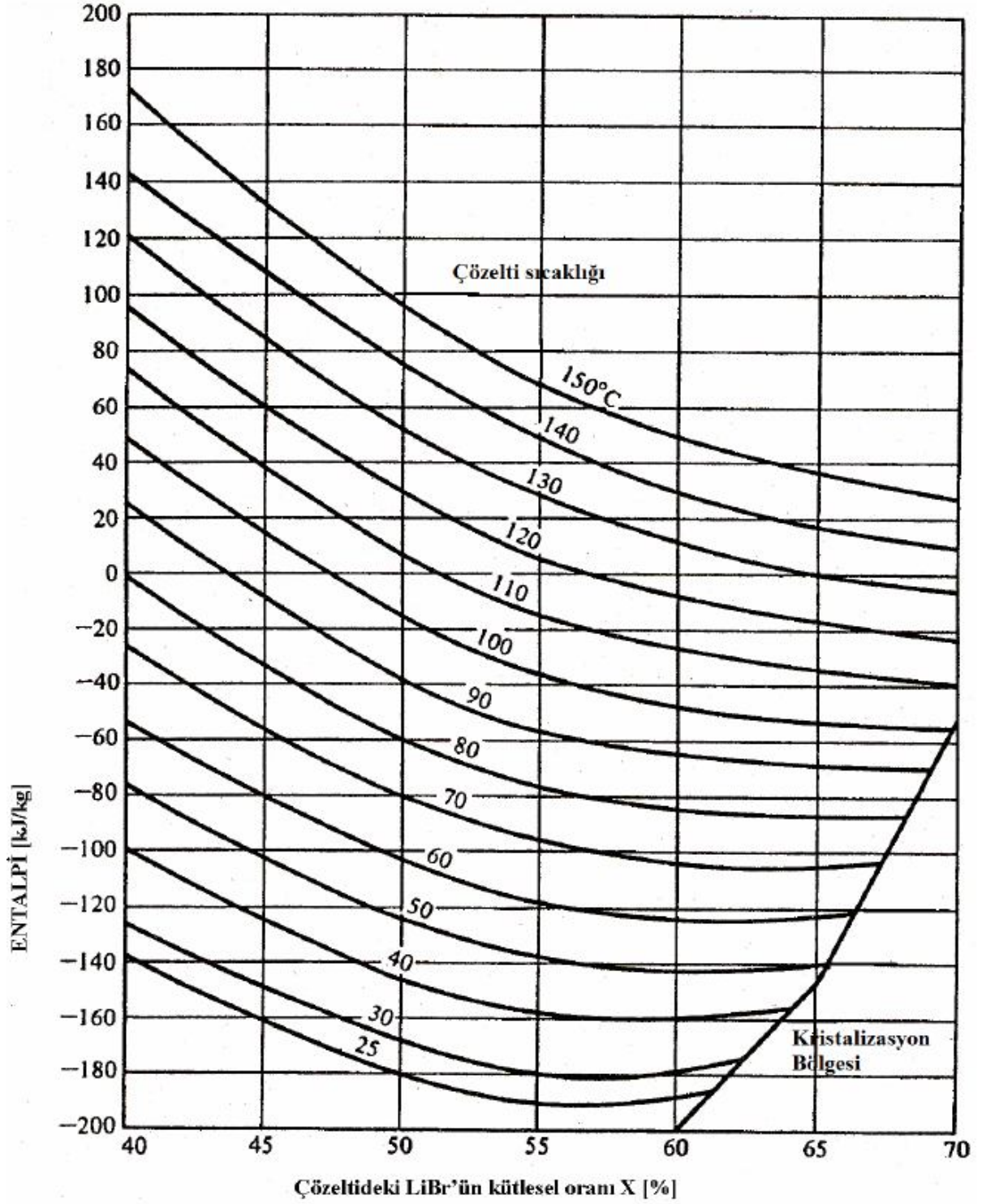
$$T\check{c}=Tg+(Q\dot{I}A/m.Cs)$$

T\check{c}= 176,4515 °C

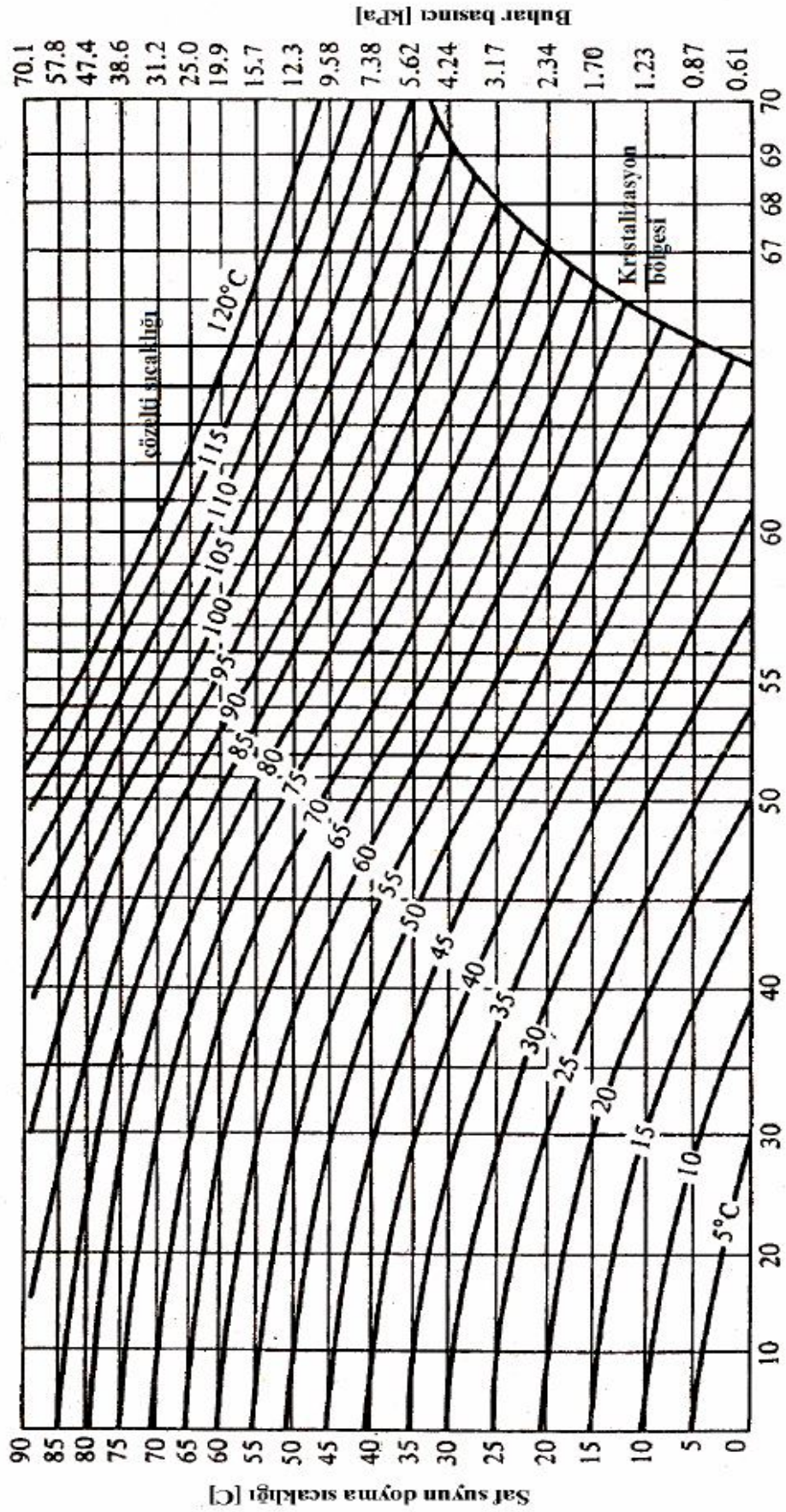
SAA1	Mart (Vr=4,7 m/s)				Nisan (Vr=4,5 m/s)				Mayıs (Vr=4,7 m/s)				Haziran (Vr=5 m/s)			
	Id	η	Qia	Td	Id	η	Qia	Td	Id	η	Qia	Td	Id	η	Qia	Td
5.00	0	0	0	27,7	10,3	0	0	28,6	44	0	0	30,3	47,1	0	0	31,4
6.00	76,3	0	0	27,9	175,7	0,224369	341,9829	28,8	233,4	0,3	703,99	30,5	232,2	0,348065	701,1201	31,7
7.00	301,2	0,42383	1107,43	28,4	406,5	0,497934	1755,907	29,3	451,1	0,5	2038,449	31,1	443,6	0,518876	1996,753	32,2
8.00	523,6	0,544228	2472,509	29,4	605,8	0,566992	2979,723	30,3	635	0,575	3169,015	32,1	623,7	0,573737	3104,262	33,2
9.00	694,9	0,585097	3527,115	30,8	759,8	0,596022	3928,536	31,7	777,3	0,6	4046,319	33,5	764,6	0,599237	3974,679	34,6
10.00	809,4	0,603198	4235,384	32,4	855,9	0,609337	4524,284	33,3	862,2	0,61177	4575,787	35,1	850,9	0,611156	4511,28	36,2
11.00	856,9	0,610059	4534,939	34,2	887,8	0,61395	4728,441	35,1	888	0,6158	4743,987	36,9	879,8	0,615607	4698,476	38
12.00	835,7	0,608905	4414,376	36	860,7	0,612302	4571,797	36,9	862,4	0,61451	4597,345	38,6	859,6	0,614926	4585,521	39,7
13.00	745,9	0,598358	3871,783	37,3	769,8	0,602271	4021,974	38,1	777,5	0,605614	4084,753	39,9	783,5	0,607145	4126,682	41
14.00	595,1	0,572134	2953,638	38,1	619,8	0,578271	3109,225	39	635,4	0,584514	3221,896	40,8	650,8	0,588141	3320,463	41,9
15.00	391,4	0,503468	1709,472	38,4	424,1	0,520235	1913,981	39,3	451,6	0,535968	2099,725	41,1	476,8	0,545915	2258,035	42,2
16.00	153,8	0,191103	254,973	38,1	193,7	0,299648	503,512	39	233,9	0,378161	767,3206	40,8	269	0,422504	985,9451	41,9
17.00	2,4	0	0	37,4	17,7	0	0	38,3	44,4	0	-395,17	40	71,9	0	0	41,1

H	Temmuz (Vr=4,3 m/s)						Ağustos (Vr= 4, 1 m/s)						Eylül (Vr=3,6 m/s)						Ekim (Vr=3,7 m/s)					
	Id	η	Qia	Td	Id	η	Id	η	Qia	Td	Id	η	Id	η	Qia	Td	Id	η	Qia	Td				
5.00	25,9	0	0	32	6,1	0	0,201204	282,7626	32,2	123,7	0,045085	0	0	0	30,9	0	0	0	0	0	29,4			
6.00	199	0,293607	506,8607	32,2	162	0,494669	1657,712	32,8	351	0,472813	1439,679	31,6	295,3	0,425607	1090,289	30,2	297	0	0	0	29,7			
7.00	414,5	0,50844	1828,243	32,8	386,3	0,566454	2862,89	33,7	554,1	0,559043	2687,219	32,6	498,3	0,540542	2336,628	31,2	30,2	0	0	0	29,7			
8.00	600,7	0,570302	2971,887	33,7	582,6	0,596277	3805,038	35,1	706,7	0,591656	3627,221	34	646,1	0,579549	3248,326	32,6	31,2	0	0	0	30,2			
9.00	747,4	0,597761	3875,7	35,1	735,6	0,61034	4410,482	36,7	833	0,606304	4215,117	35,6	733,3	0,595753	3789,811	34,2	32,6	0	0	0	32,6			
10.00	840,3	0,610974	4453,761	36,7	833	0,615356	4631,971	38,6	867,7	0,61111	4399,613	37,5	753,7	0,600277	3924,818	36	34,2	0	0	0	34,2			
11.00	874,1	0,615842	4669,814	38,6	867,7	0,614421	4505,533	40,3	845,3	0,607998	4176,26	39,2	705,3	0,594747	3638,949	37,7	36	0	0	0	36			
12.00	857,2	0,615501	4576,997	40,3	845,3	0,60545	3998,032	41,6	761,2	0,594816	3550,613	40,5	592,5	0,575294	2956,977	39	37,7	0	0	0	37,7			
13.00	784	0,608136	4136,051	41,6	761,2	0,583442	3130,452	42,5	618,5	0,56257	2577,285	41,3	421,1	0,524251	1915,112	39,9	39	0	0	0	39			
14.00	652,7	0,589529	3338,015	42,5	618,5	0,531765	1987,768	42,8	430,9	0,470018	1297,837	41,7	202,8	0,331427	583,0765	40,2	39,9	0	0	0	39,9			
15.00	478,6	0,548581	2277,629	42,8	430,9	0,344849	622,5439	42,5	208,1	0	0	41,3	23,4	0	0	39,9	40,2	0	0	0	40,2			
16.00	269,1	0,425578	993,4874	42,5	208,1	0	0	41,7	26	0	0	40,6	0	0	0	39,1	40,2	0	0	0	39,1			
17.00	69,8	0	0	41,7	26	0	0	41,7	0	0	0	40,6	0	0	0	39,1	40,2	0	0	0	39,1			

Ek 10 LiBr' un entalpisini bulmak için hazırlanmış diyagram

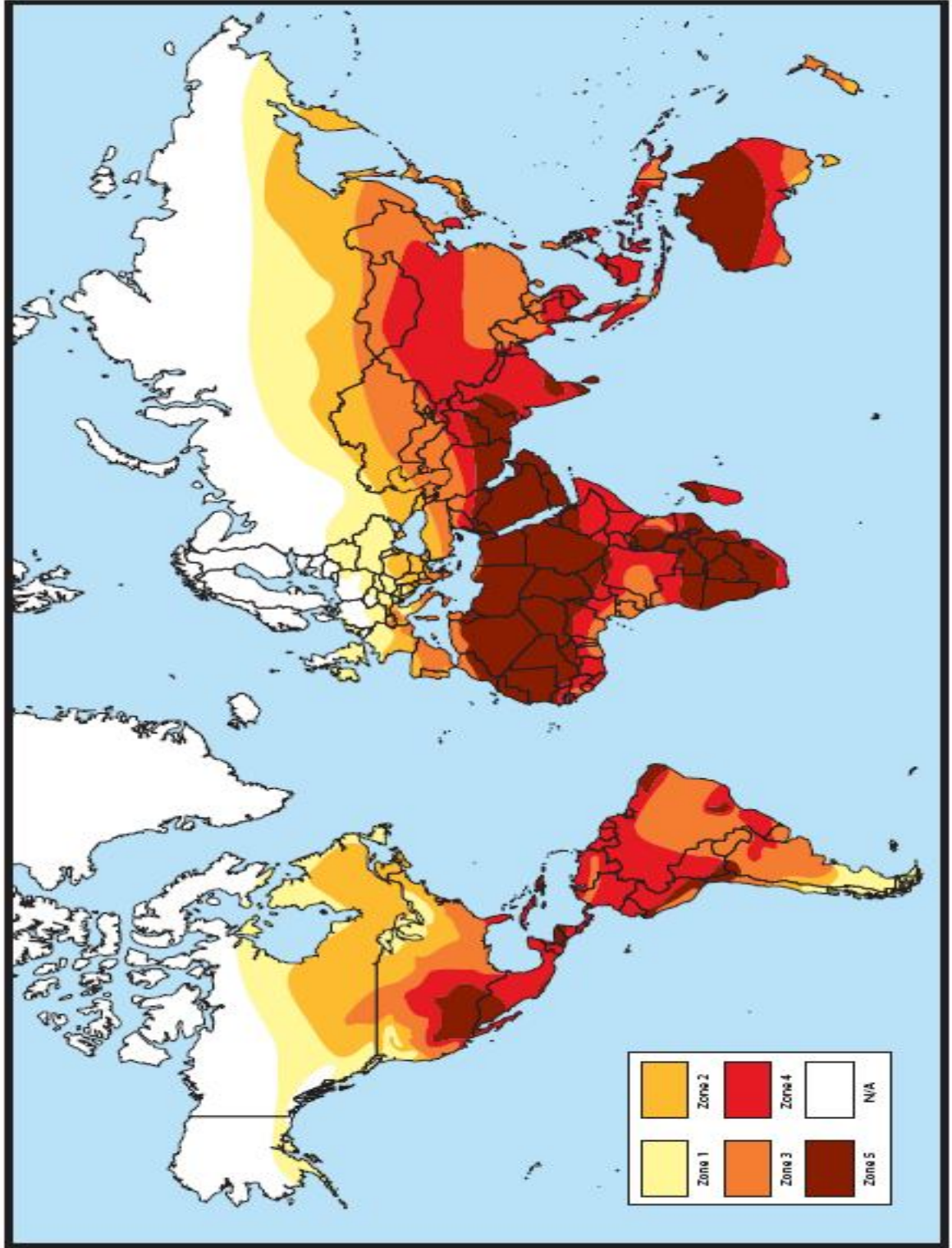


Ek 11 LiBr-H₂O çözeltisinin P-T-X diyagramı



Çözeltideki LiBr'ün kütle oranı X [%]

Ek 12 Dünya Güneşlenme Haritasında Katar'ın Potansiyeli






Performance Data

Table PD-1 — Performance Data at ARI Conditions

English Units*							
Model	Capacity (Tons)	Coefficient of Performance	Steam Rate (lbs/ton/hr)	Chilled Water		Cond/Abx Water	
				Flow Rate (gpm)	Freeze Drop (ft/Wtr)	Flow Rate (gpm)	Pr. Drop (ft/Wtr)
ABTF-350	350	1.21	6.73	661	15.7	1820	26.8
ABTF-440	428	1.21	6.89	1016	14.8	1760	30.8
ABTF-500	495	1.22	6.95	1176	15.8	2000	34.9
ABTF-675	656	1.21	6.95	1335	26.9	2300	16.4
ABTF-850	859	1.22	6.82	1876	26.1	2840	20.9
ABTF-950	958	1.22	6.83	1835	31.8	3000	22.9
ABTF-950	978	1.24	6.81	2167	15.7	3400	15.3
ABTF-950	1030	1.24	6.81	2482	16.1	3500	17.5
ABTF-1050	1145	1.24	6.49	2756	26.8	4200	22.6
ABTF-1150	1259	1.24	6.48	3010	33.9	4600	26.3
ABTF-1200	1264	1.19	6.83	3032	15.2	4500	16.0
ABTF-1350	1419	1.19	6.84	3391	16.2	5400	21.2
ABTF-1500	1573	1.19	6.84	3759	24.4	6000	27.2
ABTF-1650	1721	1.20	6.77	4113	31.7	6600	34.1

SI Units**							
Model	Capacity (kW)	Coefficient of Performance	Steam Rate (kg/tw-hr)	Chilled Water		Cond/Abx Water	
				Flow Rate (m ³ /hr)	Freeze Drop (m wg)	Flow Rate (m ³ /hr)	Pr. Drop (m wg)
ABTF-350	1266	1.20	1.26	166	4.8	346	6.7
ABTF-440	1498	1.21	1.26	231	4.8	400	10.0
ABTF-500	1734	1.21	1.24	266	6.1	464	11.5
ABTF-675	1993	1.21	1.24	303	6.6	522	6.4
ABTF-850	2318	1.22	1.24	366	6.6	600	6.9
ABTF-950	2891	1.21	1.24	416	10.4	691	7.6
ABTF-950	3218	1.23	1.23	467	4.8	772	4.4
ABTF-950	3323	1.23	1.23	669	6.3	693	6.7
ABTF-1050	4027	1.24	1.22	621	6.6	964	7.4
ABTF-1150	4428	1.24	1.22	664	11.1	1046	6.3
ABTF-1200	4448	1.19	1.27	666	4.3	1090	6.2
ABTF-1350	4991	1.19	1.27	770	6.0	1238	7.0
ABTF-1500	5533	1.19	1.27	864	6.0	1393	6.9
ABTF-1650	6053	1.20	1.26	934	10.4	1499	11.2

*English:
 1.0 gpm/inch coil ton, P_{min} = 120 psig, T_{chW} = 95 F, T_{chC} = 44 F, T_{cwR} = 64 F, 0.0001 Evaporator fouling and 0.00025 Absorber/Condenser fouling.
 **Metric:
 26 m³/kWh, P_{min} = 120 psig, T_{chW} = 30.48 C, T_{chC} = 6.67 C, T_{cwR} = 12.2 C, 0.0001 Evaporator fouling and 0.00025 Absorber/Condenser fouling.



بنك قطر المركزي
QATAR CENTRAL BANK

HomePage • BankNotes • Publications • International Affairs

عربي

Search

Advanced Search

About QCB | Legislation | Policy Framework | Public Debt Tools | Financial Stability | Supervision Approach | Consumer Protection

News [at sight](#) [Deposit & Direct Debit System Launch](#) [Press Release Issued by the GCC Monetary Council Board of Directors](#)

About QCB
 Legislation
 Policy Framework
 Public Debt Tools
 Financial Stability
 Supervision Approach
 Consumer Protection

🏠 | Exchange rates

Exchange rates

Currency	Buy	Date
USD	3.6400	14/06/1980
EUR	4.8743	23/09/2010
JPY	0.0430	23/09/2010
GBP	5.6981	23/09/2010
CHF	3.6870	23/09/2010
CAD	3.5377	23/09/2010
AUD	3.4784	23/09/2010
HKD	0.4692	23/09/2010

Quick Links

- Economic Indicators
- Interest Rates
- Exchange Rates
- Annual Reports
- Statistical Bulletins
- Instructions to Banks
- Banks Monthly Statement

Print this page
 Send to friend



Interest Rates
Interest Rates for Personal Loan on 25/09/2010

CURRENCY NAME	FROM AMOUNT	TO AMOUNT	RATE	DURATION
QATARI RIYAL	0	999999999	11.50 %	Not Applicable

ÖZGEÇMİŞ

Doğum tarihi 11.09.1984

Doğum yeri İstanbul

Lise 1998-2002 Vefa Lisesi

Lisans 2003-2007 Yıldız Teknik Üniversitesi Mühendislik Fakültesi
Makine Mühendisliği Bölümü

Yüksek Lisans 2007-Devam ediyor Yıldız Teknik Üniversitesi Fen Bilimleri Enstitüsü
Makine Müh. Anabilim Dalı, Isı Proses Programı

Çalıştığı kurumlar

2007-2008 Tokar Yapı ve Endüstri Tesisleri A. Ş.

2008-Devam ediyor Construction Development Company